450UGUUSUUT 450UGUUGUUT 450UGUUGUUT 450UGUUGUUT 450UGUUGUUT 450UGUUGUUT 450UGUUGUUT 450UGUUT 450GUUT 450GU

БИОЛОГИЧЕСКИЙ ЖУРНАЛ АРМЕНИИ

XX III

Պատասխանատու խմբագիr՝ Հ. Գ. ՔԱՏԻԿՅԱՆ Ответственный редактор: Г. Г. БАТИКЯН

Խմբագրական կոլեգիա՝ Հ. Ս. Ավհտյան, Ա. Գ. Արարատյան, Է. Գ. Աֆրիկյան, Գ. Ն. Բարայան, Հ. Խ. Բունյաթյան, Վ. Հ. Գուլքանյան, Կ. Ս. Մարջանյան (պատ. քարտուղար), Ցա. Ի. Մուլքիջանյան, Հ. Կ. Փանտայան։

Редакционная коллегия: А. С. Аветян, А. Г. Араратян, Э. Г. Африкян, Д. Н. Бабаян, Г. Х. Бунятян, В. О. Гулканян, К. С. Марджанян (отв. секретарь), Я. И. Мулкиджанян, А. К. Паносян.

т. XXIII, № 2, 1970

УДК 631.46.577.15

3. С. АВУНДЖЯН, А. Ш. ГАЛСТЯН

О СВЯЗИ МЕЖДУ АКТИВНОСТЬЮ ФЕРМЕНТОВ И МЕХАНИЧЕСКИМ СОСТАВОМ ПОЧВЫ

В настоящее время сравнительно хорошо изучены вопросы химического и минералогического составов механических фракций почв. Установлены определенные закономерности в распределении химических элементов, гумуса и минералов по фракциям [5, 7—15]. Однако до сих пор очень слабо изучена взаимосвязь между активностью ферментов и механическим составом почвы. Изучение этого вопроса даст возможность познать сущность фиксации ферментов механическими фракциями почв. В данной работе изучалась активность ферментов в зависимости от механического состава почв в пределах одного и того же типа и подтипа и их распределение по фракциям. Такая постановка вопроса вызвана тем, что отдельные генетические типы почв обладают различной ферментативной активностью, которая нами рассматривается как их дополнительный диагностический показатель [2, 3].

Исследования проводились на бурой почве, черноземе и мелиорированном солончаке. Ферменты почв определяли по ранее опубликованным методам [2]. Активность ферментов выражалась: инвертазы в мг глюкозы, амилазы в мг мальтозы, уреазы в мг аммиака на 1 г почвы за сутки, каталазы в см 3 O_2 на 1 г почвы за минуту, дегидрогеназы в мг трифенилформазана ($T\Phi\Phi$) на 10 г почвы за сутки, фосфатазы в мг P_2O_5 на 10 г почвы за час. Механический состав определяли по Качинскому [6]. Данные по механическому составу были пересчитаны на бессолевую и бескарбонатную массу.

Одна из особенностей настоящих исследований заключается в том, что чистые ферментные препараты вносились в почвы, которые не обладали ферментативной активностью. Затем изучалось их распределение и фиксация по механическим фракциям. Опыты ставились на мелиорированном содовом солончаке (сумма солей—0.11%, СО $_3$ полностью отсутствовал, НСО $_3$ —0.06%), который в естественных условиях и после мелиорации не обладал активностью гидролитических ферментов, при незначительной активности дегидрогеназ (0.02 мг ТФФ), и на стерилизованной бурой почве.

К просеянной (1 мм) почве были прибавлены водные растворы ферментных препаратов с известной активностью, рассчитанной на 1 г почвы за час: инвертаза (β-фруктофуранозидаза, 3.2.1.26)—20 мг глюкозы, амилаза (α и β-амилазы, 3.2.1.1, 3.2.1.2)—24 мг мальтозы, уреаза

(3.5.1.5)—16,3 мг аммиака и глюкозодегидрогеназа (1.1.1.47)—11 мг трифенилформазана $(T\Phi\Phi)$. Взаимодействие ферментов с почвой происходило за 20 дней, в течение которых периодически прибавляли толуол в качестве антисептика.

Для выделения отдельных фракций механических элементов почву многократно растирали до пастообразного состояния и отмучивали до полного выделения фракции. В течение 30 мин почва, при влажности, равной нижней границе текучести, разминалась в фарфоровой ступке каучуковым пестиком, после чего переносилась в стеклянный сосуд объемом 18 л, в котором производилось разделение на отдельные фракции с учетом скорости падения по формуле Стокса. Слитая через сифон суспензия выпаривалась в термостате при 45°С. Высушенные до воздушносухого состояния образцы растирались в агатовой ступке, просеивались через 0,25 мм и переносились в банки. Такой метод подготовки почвы для разделения на фракции был применен во избежание воздействия химических агентов, которые обычно применяются при механическом анализе, так как они могут изменить ферментативную активность и отдельные свойства выделяемых фракций. Выделенные фракции и образцы нерасчлененной почвы поступали в анализ.

Ферменты, как биологические катализаторы, продуцируются населяющими ее живыми организмами. После выделения из организма часть их инактивируется, а другая поглощается почвенными частицами и долгое время сохраняет активность. Степень связывания ферментов зависит от условий почвообразования, физико-химических свойств и дисперсности почв (табл. 1). Приведенные данные показывают, что актив-

Таблица Активнесть ферментов почв с различным механическим составом

Почва	Угодье, № раз- реза	Глубина, см	Гумус, 3/0	Потеря от обра- ботки НСІ	песок 1—0,05 ed	пыль 0,05—0,001	ил <0,001	физ. глина <0,01	Инвертаза	Vpeasa	Дегидрогеназы	Каталаза	Фосфатаза
Бурая окуль- туренная	кукуруза 31 люцерна 6 люцерна 23	$\begin{array}{c} 0 - 27 \\ 27 - 39 \\ 0 - 22 \\ 22 - 46 \\ 0 - 22 \\ 22 - 37 \end{array}$	1,77 1,59 1,71 1,48 1,14 1,09	20,0 19,5 25,0 29,5 40,0 41,7	$9,1 \\ 22,7 \\ 8.4$	42.11	31,2 $22,6$ 20.0	54, 1 35,2 45,0	5,2 7,7 3,9	$0,7 \\ 0,8 \\ 0,2$	1,4 0,8 1,0 0,1 0,1 0,07	6,3 6,5 5,2 5,6 3,3 2,0	3,3 1,1 0,8 0,9 1,7 0,6
Лугово- чернозем- ная	31 2 237	0—15 15—31 0—12 12—28	10,34 8,33 13,59 10,16	$\frac{10,8}{9.3}$	$\begin{array}{c} {f 3,2} \\ {f 25.5} \end{array}$	45,5 57,4 50,4 46,2	30,2 28,6 14,8 4,1	60,5 71,9 42,0 24,2	41,3 8,9 25,3 17,7	8,4 1,4 5,6 5,9	8,6 1,6 2,0 0,8	4,0 0,3 1,7 0,4	10,8 3,1 10,4 5,9

ность ферментов зависит не только от содержания гумуса, но и от величины частиц. Почвы с легким механическим составом обладают мень-

шей ферментативной активностью, чем тяжелые (когда физ. глина не превышает 65—70%).

Сравнительно высокая ферментативная активность тяжелых почв обусловлена наличием значительного количества тонкодисперсных частип, которые имеют наиболее активную адсорбционную способность. В пределах одного и того же подтипа почв, в которых содержание органического вещества почти одинаково, активность ферментов резко Ферменты в основном фиксируются илистой и пылеотличается. ватой фракциями почвы. При этом фиксация ферментов механическими частицами происходит различно (рис. 1). На единицу веса частиц активность ферментов распределяется следующим образом: инвертаза больше всего закрепляется в предилистой фракции (0,005-0,001 мм), амилаза-предилистой и илистой, а во фракциях больше 0,01 мм ее активность не обнаруживается; уреаза-в илистой, предилистой и в среднепылеватой (0,01-0,005 мм), в отличие от других ферментов она фиксируется также в мелком песке (0,1-0,05 мм); дегидрогеназы в основном связываются с илистой фракцией, затем по мере увеличения размера частиц пылеватой фракции их действие снижается; в песчаных фракферментов, отсутциях активность дегидрогеназ, как И остальных ствует 191.

Аналогичная закономерность распределения активности ферментов по механическим фракциям наблюдается также у естественных почв (рис. 1—1, 2). Характер распределения активности ферментов по механическим фракциям бурой бескарбонатной почвы и выщелоченного чернозема тождествен распределению искусственно внесенных ферментов. Следовательно, существует определенная закономерность в фиксации ферментов отдельными фракциями почвы. Причем они в почве закрепляются не только ее коллоидными частицами, но и пылеватыми [9, 11]; фиксация пылеватыми и илистыми частицами в определенной степени сохраняет все структурные элементы молекулы фермента, в частности третичные и четвертичные, определяющие каталитические свойства его.

Существует определенный предел фиксации ферментов для каждой почвы. Мелиорированный солончак и стерилизованная бурая почва из прибавленных ферментов связывали приблизительно одинаковые количества их, причем по активности, приближающейся к бурой естественной почве. Согласно приведенным данным, у различных типов почв существует некоторая тенденция к определенной емкости фиксации для отдельных ферментов.

Распределение активности ферментов по механическим фракциям тесно связано с органическими веществами. Активность гидролаз находится в корреляции с содержанием органического вещества $r = 0.76 \pm \pm 0.09$. В пылеватых фракциях представлена основная часть гумуса; здесь главным образом накоплены инвертаза, амилаза и уреаза. Поэтому корреляционная связь между активностью инвертазы и содержанием физической глины сравнительно более тесная, чем ила (табл. 2).

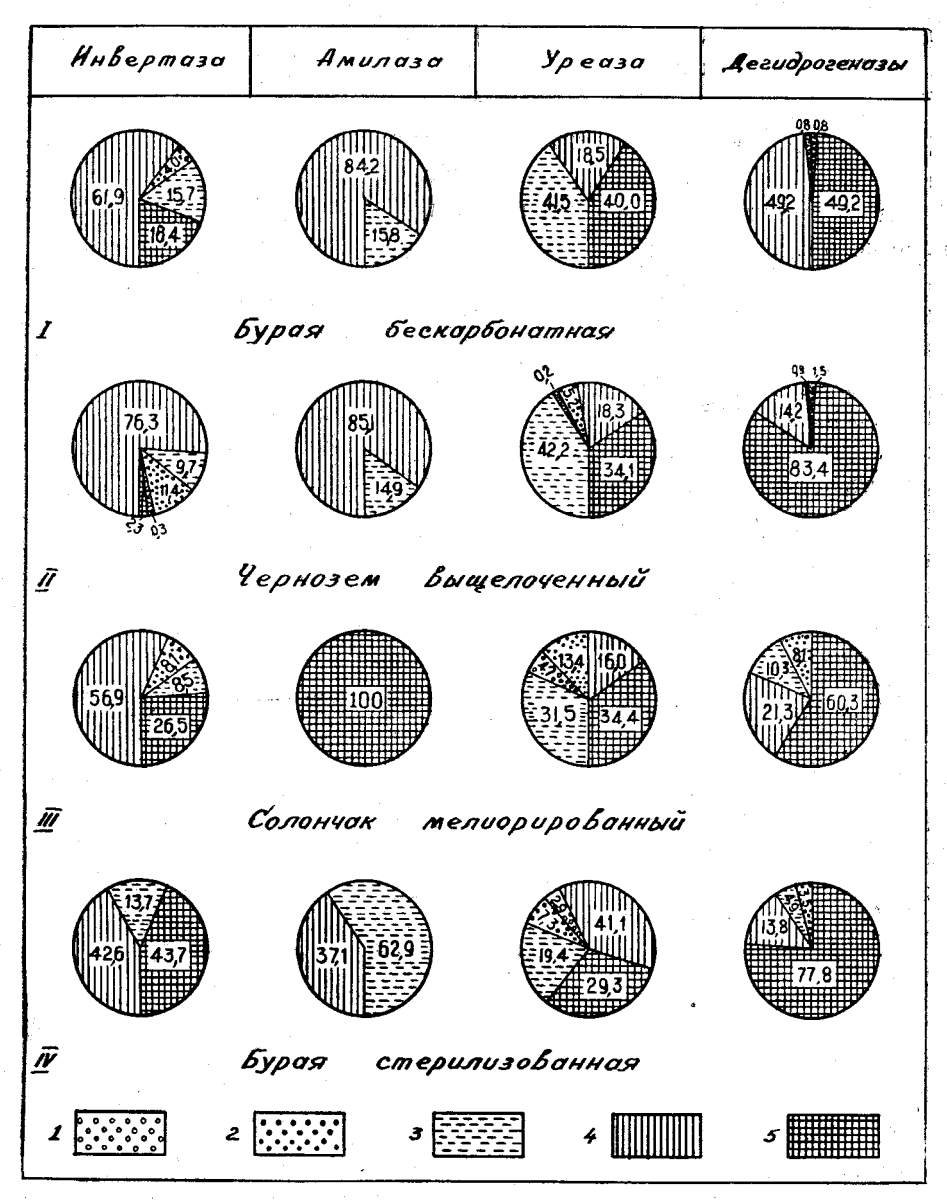


Рис. 1. Распределение активности ферментов по механическим фракциям почв, $^0/_0$. 1— песок, 1,0—0,05 мм, 2— пыль крупная, 0,05—0,01 мм; 3— пыль средняя, 0,01—0,005 мм; 4— пыль мелкая, 0,005—0,001 мм; 5— ил < 0,001 мм.

Действие дегидрогеназ, как дыхательных ферментов, коррелирует с общим количеством микроорганизмов. В илистой фракции общее количество адсорбированных микроорганизмов и их отдельных групп (бактерии, грибы, актиномицеты и т. д.) сравнительно больше, чем в других фракциях (табл. 3). В этой фракции общая дегидрогеназная активность также высокая. По мере увеличения размеров частиц количество адсорбированных микроорганизмов и действие дегидрогеназ уменьшается. Хотя грубые фракции адсорбируют значительное количество

микроорганизмов, ферменты ими не адсорбируются, так как они не содержат органического вещества и глинистых минералов.

. Таблица 2 Взаимосвязь активности инвертазы почвы с содержанием физической глины и ила

Почва	Показатели	Активность М ₁ содержание М ₂	Коэффициент корреляции r <u>+</u> mr
Бурая полупустынная	инвертаза, физическая глина инвертаза, ил	$M_{1} = 5, 0$ $M_{2} = 40, 3$ $M_{1} = 5, 0$ $M_{2} = 15, 4$	0,60±0,12 0,52±0,13
Каштановая	инвертаза, физическая глина инвертаза, ил	$M_1 = 16,6$ $M_2 = 60,6$ $M_1 = 16,6$ $M_2 = 9,7$	0,49±0,20 0,28±0,18
Чернозем выщелоченный	инвертаза, физическая глина инвертаза, ил	$\begin{array}{c c} M_1 = 19,9 \\ M_2 = 53,0 \\ M_1 = 19,9 \\ M_2 = 13,3 \end{array}$	$0,43\pm0,17$ $0,36\pm0,18$

Таблица 3 Распределение микроорганизмов по механическим фракциям бурой почвы (в тыс. на 1 г навески)

	Группы микроорганизмов									
Фракции, мм	растущие на		Bыe		оми-	лозо- шаю-	фика-			
	МПА	КАА	споровые	грибы	актиноми цеты	целл юлозо разрушаю- щие	нитрофика торы			
<0,001 0,001—0,005 0,005—0,01 0,01—0,05 0,05—0,1 0,1—0,25 0,25—1,0	1294 910 470 265 110 285 280	2370 1740 955 1275 90 200 510	268 50 4 24 4 15 24	8 20 6 47 23 1 3	540 20 2 10 2 10	27 27 4 14 14 11 5	110 110 100 67 58 14 14			

Фиксация обусловлена также минералогическим и химическим составами. Во фракциях было изучено содержание первичных и глинистых минералов. Грубые фракции в основном представлены полевыми шпатами, плагиоклазами, где SiO₂ составляет 85—95%. Причем SiO₂ обладает очень низкой адсорбционной способностью. Поэтому эти фракции не фиксируют ферменты. Из первичных минералов в грубых фракциях преобладают гиперстен, роговая обманка, авгит, магнетит и т. д. По мере повышения степени дисперсности частиц уменьшается участие тяжелых минералов во фракциях. В илистой и предилистой фракциях они почти отсутствуют, следовательно, не играют роли при связывании ферментов.

В мелких фракциях, особенно в илистой и предилистой, преобладают легкие минералы, где решающая роль принадлежит глинистым минералам — монтмориллониту, гидрослюде и каолиниту. В составе глинистых минералов содержание SiO₂ сравнительно меньше; эти фракции значительно обогащены полуторными окислами, которые выступают как более активные адсорбенты для связывания ферментов. Известно, что вторичные минералы имеют большую адсорбционную способность в отношении ферментов и белков [12—14].

Ферменты, адсорбированные механическими фракциями, обычно трудно десорбируются. Фиксированные ферменты не извлекаются из фракции органическими растворителями и дистиллированной водой. Это означает, что связь молекул ферментов с частицами почв очень прочная. Фиксация ферментов диспергированными частицами предотвращает их диффузию.

При фиксации ферментов определенное значение имеет рН почвы: если ее величина близка к оптимуму рН ферментов, то они фиксируются больше, чем при значительном их расхождении [1]. Установление значительной активности ферментов после их адсорбции со стороны механических частиц свидетельствует о том, что активный центр в молекуле остается свободным. Закрепление молекул ферментов происходит за счет других функциональных групп, не участвующих в каталитической реакции. В некотором отношении избирательная адсорбция ферментов одновременно означает, что катализируемые ими биохимические реакции соответственно локализованы в структурных элементах отдельных фракций, в которых ферменты не теряют свое уникальное строение, структуру и вполне определенную биохимическую специфичность.

Таким образом, было установлено, что активность ферментов почв зависит от их механического состава. Тяжелые по механическому составу почвы (с физ. глиной, не превышающей 70%) обладают сравнительно более высокой активностью ферментов, чем легкие.

Институт почвоведения и агрохимии MCX АрмССР

Поступило 10.1Х 1969 г.

Չ. Ս. ՀԱՎՈՒՆՋՑԱՆ, Ա. Շ. ԳԱԼՍՏՑԱՆ

ՀՈՂԻ ՖԵՐՄԵՆՏԱՅԻՆ ԱԿՏԻՎՈՒԹՅԱՆ ԵՎ ՄԵԽԱՆԻԿԱԿԱՆ ԿԱԶՄԻ ՄԻՋԵՎ ԵՂԱԾ ԿԱՊԻ ՄԱՍԻՆ

Ափփոփում

Հողի ֆերմենաների ակտիվությունը պայմանավորված է մի շարք գործոններով, այդ թվում նաև մեխանիկական կազմով։ Ծանր մեխանիկական կազմ ունեցող հողերը (որոնք պարունակում են 65—70 %-ից ոչ բարձր ֆիդիկական կավ), միևնույն տիպի սահմաններում, օժտված են ավելի բարձր ֆերմենտային ակտիվությամբ, ջան թեթև հողերը։ Դա բացատրվում է նրանով, որ հողի ֆերմենտները հիմնականում կապված են մեխանիկական նուրբ մասնիկների՝ տիղմի և մանր փոշու Տետ։ Ֆերմենտները կլանվելով Հողի նուրբ մասնիկների կողմից, երկար ժամանակ պահպանում են իրենց ակտիվությունը։

Հողի մեխանիկական մասնիկների կողմից ֆերմենտները ֆիջսվում են հետևյալ կերպ. ինվերտաղան հիմնականում կուտակվում է նուրբ փոշու ֆրակցիայում (0,005—0,001 մմ), ամիլազան՝ նուրբ փոշում և տիղմում, ուրեազան՝ նաև միջակ փոշու մասնիկներում (0,005—0,001 մմ), իսկ դեհիդրոգենազները կուտակվում են տիղմի մեջ (<0,001 մմ)։ Ֆերմենտների ակտիվության տեղաբաշխումը ըստ մեխանիկական մասնիկների դանվում է ուղղակի կապի մեջ օրգանական նյութերի և ադսորբված միկրոօրգանիզմների ընդհանուր ջանակի հետ։

Ֆերմենտների ֆիքսացիան տղմային և փոշու մասնիկների կողմից պայքանավորվում է նաև նրանց միներալոգիական կազմով, որտեղ վՀռական դերը պատկանում է կավային միներալներին։ Ֆերմենտների ֆիքսացիան մեխանիկական նուրբ մասնիկների կողմից արդելակում է նրանց դիֆուզիան Ճոդից։ Հողի մասնիկների կողմից ֆերմենտների կլանման ընթացքում նրանց ակտիվ կենտրոնները մնում են ազատ, նշանակում է՝ ֆերմենտների մոլեկուլի ամրացումը տեղի է ունենում ֆունկցիոնալ այլ խմբերի հաշվին, որով և պահպանում են իրենց մոլեկուլի բիոքիմիական առանձնահատկությունները։

ЛИТЕРАТУРА

- 1. Галстян А. Ш. ДАН АрмССР, т. 36, 4, 1963.
- 2. Галстян А. Ш., Татевосян Г. С. Физика, химия, биология и минералогия почв СССР. Доклады к VIII Международному конгрессу почвоведов, М., 1964.
- 3. Галстян А. Ш., Авунджян З. С. Известия АН АрмССР (биол. науки), т. 19, 10, 1966.
- 4. Грати В. П., Синкевич З. А., Клещ Ф. И. Почвоведение, 10, 1965.
- 5. Качинский Н. А. Механический и микроагрегатный состав почвы. 1958.
- 6. Кочерина Е. И. Почвоведение, 12, 1954.
- 7. Петухов М. П. Почвоведение, 3, 1939.
- 8. Трофименко К. И., Кизяков Ю. Е. Почвоведение, 2, 1967.
- 9. Galstylan A. Sh., Tatevosian G. S., Avundjian Z. S. Trans. of 9th Inter. Congress of Soil Science, Soil Conference, v. 3, Serial 378, 1968.
- 10. Hofmann E. Z. Pflanzenernaehr., Dueng., Bodenkunde, Bd 56, 68, 1952.
- 11. Hofmann G. Z. Pflanzenernaehr., Dueng., Bodenkunde, Bd 85, 2, 1959.
- 12. Kiss I. Nature, v. 182, 4329, 1958.
- 13. Kiss S. Z. Pflanzenermeir., Dueng., Bodenkunde, Bd 81, 2, 1958.
- McLaren A. D., Peterson G. H., Barshad I. Soil Sci. Amer. Proc., v. 22, 3, 1958.
- 15. Williams E. G. and Saunders W. M. Journal of Soil Science, v. 7, 1, 1956.

т. XXIII, № 2, 1970

УДК 533

Г. Б. БАБАЯН

Қ МЕТОДИКЕ ҚОЛИЧЕСТВЕННОГО УЧЕТА МАССЫ ҚОРНЕЙ НА ГОРНЫХ ЛУГАХ

По методике изучения корневой системы растений имеется обширная литература [1—21 и др.].

Методы изучения корневой системы растений объединяют два вида учета: морфологический (качественный) и весовой (количественный).

В агрохимических исследованиях по круговороту и балансу питательных веществ чаще всего приходится пользоваться методами весового, количественного, учета массы корней.

При наличии многочисленных методов количественного учета корней все же нет общепринятой и единой методики применительно к конкретным условиям, что очень важно для исследований, проводимых по общей программе, как, например, исследований по МБП.

Кроме того, количественный учет массы корней является довольно трудоемкой работой, и очень важно при выборе метода пользоваться такой методикой, которая позволяет при наименьшем объеме работ получать достоверные данные.

С этой точки зрения очень важно установление оптимальных размеров монолитов и числа повторностей, особенно для горных лугов.

В недавно изданной работе Родина и др. [10], посвященной методам изучения динамики и биологического круговорота в фитоценозах, нет конкретных указаний по количественному учету массы корней на горных лугах.

Метод количественного весового учета корней у нас впервые предложил Качинский [4], который применил послойное изучение корней с размером монолита 25×25 см. Метод Качинского с различными видо-изменениями применил ряд авторов [3, 5, 6, 12, 13, 15, 18, 20 и др.].

Для количественного учета корней были предложены также буры различных форм и диаметров [2, 7, 8, 21 и др.]. Однако их испытание показало, что при круглом сечении бура обычно получаются преувеличенные на 20—25% данные [11, 16, 17].

Шаин [16] настаивает на необходимости замены круглых буров квадратными и рекомендует свою конструкцию квадратного бура размером 20×20 см. Всесоюзное научно-методическое совещание при Всесоюзном институте кормов рекомендовало этот метод для сети опытных учреждений, работающих с травами. Панкова [9] для учета корней рекомендует размер монолита 25×25 см, Часовенная [14] для травянистых растений—до 50×50 см, но не указывает числа повторений для получения достоверных данных.

Для арктической тундры Александрова [1] применила двухкратную повторность с размерами монолита 25×25 см.

Приведенный краткий обзор литературы показывает, что метод моколитов, по сравнению с методом буров, по точности является наиболее совершенным и надежным, позволяет получать довольно объективные и достоверные данные.

Таким образом, в практике исследовательской работы каждый исследователь обычно по своему усмотрению решает вопросы методики (размеры монолитов и число повторений), весового количественного учета корней, что объясняется отсутствием достаточно проверенной и четкой методики применительно к определенным зонам и фитоценозам.

Данная работа посвящена выявлению оптимальных размеров монолитов и чисда повторений для количественного учета массы корней на горных лугах.

На характерных участках и типах лугов нами были выбраны четыре площадки размером 50×50 см, на которых производили дробный количественный учет массы корней в слое 0-25 см.

Учетные площадки были заложены в лугостепной зоне на разнотравно-злаковом лугу с дантонией чашечной (с. Калинино), в субальпийской — на разнотравно-злаковом лугу с ветренницей пучковатой (с. Семеновка), и в альпийской зоне на луге-ковре, где доминантами являются колокольчик трехзубчатый, одуванчик Стевени и овсяница свечья (г. Арагац).

Рассмотрение результатов учета массы корней на горных лугах (табл. 1, 2, 3) показывает, что при размере монолитов 50×50 см и четырехкратном повторении (стандартный вариант, принятый нами для сравнения с остальными методами учета) получаются достоверные данные с высокой точностью, что указывает на однородность травостоя опытных участков. Этим объясняются также незначительные отклонения при взятии монолитов в двух- и трехкратном повторении.

При четырехкратном уменьшении площади монолитов и увеличении **числа** повторений до 16-ти также получаются достоверные данные, не**смот**ря на то, что ошибка среднего несколько увеличивается.

Уменьшение числа повторений (до 8 и 4) приводит к увеличению величины ошибки среднего и отклонению от стандартного варианта (при этом в альпийской зоне отклонение от стандартного варианта в отдельных случаях выше 5%).

Следовательно, в альпийской зоне при размере монолитов 25×25 см для достижения большой точности нужно брать монолиты в 6—8-кратном повторении или же монолиты размером 50×50 см в двукратном повторении.

Для количественного учета массы корней многие исследователи предлагают применение буров и цилиндров разных диаметров.

Таблица 1 Сравнительные данные учета массы корней на разнотравно-злаковом лугу с дантонией чашечной

Размеры монолитов и	Площадь монолитов	о пов- стей		корней, в. м	0/ ₀ m		от первого нанта
	и цилинд- ров, кв. см	Число пов торностей	М	±m	-/ ₀ III	г/кв. м	0/0
50×50 50×50 50×50 50×50 25×25 25×25 25×25 25×25 $15,5$ $15,5$ $15,5$ $10,5$ $10,5$ $10,5$ $10,5$ $10,5$	2500 2500 2500 2500 625 625 625 625 625 188,6 188,6 188,6 188,6 86,6 86,6 86,6	4 3 2 16 8 8 4 4 16 8 8 4 4 16 8 8 4 4 4 16 8 8 4 4 4 4 4 4 4 4 4 4 4 4 4 4 4 4 4	1009 1000 998 1013 983 1041 1050 985 982 912 1051 1134 968 1047 971 1123 894 917	22,6 * 29,3 31,9 49,3 36,8 51,8 42,6 39,7 69,5 121,2 57,1 64,0 117,0 73,1 138,7	2,2 * 2,9 3,2 4,7 3,6 5,4 4,3 4,4 6,6 10,7 5,9 6,1 4,8 10,4 8,2 15,1	$\begin{array}{c c} -9 \\ -11 \\ +4 \\ -26 \\ +32 \\ +41 \\ -51 \\ -27 \\ -97 \\ +42 \\ +125 \\ -41 \\ +38 \\ -38 \\ +114 \\ -115 \\ -92 \\ \end{array}$	0,8 1,1 0,4 2,6 3,2 4,1 5,1 2,7 9,6 4,2 12,4 4,1 3,8 31,3 11,4 9,12

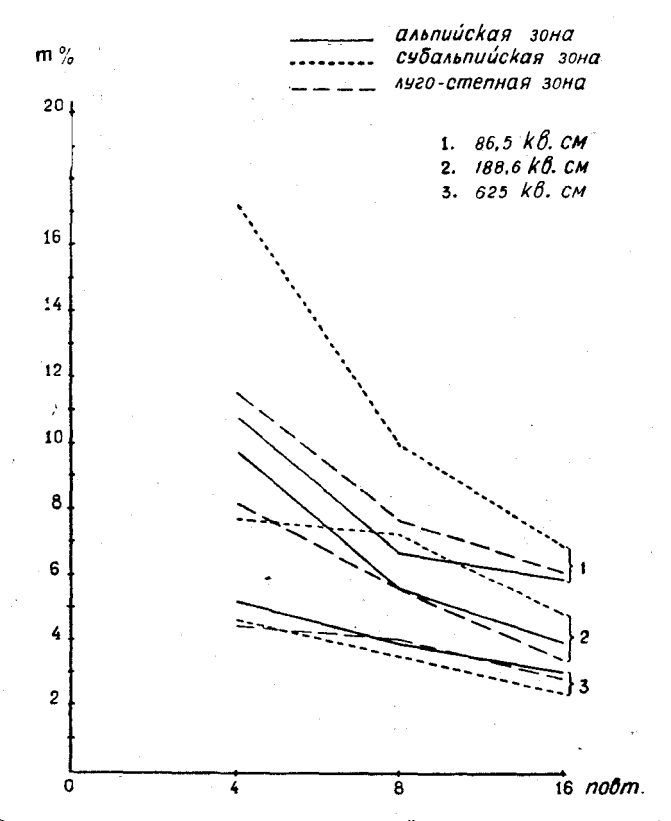
^{*} Здесь и далее (табл. 2 и 3) при 2-х и 3-кратном повторении, ошибка средне го не вычислена.

Таблица 2 Сравнительные данные учета массы корней на разнотравно-злаковом лугу с ветренницей пучковатой

			ветренинг	ten nyako.	Da I OR		
Размеры монолитов и	Площадь монолитов	лов- стей		корней, в. м	0/		е от первого чанта
диаметр цилиндров, см	и цилинд- ров, кв. см	Число пов торностей	M	<u>+</u> m	0/ ₀ m	г/кв. м	0/0
50×50 50×50 50×50 25×25 25×25 25×25 25×25 15,5 15,5 15,5 10,5 10,5 10,5 10,5	2500 2500 2500 625 625 625 625 625 188,6 188,6 188,6 188,6 86,6 86,6 86,6	4 3 2 16 8 4 4 16 8 4 4 16 8 4 4 4	1473 1497 1512 1491 1494 1487 1409 1528 1592 1568 1617 1520 1658 1612 1610 1614 1359 1703	21,8 * 34,7 44,1 58,2 60,5 74,9 77,6 115,8 110,6 118,3 128,6 113,5 166,5 160,2 246,1 291,5	1,5 * 2,3 3,0 3,9 4,3 4,9 7,4 6,8 7,8 7,8 7,0 10,3 9,9 18,1 17,1	$\begin{array}{c} -\\ -24\\ +39\\ +18\\ +3\\ +14\\ -82\\ +55\\ +119\\ +95\\ +244\\ +53\\ +185\\ +139\\ +137\\ +137\\ +141\\ -114\\ +230\\ \end{array}$	1,6 2,7 1,2 0,2 1,0 5,6 3,7 8,1 6,5 16,6 3,6 12,6 9,4 9,3 9,3 9,6 7,7

Таблица 3 Сравнительные данные учета массы корней на альпийском луге-ковре г. Арагац

Размер монолит ов и диаметр	монолитов	Число пов- горностей		корней в. м	⁰ / ₀ m	Отклонение вари	е от первого анта
цилиндров,	и цилинд- ров, кв. см	Число торнос	M	<u>+</u> m	70	г/кв. м	0 / ₀
50×50 50×50 50×50 25×25 25×25 25×25 15,5 15,5 15,5 10,5 10,5 10,5 10,5	2500 2500 2500 2500 625 625 625 625 188,6 188,6 188,6 188,6 86,6 86,6 86,6	4 3 2 16 8 8 4 4 16 8 8 4 4 16 8 8 4 4 4 16 8 8 4 4 4 4 16 8 8 4 4 4 4 4 4 4 4 4 4 8 8 8 8 8 8 8	1330 1339 1312 1330 1401 1259 1208 1358 1570 1621 1539 1454 1622 1475 1639 1315 1639	32,7 * 40,0 58,7 44,1 64,8 66,3 61,8 62,5 109,7 73,6 214,6 87,0 124,1 72,1 128,0 231,4	2,5 * 3,0 4,2 3,5 5,4 4,9 3,8 7,1 5,6 13,9 7,6 5,5 7,8 14,1	$\begin{array}{c} -\\ +9\\ -18\\ -\\ -\\ +71\\ -71\\ -122\\ +28\\ +240\\ +291\\ +209\\ +124\\ +292\\ +145\\ -309\\ -15\\ +309\\ +309\\ +309\\ \end{array}$	



чс. 2. Влияние увеличения числа повторений на уменьшение ошибки, m⁰/₀.

Нами были испытаны цилиндры диаметром 10,5 и 15,5 см. Полученные данные (табл. 1, 2, 3) показывают, что только в лугостепной зоне монолиты площадью 188,6 кв. см при 16-кратном повторении обеспечили получение вполне достоверных данных, в остальных случаях данные сильно искажены.

При этом в лугостепной зоне получаются как завышенные, так и заниженные данные, а в субальпийской и альпийской зонах—в основном завышенные.

Необходимо отметить также, что в отдельных случаях при довольно низком значении ошибки среднего наблюдаются большие отклонения от стандартного варианта и, наоборот, при небольшом отклонении от стандарта ошибка среднего составляет более 5%. В обоих случаях такие данные считались недостоверными.

В целом при взятии монолитов цилиндрами сравнительно большие отклонения получены в альпийских, а наименьшие—в лугостепных лугах.

В табл. 4 и на рис. 1 и 2 приводятся обобщенные данные, наглядно показывающие основные закономерности уменьшения ошибки среднего в зависимости от размеров монолитов и числа повторений.

Таблица 4 Влияние увеличения площади монолитов и числа повторений на уменьшение ошибки среднего

Площадь	L	Число повторений								
монолитов, кв. см	4	8	16							
	Лугосте	іная зона								
86,6 188,6 625,0 2500, 0	11,7 8,3 4,5 2,2	7,6 5,5 4,0	6,1 4,3 2,9							
Ó	Субальпий	ская зона								
86,6 188,6 625,0 2500,0	17,6 7,8 4,6 1,5	10,1 7,1 3,5	7,0 4,9 2, 3							
	Альпийс	кая зона								
86,6 188,6 625,0 2500,0	11,0 9,9 5,2 2,5	6,6 5,5 3,9	5,9 3,9 3,0							

При этом, чем меньше размеры монолитов, тем больше сказывается увеличение числа повторений на уменьшение ошибки среднего.

Приведенные данные объективно характеризуют испытанные нами методы взятия почвенных монолитов для количественного определения

массы корней на горных лугах. Это позволит выбрать наиболее подходящую для конкретных условий площадь монолитов и число повторений с нужной точностью.

Таким образом, на основании полученных данных можно утверждать, что на горных лугах для количественного учета массы корней взятие монолитов цилиндрами диаметром до 15,5 см даже при 16-кратном повторении не обеспечивает получение достоверных данных.

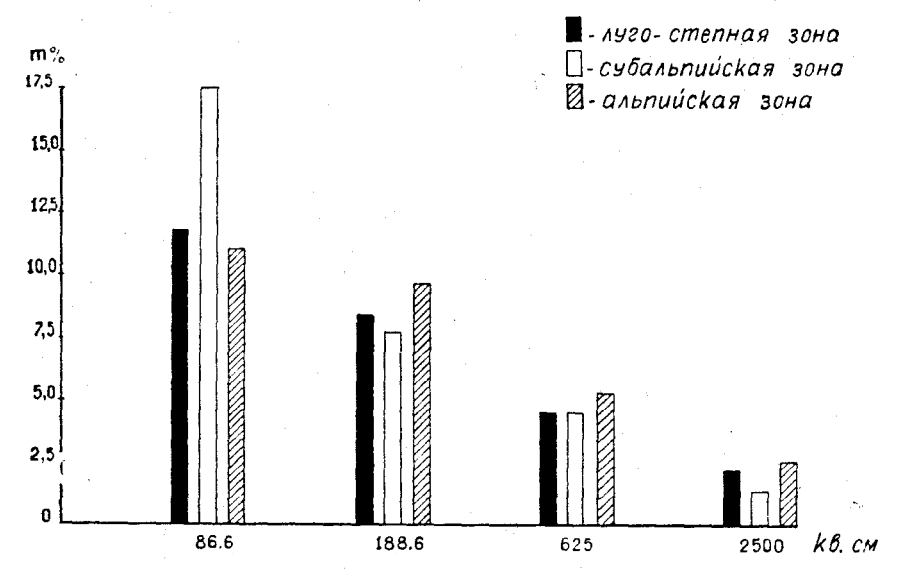


Рис. 2. Влияние увеличения площади монолитов на уменьшение ошибки, m⁰/₀.

Наиболее приемлемым методом учета корней на горных лугах следует считать взятие монолитов площадью 625 кв. см в 4-кратном повторении, который обеспечивает получение довольно объективных и достоверных данных.

На лугах с изреженным травостоем число повторений желательно довести до 10—12 или увеличить площадь монолита до 2500 кв. см при четырехкратном повторении.

Институт агрохимических проблем и гидропоники АН АрмССР

Поступило 31.Х 1969 г.

Գ. Բ. ԲԱԲԱՑԱՆ

ԼԵՌՆԱՅԻՆ ՄԱՐԳԱԳԵՏԻՆՆԵՐՈՒՄ ԱՐՄԱՏՆԵՐԻ ԶԱՆԳՎԱԾԻ ՔԱՆԱԿԱԿԱՆ ՈՐՈՇՄԱՆ ՀԱՐՑԻ ՇՈՒՐՋԸ

Ամփոփում

Արմատների զանգվածի քանակական որոշումը բավական ծանր աշխա ատար պրոցես է, այդ իսկ պատճառով շատ կարևոր է մեթոդի ընտրության ժամանակ կիրառել այնպիսի մեԹոդ, որը հնարավորուԹյուն տա համեմատա֊ բար փոքրածավալ` աշխատանքով ստանալ հավաստի տվյալներ։

Սույն աշխատության նպատակն է եղել լեռնային մարգագետիններում արմատների ղանդվածի քանակական որոշման Համար պարզել մոնովիտների

օպտիմալ չափսերը և կրկնությունների թիվը։

Ստացված տվյալների հիման վրա հանգել ենք այն եզրակացության, որ լեռնային մարդագետիններում արմատների զանգվածի քանակական որոշման ընդունելի մեթոդը պետք է համարել մոնոլիտի 25×25=625 սմ² չափսերը, չորս կրկնողությամբ, որը ապահովում է հավաստի տվյալների ստացումը։

Մինչև 15,5 ոմ տրամագիծ ունեցող գլանների մեխողով սովորաբար ոտաց-

վում են ոչ Հավաստի տվյալներ։

ЛИТЕРАТУРА

- 1. Александрова В. Д. Бот. журнал, т. 43, 12, 1958.
- 2. Духанин К. С. Докл. ВАСХНИЛ, вып. 7, 1939.
- 3. Ильин С. С. Бот. журнал, т. 46, 10, 1961.
- 4. Качинский Н. А. Труды Моск. обл. с/х опытной станции, 7, 1925.
- 5. Қружилин А. С. Соц. зерн. хоз-во, 6, 1934.
- 6. Малянов А. П. Уч. зап. Моск. гос. университета, т. XII, вып. 2, 1937.
- 7. Меерсон Г. Н. Сов. агрономия, 7, 1939.
- 8. Надъярный Ф. М. Сов. агрономия, 5, 1939.
- 9. Панкова М. А. Агрохимич. методы исследования почв, М., 1965.
- Родин Л. Е., Ремезов Н. П., Базилевич Н. И. Методические указания к изучению динамики и биологического круговорота в фитоценозах. Л., 1968.
- 11. Станков Н. З. Докл. ВАСХНИЛ, вып. 11, 1951.
- 12. Станков Н. З. Корневая система полевых культур, М., 1964.
- 13. Тарановская М. Г. Методы изучения корневых систем, М., 1957.
- 14. Часовенная А. А. Уч. записки ЛГУ, с. биол. н., вып. 30, 143, 1951.
- 15. Чижов Б. А. Труды Ин-та засухи, т. І, вып. 2, Саратов, 1931.
- 16. Шаин С. С. Сов. агрономия, 10, 1948.
- 17. Шаин С. С., Чекмарёва П. Г. Докл. ВАСХНИЛ, 8, 1940.
- 18. Шалыт М. С., Калмыкова А. А. Бот. журнал, т. 20, 4, 1935.
- 19. Шалыт М. С. Геоботаника, с. 3, вып. 6, 1950.
- 20. Шалыт М. С. Полевая геоботаника, 2, М.—Л., 1960.
- 21. Ястребов М. Т. Почвоведение, 5, 1955.

т. XXIII. № 2, 1970

УДК 612.015.32+612.115.1

С. С. ОВАКИМЯН, К. Г. КАРАГЕЗЯН

ФОСФОЛИПИДЫ ФИБРИНОГЕНА И ИХ ИЗМЕНЕНИЯ В ПРОЦЕССЕ ФИБРИНООБРАЗОВАНИЯ

Фибриноген представляет собой глобулиновый белок плазмы, переходящий в нерастворимую форму под влиянием тромбина. По данным Тризтрама [25], в его состав входит более 20 аминокислот, некоторые гексозы и глюкозамин [23]. Благоразумова [1] из препаратов фибриногена выделила неэстерифицированный холестерин, содержание которого весьма непостоянно. В составе фибриногена обнаружены также манноза, галактоза и сиаловые кислоты, которые, по-видимому, являются частью молекулы фибриногена. Окисление углеводного компонента препятствует превращению фибриногена в фибрин, возможно, благодаря образующимся при этом продуктам окисления [15, 16].

Исходя из данных Джавадяна [5], Веселкина, Ильина и Чаплыгиной [4], фибриноген синтезируется в печени и разрушается в легких под влиянием фибринокиназы, содержащейся в больших количествах в легочной ткани. Существует мнение [20, 27], что ретикуло-гистиоцитарная система костного мозга, а возможно, и ретикуло-эндотелиальная система других органов могут продуцировать фибриноген.

О существовании видовой специфичности фибриногена свидетельствуют данные Сигерса и Шмидта [21], которые наблюдали колебания времени свертывания оксалатной плазмы разных животных.

Другие [9] показали, что кривая времени коагуляции характерна для фибриногена каждого вида млекопитающих. Исследованиями Васильева [3] установлено неодинаковое содержание фибриногена в крови у разных видов животных. Расшифровка качественного и количественного состава компонентов фибриногена в настоящее время представляет большой интерес.

Исследованиями К. Г. Карагезяна и сотр. [2, 6, 7] показано, что у собак при функциональных состояниях, разыгрывающихся в условиях внутрикаротидного, внутривенного и внутрицистернального введений различных количеств ГАМК, адреналина, и при электрокожном раздражении кровь, оттекающая от головного мозга, в отличие от артериальной, проявляет тенденцию к значительно быстрому свертыванию. К. Г. Карагезяном доказано также повышение количества фосфолипидногофосфора в крови, покидающей мозг, после введения указанных раздражителей. Исходя из данных Маркуса и др. [18], Гобби и др. [14], Териол-Биологический журнал Армении, XXIII, № 2—2

та и др. [24], Роузера и др. [19], Чаргаффа и др. [10, 11], Турнера и др. [26], Сильвера и др. [22], можно сделать вывод, что фосфолипидам отводится определенная функциональная роль в активации и торможении отдельных звеньев свертывающей системы крови. Установленный нами факт относительного превалирования количества липидного фосфора в сыворотке крови над ее плазмой побудил нас изучить фибриноген на предмет присутствия в нем фосфолипидного компонента. В литературе, кроме наблюдений Благоразумовой, мы не встречали указаний относительно других липидных представителей, входящих в состав этого белка.

Методика. Исследовались свежая оксалатная плазма человека (донор) и быка. Фибриноген осаждали двукратно с помощью сернокислого аммониума [1] и сушили под током холодного воздуха с помощью ацетона. Фибрин осаждали из плазмы с помощью хлорида кальция и физиологического раствора. Ацетоновый порошок подвергали восьмикратной экстракции метанол-хлороформенной смесью (1:2), экстракт промывали дистиллированной водой и нижний хлороформенный слой, содержащий фосфолипиды, выпаривали под водоструйным насосом до определенного уровня. Пробу экстракта наносили на хроматографическую бумагу Filtrak-11 с тем, чтобы количество липидного фосфора в ней не превышало 8—10 гамм. Хроматографическую бумагу предварительно пропитывали кремниевой кислотой. Пятна выявляли раствором Родамина 6-Ж, элюировали, сжигали и определяли количество фосфора по Фиске и Суббороу [13]

Результаты исследований. Качественный анализ фосфолипидов фибриногена быка показал наличие семи фосфолипидных пятен, располагающихся от линии старта в следующей очередности: неидентифицированный фосфолипид кислой природы (НФл), впервые выделенный нами; лизолецитины (ЛЛ); монофосфоинозитфосфатиды (МФиФ); сфингомиелины (СФМ); лецитины (Л); серинфосфатиды (СФл); этаноламинфосфатиды (ЭФл). В фибриногене крови человека обнаружить первые два пятна не представилось возможным.

Обнаружение указанных липидов в составе фибриногена привело к мысли проследить за картиной их распределения в препаратах фибрина той же крови. Это представляло интерес прежде всего потому, что процесс фибринообразования, безусловно, сопровождается соответствующими качественными и количественными изменениями самой молекулы фибриногена. Говоря о качественных изменениях, мы подразумеваем присоединение к фибриногену одних компонентов и, наоборот, отщепление других. Наши исследования, проведенные над фибриногеном крови быка, позволили выявить ряд закономерностей в изменении количественного состава фосфолипидов в процессе трансформации его в фибрин.

В фибриногене, полученном из плазмы быка, были обнаружены все описанные фракции фосфолипидов, а в фибрине плазмы человека обнаружены только СФМ и Л.

Сумма фосфора всех фракций фосфолипидов, входящих в состав фибриногена быка, по нашим данным, колеблется в пределах 10,58 мкг/г сухого веса. Больше всего фосфора приходится на долю Л—3,96 мкг/г сухого веса, затем СФМ—2,46; ЛЛ—1,22; ЭФл—1,0; МФиФ—0,9; СФл—1,62; НФл—0,42 мкг/г сухого веса.

Суммарное количество фосфора в фибриногене плазмы человека составляет примерно 57,09 мкг/г сухого веса. Количество фосфора в отдельных фракциях фосфолипидов фибриногена человека дано в приведенной таблице.

Иная картина наблюдается при исследовании экстракта фибрина плазмы быка, где общее содержание липидного фосфора составляло в среднем 26.6 мкг/г сухого веса, что примерно в 2,5 раза выше его уровня в составе фибриногена. В фибрине плазмы человека сумма фосфора фосфолипидных пятен равняется 118,60 мкг/г сухого веса, т. е. в 2 раза больше, чем в фибриногене. Иначе говоря, во всех изученных случаях наблюдается закономерное превалирование (в 2-2,5 раза) уровня липилного фосфора в фибрине по сравнению с фибриногеном. Исходя из результатов наших исследований, можно заключить, что в процессе фибринообразования имеет место значительное увеличение уровня липидного фосфора в составе фибрина. Детальное изучение липидных экстрактов фибрина позволило установить, что указанное увеличение идет главным образом за счет нейтральных Фл. Следовательно, образование фибрина сопровождается связыванием нейтральных Фл, удельный вес которых в общей массе Фл значительно возрастает. Таким образом, в участии Фл в каких-либо биологических процессах важное значение следует придавать их количественным соотношениям, по-видимому, играюшим существенную роль в обеспечении определенной функции.

Таблица 1 Содержание индивидуальных фосфолипидов (в мкг липидного фосфора/г сухого веса) фибриногена и фибрина нормальной крови человека и быка

		Чел	овек			Б	ык	
Фосфолипиды	количество фосфора в фибриногене	0/0 OT CYMME	количество фосфора в фибрине	0/0 от суммы	количество фосфора в фибриногене	0/0 OT CYMMBI	количество фосфора в фибрине	8/0 OT CYMMBI
Неидентифицированные Фл Лизолецитины Монофосфоинозит фосфатиды Сфингомиелинны Лецитины Серинфосфатиды Этаноламинфосфатиды	6,53 30,26 13,80 3,70 2,80	53,0 24,0 6,5 5,0	53,4 65,2	55,0 — —	0,42 1,22 0,90 2,46 3,96 0,62 1,00	4,0 1!,5 8,5 23,4 37,5 5,7 9,4	0,86 5,00 0,72 5,52 12,20 0,42 1,34	19,2 2,8 21,2
Сумма	57,09		118,60		10,58		26,06	

Эта мысль в настоящее время выдвигается Крепсом и сотрудниками [8], утверждающими, что, кроме присутствия того или иного Фл в ЦНС, важно также наличие определенного набора Фл, независимо от филогенетической принадлежности данного животного. По всей вероятности, такой подход следует расценивать как условие, необходимое для обеспечения каких-то определенных функций, общих для представителей многих эволюционных видов. Исходя из этих суждений, мы считаем,

что они в равной мере могут найти свое претворение не только в отношении ЦНС, но и многих других органов, тканей и биологических жидкостей организма, где функциональная роль Фл очевидна. В данном конкретном случае мы считаем, что наряду со многими другими факторами существующие в молекуле фибриногена определенные количественные соотношения между кислыми и нейтральными Фл, безусловно, играют значительную роль в формировании физико-химических свойств этого белка. Когда же указанные соотношения нарушаются, в частности увеличивается удельный вес нейтральной группы Фл, из их общей суммы, по-видимому, это оставляет заметный след на изменении физико-химических свойств фибриногена, трансформирующегося в фибрин. Мы придерживаемся этого мнения на основании того, что в фибрине плазмы быка, по сравнению с фибриногеном, в 5 раз снижается уровень серинфосфатидов, а в фибрине плазмы человека полностью исчезают все кислые Фл.

В литературе существует мнение относительно антикоагулянтных свойств серинсодержащих Фл [17], исходя из которого, мы нашли интересным проследить за сдвигами кислой группы Фл в процессе фибринообразования. Результаты наших исследований показали, что препараты фибриногена и фибрина, выделенные из одной и той же порции крови, содержат совершенно различные количества серинфосфатидов. Так, например, в фибрине бычьей плазмы, по сравнению с фибриногеном, удельный вес серинсодержащих Фл снижался в 5 раз, а в фибрине плазмы человека эта группа Фл вообще отсутствовала.

Приведенные данные согласуются с результатами исследований Даусона [12], показывающими, что растворимость белковых молекул и их комплексов находится в определенной зависимости от степени комплексования их с кислыми Фл.

Исходя из этого, мы предполагаем, что в сохранении фибриногена крови в растворенном состоянии немаловажное значение имеют и другие кислые фосфолипиды, среди которых наибольшим антикоагулянтным свойством обладают серинфосфатиды.

Институт биохимии АН АрмССР

Поступило 10.VIII 1969 г.

Ս. Ս. ՀՈՎԱԿԻՄՅԱՆ, Կ. Գ. ՂԱՐԱԳՅՈԶՅԱՆ

ՖԻԲՐԻՆՈԳԵՆԻ ՖՈՍՖՈԼԻՊԻԴՆԵՐԸ ԵՎ ՆՐԱՆՑ <mark>ՓՈՓՈԽՈՒԹՅՈՒ</mark>ՆՆԵՐԸ ՖԻԲՐԻՆԱԳՈՅԱՑՄԱՆ ՊՐՈՑԵՍՈՒՄ

Ամփոփում

Տվյալ աշխատության մեջ նկարագրված է նոր նյութ, որի հիման վրա դարելի է խոսել արյան ֆիբրինոգենի կազմում ֆոսֆոլիպիդային կոմպոնենտի աներկայության մասին։ **Ֆիբրին**ոգենի կազմում Տայտնաբերված են ֆոսֆոլիպիդների Տետևյալ **ֆրակցիա**ները՝ 1) ոչ-իդենտիֆիկացված ֆոսֆոլիպիդներ, 2) լիզոլեցիտիններ,

3) մոնոֆոսֆոինոզիտֆոսֆատիդներ, 4) սֆ<mark>ինգոմիելինն</mark>եր, 5) լեցիտիններ,

6) սերինֆոսֆատիդներ, և 7) է բանոլամինֆոսֆատիդներ։

Երբ ֆիբրինոգենը վերածվում է ֆիբրինի, վերջինիս մեջ ավելանում է չեզոք ֆոսֆոլիպիդների քանակությունը, որոնք Տանդիսանում են որպես արյան պրոկոագուլյանաներ։ Իսկ թթու Ֆոսֆոլիպիդների քանակությունը զգալի չափով պակասում է։ Այդ ֆոսֆոլիպիդները Տանդես են գալիս որպես արյան բնական ստաբիլիզատորներ։

Հոդվածում ըննարկվում է առանձին ֆոսֆոլիպիդների դերը արյան մա-**Լարդե**լիության և Հակամակարդելիության սիստեմներում։

ЛИТЕРАТУРА

- **L. Б.**лагоразумова М. А. Тр. Волгоградского мед. института. 8, 62, 1951.
- **2.** Бунятян Г. Х. и Карагезян К. Г. ДАН СССР, (новая серия), ХСІХ, 5, 831. 1954.
- 3. Васильев А. В. Гематология животных, М., 1948.
- Веселкин П. Н., Ильина В. С., Чаплыгина З. А. Вопросы медицинской химии, 121, 1, 1955.
- **5.** Джавадян Н. С. Архив патологии, 16, 22, 1954.
- **6. К**арагезян К. Г. ДАН СССР, т. 118, 1, 142, 1958.
- 7. Карагезян К. Г. ДАН СССР, т. 170, 4, 985, 1966.
- Крепс Е. М. Фосфолипиды клеточных мембран и нервной системы в развитии животного мира, «Баховские чтения» (ХХ), изд. Наука, Ленинград, 1967.
- 9. Burstein M., Guinand A. Rev. Hematol, 9, 231, 1954.
- 10. Chargaff E., Bendich A., Cohen S. S. J. Biol. Chem., v. 156, 161, 1944.
- 11. Chargaff E. J. Biol. Chem., v. 173, 253, 1948.
- 12. Dawson R. M., Palmer F. B. 7-th. Int. Congress of Biochem. Symp, 1-7, 1, 73, Tokyo, 1967.
- 13. Fiske C. H., Subbarow Y. J. Biol. Chem, v. 66, p. 375, 1925.
- 14. Gobbi F., Stefanini M. Fed. proc. v. 17, 438, 1958.
- 15. Laki K. Sci. Amer. 59, 3, 206, 1962.
- 16. Laki K. Biochem. Biophis. acta, 52, 1, 57, 1962.
- 17. Lilli E. Res. Today. v. 15, 2, 1959.
- 18. Magreus A. Y., Spaet T. H. J. Clin. Invest. 37, 1836, 1958.
- 19. Rouser G., White S. D., Schloredt D. Fed. Proc. 16, 332, 1957.
- 20. Schulz Y., Creveld S. Etudes inonatales, 7, 4, 133, 1958.
- 21. Seegers W., Smith H. Amer. J. Phisiol. 142, 137, 348, 1956.
- 22. Silver M. Y., Turner D. Z., Tocantins Z. M. Amer. J. Phisiol, v. 190, 8, 1957.
- 23. Szara S., Bagdy D. Actá Physiol. Hung. 4, 229, 1953.
- 24. Therriault D. C., Nichols T. Fed, Proc. v. 17, 322, 1958.
- 25. Tristram G. The proteins chemistri, biological activity methods, 1, 181, 1953.
- Turner D., Sil v.er M., Tocantins I. Arch. Biochem. Biophys. v. 47, 2, 249, 1958.
- 27. Villa A. Progr. med. 14, 6, 175, 1958.

т. XXIII, № 2, 1970

УДК 591.1.05

Л. А. АРУТЮНЯН, А. С. ОГАНЕСЯН

ОБРАЗОВАНИЕ АММИАКА В ПОЧЕЧНОЙ ТКАНИ РАЗЛИЧНЫХ ВИДОВ ЖИВОТНЫХ

Деаминирование L-аминокислот является одним из важных путей их обмена. Выяснению механизма деаминирования природных аминокислот посвящены работы многих исследователей. Однако до настоящего времени нет единого мнения в отношении механизма, объясняющего этот процесс.

На основании своих исследований Браунштейн [1] развил представление о том, что аминоазот многих L-аминокислот превращается в свободный аммиак не прямым путем, а через трансаминирование с α-кетоглутаровой кислотой, с последующим деаминированием образовавшейся глутаминовой кислоты. Однако целый ряд последующих исследований показал, что глутаматдегидрогеназной реакцией образуется незначительное количество свободного аммиака. Равновесие действия этого фермента смещено в сторону синтеза глутаминовой кислоты из α-кетоглутаровой кислоты и аммиака [9, 12].

Исследования, проведенные в последнее время в Институте биохимии АН АрмССР [3, 4], выявили весьма интересную особенность течения процессов обмена природных аминокислот, в частности их деаминирования, в почечной ткани белых крыс. Исследования показали, что срезы коркового слоя почек белых крыс в аэробных условиях деаминируют целый ряд природных аминокислот (глутаминовая и аспарагиновая кислоты, орнитин, аргинин, ү-аминомасляная кислота, лизин, гистидин и др.), из коих наиболее интенсивно глутаминовую, аспарагиновую кислоты и орнитин. Установлено, что L-аспарагиновая кислота и L-орнитин деаминируются без предварительного превращения в глутаминовую кислоту. Полученные данные дали авторам основание высказать мнение о том, что в коре почек белых крыс имеются отдельные системы, осуществляющие деаминирование L-глутаминовой, L-аспарагиновой кислот и L-орнитина. В связи с этим представляет интерес изучение процесса аммиакообразования в почках различных животных в филогенетическом аспекте с целью выявления особенностей аминокислотного обмена в почечной ткани различных представителей животного мира.

Опыты проводили со срезами коркового и мозгового слоев (в отдельности) почек некоторых млекопитающих (кролик, морская свинка,

бык, свинья, овца, белая крыса), птиц (курица*) и земноводных (лягушка*). Изучали образование аммиака из некоторых L-аминокислот (глутаминовая, аспарагиновая, орнитин, аргинин, цитруллин, пролин, аланин), а также из глутамина, адениннуклеотидов (АТФ, АДФ, АМФ) и НАД. Срезы почек весом 200 мг инкубировали в Кребс-Рингер-бикарбонатном буфере при 37°С в течение одного часа (в отдельных опытах инкубацию ткани продолжали до 3-х час.) в атмосфере кислорода—95 и углекислого газа—5%. На каждую пробу добавляли в мкмолях: аминокислоты—16, адениннуклеотиды—10, НАД—2,86, НА—8.2. Аммиак в инкубируемой среде определяли микродиффузионным методом по Конве.

Таблица 1

Образование аммигка из L-аминокислот срезами коркового слоя почек различных животных (прирост аммиака в мкмолях/г ткани/час)

Вид животного	Глутамино- вая кислота	Аспара- гиновая кислота	Орнитин	Аргинин	Цитрул- лин	Пролин	L-аланин
Лягушка	1,3 + 0,4	4,2+0,3	0.8 ± 0.2	$1,0\pm0,1$	$1,5\pm0,5$	(3)	$0,9\pm0,3$
Курица	$1,5\pm0,2$	$4,6\pm0,4$	1,9 + 0,06	1,2±0,1 (4)	$-2,1\pm0,3$ (4)	-1,8±0,3 (4)	3,1±0,3 (5)
Крол ик	-0.7 ± 0.2	0 (4)	1,1 + 0,2	- 0,6 (4)	0,6 (4)	-0.5 ± 0.1 (4)	-0,6 (4)
Морская свинка	-0.3 ± 0.06 (3)	0 (3)	0,8 (3)	0 (3)	0 (3)	0 (3)	0 (3)
Бык	0 (4)	2,3+0,2 (4)	0.9 + 0.06	$\frac{1,0+0,1}{(3)}$	0,3 (3)	(3)	$1,4\pm0,3$
Свинья	0 (2)	$\begin{array}{c c} 1,7+0,1\\ (2) \end{array}$	0,8+0,2	-0,3 (2)	-0, 3 (2)	0 (2)	$1,3\pm0,1$ (2)
Овца	0 (1)	1,9 (1)	1,9 (1)	0,4 (1)	-1,5 (1)	0,4 (1)	0,8
Белая крыса	6,5±0,6 (12)	9,7±0,8 (13)	12,0 <u>+</u> 1,0 (12)	5,2±0,6 (5)	$-1,1\pm0,1$	$5,0\pm0,9$	1,5±0,2 (6)

Содержание аммиака в инкубированных контролях:

зягушка $-3,5\pm0,1$, курица $-8,7\pm0,3$, кролик $-1,8\pm0,1$, морская свинка $-0,9\pm0,06$, бык $-2,7\pm0,1$, свинья $-2,5\pm0,1$, овца-3,1, белая крыса $-9,7\pm0,6$.

Результаты исследований (табл. 1) показывают, что почки белых крыс (корковый слой) по способности деаминировать L-аминокислоты резко отличаются от почек остальных изученных нами животных. Срезы коркового слоя почек белых крыс способны продуцировать из ряда L-аминокислот большое количество свободного аммиака. Это отмечается особенно в отношении глутаминовой, аспарагиновой кислот и орнитина. Между тем срезы почек остальных изученных нами животных намного уступают таковым белых крыс; у них отмечается выход небольшого количества свободного аммиака из отдельных L-аминокислот. Если исклю-

^{*} В связи с тем, что в почках лягушек и кур невозможно отделить корковый стюй от мозгового, в опытах с этими животными использовали срезы целых почек.

чить белых крыс, то среди остальных животных деаминирование аминокислот в сравнительно ощутимой мере протекает в срезах почек лягушек и кур. Результаты исследований показали, что сравнительное увеличение продукции свободного аммиака у большинства животных (лягушка, курица, бык, овца, свинья) наблюдается из аспарагиновой кислоты. Из а-аланина выход достаточного количества аммиака наблюдается у кур. По сравнению с этими аминокислотами орнитин дает меньший прирост аммиака. При добавлении глутаминовой кислоты выход аммиака наблюдается в срезах почек лягушек и кур; в срезах же млекопитающих она либо не дает прироста аммиака (бык, овца, свинья), либо подавляет его образование (кролик, морская свинка). Образование небольшого количества аммиака из аргинина наблюдается в срезах почек лягушек, кур и быка; цитруллин, который у кур, овец и белых крыс подавляет образование аммиака, у лягушек слегка стимулирует этот процесс, а у остальных животных не оказывает особого влияния на аммиакообразование. Из пролина отмечается выход аммиака только в срезах коры почек белых крыс, у остальных животных эта аминокислота почти не оказывает влияния на процессы аммиакообразования, если не считать небольшого подавляющего действия у кур.

В срезах мозгового слоя почек всех изученных нами животных ни одна из вышеупомянутых аминокислот не дает прироста аммиака, за исключением срезов мозгового слоя почек белых крыс, у которых наблюдается небольшой выход аммиака из орнитина.

Как видно из вышеприведенных данных, более интенсивное образование аммиака из L-аминокислот наблюдается только в срезах коркового слоя почек белых крыс. У остальных животных отмечается небольшой прирост аммиака из отдельных аминокислот (а иногда и это отсутствует).

Надо полагать, что в почках этих животных активность ферментов, осуществляющих деаминирование L-аминокислот, низкая, поэтому и выход аммиака из упомянутых аминокислот незначительный. Для выяснения этого вопроса мы несколько изменили условия опыта. С одной стороны, продлили продолжительность инкубации (до 3-х час.), а с другой-увеличили количество добавленных аминокислот (опыты проводили на срезах коры почек кролика). Результаты этих опытов приведены в табл. 2. Как видно из этой таблицы, при трехкратном увеличении количества субстрата (48 мкмоль) несколько увеличивается образование аммиака только из орнитина, из аспарагиновой кислоты выхода аммиака не наблюдается, а глутаминовая кислота, наоборот, вызывает понижение количества образовавшегося аммиака. Однако при удлинении времени инкубации (3 часа) отмечается заметное увеличение количества свободного аммиака как из аспарагиновой кислоты, так и особенно из орнитина. Таким образом, результаты этих опытов показывают, что как удлинение времени инкубации, так и увеличение количества добавленных кислот приводит к значительному усилению аммиакообразования из L-аминокислот.

Отдельной серией опытов изучали процессы образования аммиака из глутамина, адениннуклеотидов (АТФ, АДФ, АМФ) и НАД. По литературным данным, основным источником аммиака мочи является глутамин, а адениловой кислоте [5, 6] и НАД—[2, 7] придается большое значение в процессах образования аммиака из L-аминокислот, в частности, из L-аспарагиновой кислоты.

Таблица
Образование аммиака из L-аминокислот срезами коры почек кролика
в зависимости от условий опытов
(прирост аммиака в мкмолях/г ткани/час, три часа)
Средние данные 5 опытов

Количес тво добав- жиных аминокис- лот	Длительность инкубации	Глутаминовая кислота	Аспарагиновая кислота	Орнитин
16 мкмоль	1 час	-0,9 <u>+</u> 0,1	0	1,0±0,2
48 мкмоль	1 час	-0.9 ± 0.1	0.	2,2 <u>+</u> 0,2
16 мкмол ь	3 часа	$-1,3\pm0,1$	1,7 <u>+</u> 0,1	2,3 <u>±</u> 0,5
48 мкм оль	З часа	-1,4 <u>+</u> 0,2	3,8 <u>+</u> 0,5	6,6 <u>+</u> 0,2

Количество аммиака в инкубированных контролях: при инкубации в течение 1 час. 1,9±0,2, при инкубации в течение 3 час. 2,8±0,3.

Результаты опытов, приведенные в табл. 3, показывают, что срезы почек всех изученных нами животных интенсивно деаминируют глута**мин**; это особенно проявляется в срезах почек белых крыс. Среди остальных животных наибольшее количество аммиака из глутамина продуцируют срезы почек курицы, затем коркового слоя почек кролика, вягушки, овцы, быка, свиньи и морских свинок. Срезы мозгового слоя вочек всех животных, как правило, деаминируют глутамин слабее, чем срезы коркового слоя, за исключением почек морских свинок, у которых срезы мозгового слоя из глутамина продуцируют больше аммиака, чем срезы коркового слоя. Как показывают данные табл. 3, в почках всех животных довольно интенсивно деаминируются также адениннуклеотиды и в меньшей степени-НАД. Адениннуклеотиды у отдельных животных дают выход почти одинакового количества аммиака, исключение составляют морские свинки, у которых в корковом слое почек выход аммиака из АМФ меньше по сравнению с АТФ и АДФ. Активность ферментов, осуществляющих деаминирование этих нуклеотидов, в корковом слое выше по сравнению с таковой мозгового слоя. Подобная закономерность наблюдается и в отношении НАД.

Приведенные данные показывают, что в почках различных представителей животного мира образование аммиака из L-аминокислот **имеет** различную картину.

Среди всех животных, изученных нами, особое место занимают белые крысы, у которых срезы коркового слоя почек проявляют очень вы-

Таблица С Образование аммиака из глутамина, адениннуклеотидов и НАД срезами почек различных животных (прирост аммиака в мкмолях/г ткани/час)

Вид	отонтовиж	Глутамин	АТФ	А ДФ	А МФ	НАД+НА*
Лягушка		$10,5\pm1,3$	15,2+0,6	13,8 <u>±</u> 0,9	15,3 <u>+</u> 1,1 (3)	3,3 <u>+</u> 0,7
Курица		$16,2\pm0,3$	16,7 <u>+</u> 0,1 (8)	$15,3\pm0,4$	15,6 <u>+</u> 0,4 (8)	17,6±0,6 (6)
Кролик	корковый слой	13,2+0,2	14,2+0,7	12,2+0,8	$12,7\pm0,5$	2,8+0,3
	мозговой слой	$6,3\pm0,06$	8,8+0,8	$\begin{array}{c} 7,7 + 1,2 \\ (3) \end{array}$	$\begin{array}{c} 6,6\pm0,6 \\ (3) \end{array}$	3,1+0,06 (3)
Морская свинка	корковый слой	3,3+0,4	$14,7\pm0,5$	$[14,9\pm0,5]$	$10,6\pm0,4$	$1,6\pm0,2$
СВИНКА	мозговой слой	6,6±0,2 (3)	12, 2 + 0, 1	10,9+0,3	$9,5\pm0,1$	2,1+0,1
Бык	корковый слой	$8,6\pm0,3$			$10,6\pm0,2$	2.7 ± 0.3
	мозговой слой	$6,2 \pm 0,1$			9.6 ± 0.2	2,1+0,2
Свинья	корковый слой	$6,1\pm0,3$			$10,6\pm0,4$	2.7 ± 0.3
	мозговой слой	$\begin{bmatrix} 3, 1 \pm 0, 3 \\ (2) \end{bmatrix}$	į.		9,0+0,7	2,3+0,3 (2)
Овца	корковый слой	$\frac{11,2}{(1)}$			13,2	3,5
	мозговой слой	7,0			8,5 (1)	(1)
Белая крыса	корковый слой	$37,4\pm4,7$	$13,6\pm1,5$	$13,6\pm0,9$	$12,0\pm1,2$	4,5±0,5
	мозговой слой	$21,3\pm 2,6$ (3)	12,0+1,6 (4)	11, 2 + 1, 0	12,0+0,6	1,1+0,2

Содержание аммиака в инкубированных контролях

	Лягушка	Курица	Кролик	Морская свинка	Бык	Свинья	Овца	Белая крыса
Корковый слой Мозговой слой	3,5±0,1	8,7 <u>+</u> 0,3	ļ				[9,7±0,6 6,5±0,7

^{*} НА добавляли для ингибирования нуклеозидазного расщепления НАД.

сокую деаминазную активность в отношении некоторых L-аминокислот (глутаминовая, аспарагиновая кислоты, орнитин и др.). В этом отношении результаты наших исследований согласуются с данными других авторов [3, 4, 8]. У всех остальных животных активность ферментов, осуществляющих деаминирование L-аминокислот, очень низкая. У некоторых животных (морские свинки) даже при длительной инкубации не отмечается аммиакообразования из аспарагиновой кислоты, а глутаминовая кислота у кроликов и морских свинок вызывает понижение количества свободного аммиака по сравнению с инкубированным контролем,

что объясняется синтезом глутамина из глутаминовой кислоты и аммиака. Интересно отметить, что у всех животных при добавлении орнитина наблюдается прирост ощутимого количества аммиака. Это отмечается даже в тех случаях, когда глутаминовая и аспарагиновая кислоты не дают выхода свободного аммиака. Результаты этих опытов показывают, что орнитин подвергается деаминированию, предварительно не превращаясь в глутаминовую или аспарагиновую кислоты. Этот факт, представляющий большой научный интерес, показывает наличие отдельной ферментной системы, осуществляющей деаминирование L-орнитина в почечной ткани животных.

Опыты с увеличением количества добавленных аминокислот и с удлинением продолжительности инкубации показывают, что срезы почек кроликов обладают способностью деаминировать кроме L-орнитина, и L-аспарагиновую кислоту. Однако это свойство не проявляется при часовой инкубации в связи с низкой активностью фермента, осуществляющего деаминирование аспарагиновой кислоты. Увеличением количества добавленных аминокислот и удлинением продолжительности инкубации создаются благоприятные условия для действия ферментов на соответствующие субстраты, в результате чего и возрастает количество образовавшегося аммиака как из L-аспарагиновой кислоты, так и из L-орнитина. Что касается L-глутаминовой кислоты, то и в этих опытах наблюдается торможение образования свободного аммиака, что связано с усилением синтеза глутамина за счет аммиака, образовавшегося из других источников.

В почечной ткани различных животных глутамин дает наибольшее количество свободного аммиака, что связано с высокой активностью глутаминазы 1. Это особенно выражено у белых крыс. Среди остальных животных высокой глутаминазной активностью обладают почки кур, кроликов, затем лягушек, быка, овцы, свиньи и морских свинок. Интересно отметить, что в отличие от остальных животных, у которых глутаминазная активность в корковом слое почек выше, чем в мозговом, у морских свинок, наоборот, в мозговом слое активность этого фермента в два раза превосходит глутаминазную активность коркового слоя. Подобная локализация глутаминазы в почках морских свинок, по-видимому, связана с особенностями анатомической структуры почек этих животных.

Результаты наших исследований также показывают, что в почках всех животных с довольно высокой скоростью протекают процессы образования аммиака из адениннуклеотидов и НАД. Эти вещества представляют интерес с точки зрения их участия в процессах деаминирования L-аминокислот. По литературным данным, как адениловая кислота [5. 6], так и НАД [2, 7] принимают участие в образовании свободного аммиака из L-аспарагиновой кислоты. В животных тканях многие L-аминокислоты путем трансаминирования с с-кетоглутаровой кислотой превращаются в L-глутаминовую кислоту, а последняя—в аспарагиновую. Аспарагиновая кислота, как известно, принимает участие и в син-

тезе мочевины [10, 11]. Результаты исследований показывают, что у млекопитающих, у которых конечным продуктом обмена аминокислот является мочевина, из L-аминокислот аммиак или не образуется, или образуется в небольшом количестве. Исключение составляют белые крысы, у которых этот процесс (аммиакообразование) протекает с высокой скоростью в корковом слое почек. Надо полагать, что у белых крыс довольно интенсивно протекают процессы и аммиакообразования, и синтеза мочевины, а у остальных млекопитающих аминоазот L-аминокислот преимущественно выводится из организма путем синтеза мочевины. Каков удельный вес процессов образования аммиака и синтеза мочевины в почках указанных животных покажут дальнейшие исследования.

Институт биохимии АН АрмССР

Поступило 10.VIII 1969 г.

Լ. Ա. ՀԱՐՈՒԹՅՈՒՆՑԱՆ, Ա. Ս. ՀՈՎՀԱՆՆԻՍՅԱՆ

ԱՄԻԱԿԻ ԱՌԱՋԱՑՈՒՄԸ ՏԱՐՔԵՐ ՏԵՍԱԿԻ ԿԵՆԴԱՆԻՆԵՐԻ ԵՐԻԿԱՄԱՑԻՆ ՀՑՈՒՍՎԱԾՔՆԵՐՈՒՄ

Ամփոփում

Փորձերը դրվել են էվոլյուցիոն սանդուղջի տարբեր աստիճանների վրականգնած կենդանիների երիկամների կարվածջների հետ (դորտ, հավ, ճագար, ծովախողուկ, խոշոր եղջերավոր կենդանիներ, խող, ոչխար և սպիտակ առխնտ)։ Փորձերի արդյունջները ցույց են տվել, որ ամիակի առաջացումը մի շարջ L-ամինաթեռւներից (գլյուտամինաթեռւ, ասպարագինաթեռւ, օրնիտին, արգինին, պրոլին, գլյուտամին և այլն) և նուկլեոտիդներից (ԱՏՖ, ԱԴՖ, ԱՄՖ, ՆԱԴ) տարբեր կենդանիների մոտ արտահայտված է տարբեր ինտենակությամբ։ Սպիտակ առնետների մոտ վերոհիշյալ աղբյուրներից առաջանում է բավական մեծ ջանակությամբ ազատ ամիակ։ Մինչդեռ մնացած կենդանիների մոտ այդ պրոցեսներն արտահայտված են կամ թույլ չափով, կամ բացակայում են։

Փորձերը ցույց են տվել, որ Համարյա բոլոր կենդանիների մոտ այս կամ այն չափով դեամինացվում է L-օրնիտինը։ Գլյուտամինաթթուն Ճագարների և ծովախոզուկների մոտ նվազեցնում է ազատ ամիակի քանակությունը, որ բացատրվում է գլյուտամինի սինթեզով, իսկ գորտերի և Հավերի մոտ թեթևակի բանակր։ Ասպարագինաթթուն բավարարչափով դեամինացվում է գորտերի և Հավերի մոտ, իսկ ոչխարների, խոզերի և խոշոր եղջերավոր անասունների մոտ այդ երևույթը արտահայտված է թեթևակի։ Հիշյալ աղբյուրներից ամիակագոյացման ցածր աստիճանը որոշ կենդանիների մոտ բացատրվում է Համապատասխան ֆերմենտների ցածր ակտիվութիկանք։ Բոլոր կենդանիների մոտ ամենամեծ քանակով ամիակ ստացվում է գլյուտամինից, որը խիստ արտահայտված է սպիտակ առնետների մոտ։ Երիկամերում որոշ չափով ամիակի աղբյուր կարող են լինել նաև աղենիննուեկինտուիներում որոշ չափով ամիակի աղբյուր կարող են լինել նաև աղենիննուերի կերտիդները (ԱՏՖ, ԱԴՖ, ԱՄՖ) և ՆԱԴ-ը։

ЛИТЕРАТУРА

- 1. Браунштейн А. Е., Крицман М. Г. Биохимия, 2, 242, 1937.
- 2. Бунятян Г. Х., Мовсесян С. Г. Вопросы биохимии мозга, 2, 5, 1966.
- 3. Бунятян Г. Х., Оганесян А. С., Геворкян Ж. С. ДАН СССР, 177, 951, 1967.
- 4. Геворкян Ж. С. Автореф. канд. дисс., 1969.
- **5**. Кометиани П. А. Биохимия, 24, 729, 1959.
- 6. Қометиани П. А. В кн.: Обмен аминокислот, 99, 1967.
- 7. Мовсесян С. Г., Манасян Р. Ф. Вопросы биохимии мозга, 3, 53, 1967.
- 8. Krebs H. A. Biochem. J., 29, 1620, 1935.
- 9. Olson J. A., Anfinsen C. B. J. Biol. Chem., 202, 841, 1953.
- 10. Ratner S., Petrack B. J. Biol. Chem., 191, 693, 1951.
- 11. Ratner S., Petrack B. J. Biol. Chem., 200, 161, 1953.
- 12. Strecker H. J. Arch. Biochem. Biophys., 46, 128, 1953.

T. XXIII. № 2, 1970

УДК 612.822.1

Ա. Ա. ՍԻՄՈՆՑԱՆ

ՇՆՉԱՌՈՒԹՅԱՆ ԵՎ ՕՔՍԻԴԱՑԻՈՆ ՖՈՍՖՈՐԻԼԱՑՄԱՆ ԻՆՏԵՆՍԻՎՈՒԹՅՈՒՆԸ ՀԱՎԻ ՍԱՂՄԻ ՈՒՂԵՂԻ ՄԻՑՈՔՈՆԴՐԻԱՆԵՐՈՒՄ ԼԵՑԻՏԻՆԻ ԱԶԴԵՑՈՒԹՅԱՆ ՏԱԿ

Մեր նախընթաց աշխատություններում ցույց էր տրվել, որ հավի օնտոգե֊ նետիկ զարգացման որոշակի շրջանում սաղմի լյարդում տեղի է ունենում ճարպերի կուտակման և լիպոպրոտեինային ֆրակցիայի առաջացման պրոցես [1, 2]։ Ուսումնասիրությունները ցույց տվեցին, որ սաղմի լյարդում ճարպերի կուտակումը և լիպոպրոտեինային ֆրակցիայի կազմավորումը զարգացող օրգանիզմի համար միայն սննդառական նշանակություն չունի։ Այն կարևոր ֆիզիոլոգիական, բիոջիմիական գործոն է և, մասնավորապես, նշանակություն ունի էներգետիկ փոխանակության կանոնավորման Համար։ Այդ ֆրակցիայի <u> Համապատասխան ջանակների ներկայությամբ բջջում օջսիդացիոն ֆոսֆո-</u> րիլացման պրոցեսը ճեղջվում է՝ շնչառությունը խթանվում է, իսկ ֆոսֆատի էսթերիֆիկացումը՝ դանդաղում։ Լիպոպրոտեինային ֆրակցիայի բաղադրության վերաբերյալ Հետազոտությունները պարզեցին, որ նրա մեջ մտնում են մեծ քանակությամբ ֆոսֆոլիպիդներ, այդ խվում նաև՝ լեցիտին։ Գրականության մեջ տվյայներ կան այն մասին, որ տարբեր ֆոսֆոլիպիդների ներկայությամբ բջջում շնչառությունը և դրա հետ կապված ֆոսֆատի փոխանակու*թյունը ենթարկվում են տարբեր փոփոխությունների։ Պետրուշկայի և աշխ.* [10, 11] տվյալներով՝ լեցիտինի մասնակցությամբ առնետի լյարդի միտոքոնդրիաներում բարձրանում է շնչառության ինտենսիվությունը։ Նման տրվյալների մենք հանդիպում ենք Հաբերմանի [6] և այլ հեղինակների աշխատություններում՝ սպիտակ առնետի լյարդի Հոմոգենատների վերաբերյալ։

Եննելով այն բանից, որ ֆոսֆոլիպիդների մասնակցությամբ Հյուսվածջում կապված օքսիդացիոն ֆոսֆորիլացումը ձեղջվում է և մեր կողմից
Հայանաբերված լիպոպրոտեինային ֆրակցիայում մեծ քանակությամբ լեցիտին է պարունակվում, մենք մտածեցինք, որ հավի սաղմի ուղեղի և լյարդի
միտոքոնդրիաներում շնչառության և ֆոսֆորիլացման պրոցեսի ձեղջումը կաբող է պայմանավորված լինել նաև լեցիտինի ներգործությամբ։ Քանի որ գրականության մեջ տվյալներ չկան հավի սաղմի ուղեղի միտոքոնդրիաներում
օքսիդացիոն ֆոսֆորիլացման վրա ֆոսֆոլիպիդների ազդեցության վերաբերյալ, մենք որոշեցինք հետազոտել լեցիտինի ազդեցությունը հավի սաղմի ուղևղի միտոքոնդրիաներում շնչառության և ֆոսֆատի փոխանակության վրա։

Այդ նպատակով վերցրել ենք հավի 15—17 օրական դաղմեր, սառույցի վրա հանել ամբողջ ուղեղը։ Այն ազատել ենք ԹաղանԹից, արյունը մաքրել Գիլտրի Թղթով, որը ներծծված է եղել 0,25 M սախարոզայի լուծույթով։ Յուրաքանչյուր փորձի համար անհրաժեշտ է եղել 5—6 գ ուղեղանյութ, որի հա. մար միացրել ենք մի քանի սաղմերի ուղեղներ։ Հյուսվածքի Հոմոդենացումը կատարել ենք առանց նախնական մանրացման՝ պտտվող տեֆլոնային սանդակոթով Հոմոդենիղատորով, 0,25 M սախարողայի լուծույթում՝ 1:8 կամ 1:9 Հարաբերությամբ։ Լուծույթի pH-ը եղել է 7,4: Բջջային ֆրակցիաների անջատումը կատարվել է դիֆերենցիալ ցենտրիֆուդացմամբ Մանդելի և աշխանակով՝ որոշ ձևափոխումներով։ Ուղեղի միտոքոնդրիաների վերջնական նստվածքը, առանց լվացման սուսպենղել ենք 0,25 M սախարողայի լուծույթում՝ 1:1 կամ 1:2 Հարաբերությամբ և տեղավորել Համապատասխան ինակուբացիոն խառնուրդում (2 մլ)։ Միտոքոնդրիաների շնչառությունը որոշել ենք մանոմետրիկ եղանակով 26°-ում 30 րոպեի ընթացքում։ Անօրդանական ֆոսֆատի որոշման հիմքում ընդունել ենք Լոուրիի և Լոպեղի [8] մեթոդը՝ Սկուլաչյովի [5] և Պիլի-ԼոՀմենի [12] ձևափոխությամբ։

ԱՏՖ-ազային ակտիվությունը որոշել ենք օքսիդացիոն ֆոսֆորիլացման ուսումնասիրության պայմաններում [13]։ Որպես ֆերմենտի ակտիվության չափանիշ ընդունել ենք ինկուբացիոն միջավայրում անօրդանական ֆոսֆատի բանակի ավելացումը, որն առաջացել է ֆերմենտի դործունեության հետևան-բով՝ ԱՏՖ-երի ճեղջման հաշվին։

Մեր Հետազոտությունները ցույց են տվել, որ միտոքոնդրիաներում օքսիդացիոն ֆոսֆորիլացման վրա լեցիտինի ազդեցությունը երևան է դալիս սկսած 20—25 մկդ/մլ սահմաններում։ Ելնելով այդ տվյալներից, մենք նմուշներում ավելացրել ենք լեցիտինի տարբեր քանակներ՝ 25—150 մկգ/մլ-ում։

Ստացված բոլոր տվյալները հաշվել ենք 1 մգ սպիտակուցի հաշվով [9]։
Փորձերի արդյունքները ցույց են տալիս, որ սաթաթթվի ավելացման դեպքում լեցիտինի ազդեցությամբ հավի սաղմի ուղեղից անջատված միտոքոնդրիաներում թթվածնի կլանումը դանդաղում է, ընդ որում նրա քանակի ավելացմանը զուգընթաց շնչառության թուլացումը ակնառու է դառնում (աղ. 1)։
Ավելացված լեցիտինի ներկայությամբ ուղեղի միտոքոնդրիաներում նման
դինամիկա դիտվում է նաև անօրգանական ֆոսֆատի էսթերիֆիկացման պրոցեսում։ Միտոքոնդրիաներում կլանված թրվածնի և անօրգանական ֆոսֆատի
նշված տեղաշարժերին համապատասխան՝ փոփոխվում է նաև շնչառության
ու էսթերիֆիկացված ֆոսֆատի գործակիցը. ավելացված լեցիտինի քանակին
դուգահեռ P/O-ն աստիճանաբար փոքրանում է։

Մեր նախընթաց աշխատություններում ցույց էր տրվել, որ շնչառական տարբեր ազդակներից (2,4-դինիտրոֆենոլ, խոլաթթու, ամիտալ և այլն) հավի սաղմի ուղեղի և լյարդի միտոքոնդրիաներում օքսիդացիոն ֆոֆորիլացման պրոցեսը տարբեր սուբստրատների օքսիդացման դեպքում ենթարկվում Լտարբեր փոփոխությունների [3, 4]։ Ելնելով այդ տվյալներից, մենք փորձար-կեցինք լեցիտինի աղդեցությունը ուղեղում օքսիդացիոն ֆոսֆորիլացման վրա նաև դլուտամատի ու գամմա-ամինակարագաթթիվի օքսիդացման դեպքում։

Հետազոտություններից ստացված տվյալները ցույց են տալիս, որ գլուտամատի օքսիդացման դեպքում լեցիտինի ազդեցությամբ Տավի սաղմի ուղեղի միտոքոնդրիաներում թթվածնի կլանումն ու ֆոսֆատի Էսթերիֆիկացումը Ճնշվում են և P/O-ն փոքրանում է (աղ. 2)։ Գլուտամատի օքսիդացման դեպքում լեցիտինի 50 մկդ/մլ քանակից սկսած թթվածնի կլանումը նկատելիորեն դանդաղում է։ Մինչդեռ սուկցինատի ներկայությամբ լեցիտինի

Աղյուսակ 1 Լեցիտինի ազդեցությունը հավի սաղմի ուղեղի միտոքոնդրիաներում օքսիդացիոն ֆոսֆորիլացման վրա սուկցինատի ավելացման դեպքում (ΔΟ և ΔΡ մկատոմներով)

Փորձերը Ստուգիչ (առանց լեցիտինի ավելացման)		ΔΟ	ΔΡ	P/O
		3,43±0,22 (6)	5,00 <u>+</u> 0,41 (6)	1,44±0,05 (6)
	25	3,38±0,20 (5)	$\begin{array}{c} 4,86 \pm 0,04 \text{ (5)} \\ T=0,34 \text{ P} > 0,500 \end{array}$	1,45 <u>+</u> 0,07 (5)
I_{f}	50	$3,08\pm0,17$ (5) T=1,2 $P > 0,200< 0,400$	$\begin{array}{cccccccccccccccccccccccccccccccccccc$	1,19±0,10 (5)
Լեցիաին, ժկգ/մլ	75	3,23±0,18 (6)	7.06 ± 0.34 (6) 7=3.2 P $>0.0050.001$	$0,93\pm0,11$ (6) T=4 $P < 0,0010,005$
Լեցիաի	100	$2,89\pm0,16$ (6) T=2 $P>0,050<0,100$	2,35±0,38 (6) T=4,7 P<0,001	0,79±0,01 (6) T=5,4 P<0,001
	125	2,88 <u>+</u> 0,13 (6)	$1,89\pm0,35$ (6) T=5,7 P<0,001	0.65 ± 0.11 (6) T=6 P<0.001
	150	2,96±0,11 (6)	$\begin{array}{ c c c c c c c c c c c c c c c c c c c$	$\begin{array}{c c} 0,49 \pm 0,08 & (6) \\ T = 9 & P < 0,001 \end{array}$

Ազյուսակ 2 Լեցիտինի ազդեցությունը հավի սաղմի ուղեղի միտոքոնդրիաներում օքսիդացիոն ֆոսֆորիլացման վրա գլուտամատի ավելացման դեպքում (ΔΟ և ΔΡ մկատոմներով)

		(======================================		
	Փորձերը	ΔΟ	ΔΡ	P/O
	աուզիչ (առանց լեցի- տինի ավելացման)	3,55 <u>+</u> 0,40 (9)	1,60 <u>+</u> 0,14 (9)	2,16±0,10 (9)
	25	3,57±0,63 (4)	1,57±0,22 (4)	2,22 <u>+</u> 0,13 (4)
	50	1,95 \pm 0,29 (6) T=3 P>0,005	$\begin{array}{c c} 1,26 \pm 0,10 & (6) \\ T=2 & P > 0,050 \\ 0,100 & \end{array}$	$1,50\pm0,11$ (6) T=4 P=0,001
T_F/bh_F	75	$\begin{array}{c ccccccccccccccccccccccccccccccccccc$	$\begin{array}{c c} 1,30\pm0,08 & (8) \\ T=2 & P>0,050 \\ <0,100 \end{array}$	$1,49\pm0,12$ (8) T=4,2 P<0,001
լեցիաին, մկգ/մլ	100	$\begin{array}{c ccccccccccccccccccccccccccccccccccc$	$\begin{array}{c c} 1,10\pm0,09 & (8) \\ T=3 & P>0,005 \\ 0,010 & \end{array}$	$1,36\pm0,11$ (8) T=5,3 P<0,001
	125	$\begin{array}{c ccccccccccccccccccccccccccccccccccc$	$1,08\pm0,03$ (8) T=4 $P=0,001$	$1,16\pm0,16$ (8) T=5,2 P<0,001
: ដូ	150	1,12±0,24 (8) T=4,8 P<0,001	$\begin{array}{c ccccccccccccccccccccccccccccccccccc$	0,99±0,18 (8) T=5,5 P<0,001

ջանակների ավելացմանը զուգընթաց՝ կլանված թթվածնի քանակի պակաաեցումն ընթանում է աստիճանաբար։

Լեցիտինի ներկայությամբ սաղմի ուղեղի միտոքոնդրիաներում օքսիդացիոն ֆոսֆորիլացումը ճնշվում է նաև դամմա-ամինակարագաթթվի ավելացման դեպքում (աղ. 3)։

Աղյուսակ 3 Ղեցիտինի ազդեցությունը Յավի սաղմի միտոքոնդրիաներում օքսիդացիոն Ֆոսֆորիլացման վրա դամմա-ամինակարագաթթվի ավելացման դեպքում (ΔΟ և ΔΡ մկատոմներով)

Փորձերը Ստուգիչ (առանց լեցի~ տինի ավելացժան)		ΔΟ	ΔΡ	P/O
		0,76±0,04 (4) T=0,71 P=0,500	0,99 <u>+</u> 0,17 (4)	1,27±0,18 (4)
	25	0.71 ± 0.06 (4) T=1 $P < 0.400$	$0,90\pm0,07$ (4) T=0,5 $P < 0,200< 0,400$	1,31 <u>+</u> 0,21 (4)
7	50	$ \begin{array}{c c} 0,66 \pm 0,03 & \textbf{(4)} \\ T = 2 & P > 0,050 \\ 0,100 & \end{array} $	$0,67\pm0,02$ (4) T=1,8 P=0,100	T=1,2 $P>0,2000,400$
լևցիաին, ժկպ/ժլ	75	0,72 <u>+</u> 0,03 (4)	0.58 ± 0.16 (4) T=2.0 $P>0.050<0.100$	0.80 ± 0.26 (4) T=1.6 P>0.100 0.200
Լեցիաին	100	$0,59\pm0,03$ (4) T=3,4 P=0,010		0.56 ± 0.07 (4) T=3.2 $P>0.010<0.025$
	125	$ \begin{array}{c c} 0,58\pm0,03 & (4) \\ T=3,6 & P>0,005 \\ <0,010 \end{array} $	$ \begin{array}{c ccccccccccccccccccccccccccccccccccc$	$\begin{array}{c ccccccccccccccccccccccccccccccccccc$
	150	$\begin{array}{c ccccccccccccccccccccccccccccccccccc$	$ \begin{array}{c ccccccccccccccccccccccccccccccccccc$	$0,40\pm0,05$ (4) T=4 P=0,005

Պետք է նշել, որ այն նմուշներում, որտեղ բացակայում է օքսիդացման տուբստրատը 150 մկդ/մլ լեցիտինի ներկայությամբ, ստուգիչի համեմատութիյամբ ուղեղի միտոքոնդրիաներում թթվածնի կլանումը փոփոխության չի ենթարկվում (աղ. 4)։ Այդ պայմաններում գրեթե ոչ մի փոփոխության չի ենթարկվում նաև անօրգանական ֆոսֆատի էսթերիֆիկացումը։

Աշխատանթի մի մասը կազմել է լեցիտինի ազդեցության հետազոտությունը ԱՏՖ-ազային ակտիվության վրա։ Բերված տվյալներից երևում է, որ լեցիտինի տարբեր ջանակների ներկայությամբ հավի սաղմի ուղեղի միտոբոնդրիաներում ԱՏՖ-ազային ակտիվությունն աստիճանաբար բարձրանում է (աղ. 5)։

Այսպիսով, հետազոտություններից ստացված արդյունջները ցույց են տալիս, որ լեցիտինի աղդեցությամբ հավի սաղմի ուղեղի միտոջոնդրիաներում օջսիդացիոն ֆոսֆորիլացման պրոցեսը հեղջվում է, սակայն շնչառությունը չի խթանվում։ Միաժամանակ միտոջոնդրիաներում անօրգանական ֆոսֆատի էսթերիֆիկացման պրոցեսն ավելի ուժեղ է ենթարկվում լեցիտինի

Биологический журнал Армении, XXIII, № 2—3

Илупиши

Լեցիտինի ազդեցությունը հավի սաղմի ուղեղի միտոքոնդրիաներում օքսիդացիոն ֆոսֆորիլացման վրա սուկցինատի ավելացման և նրա բացակայության պայմաններում (ΔΟ և ΔΟ մկատոմներով)․

<i>Փորձերը</i> •	ΔΟ	ΔΡ**
Լրիվ ինկուրացիոն խառնուրդ» + 150 մկգ լե- ցիտին, առանց օջսիզացվան սուրստրատի	0,41±0,05 (6)	0.82 ± 0.03
Լրիվ ինկուրացիոն խառնուրդ առանց օջսիդաց- ման սուրստրատի և լեցիտինի ավելացման	0,36±0,02 (8)	$0,69 \pm 0,04$

^{*} Ինկուբացիոն խառնուրդը պարունակել է՝ օքսիդացման սուբստրատ՝ 50 մկմոլ, կալիում ֆոսֆատ՝ 40, KCl-100, MgCl $_2-10$, գլյուկողա՝ 150, USՖ՝ 3 մկմոլ և 0,5-0,7 մգ բյուրև-ղական հեքսոկինադա (խառնուրդի ծավալը՝ 2 մլ)։

ՄՀ-դ յ ո ւ ս ա կ 5 Լեցիտինի աղդեցությունը հավի սաղմի ուղեղի միտոջոնորիաներում ԱՏՖ-ֆոսֆոհիդրոլազային ակտիվության վրա

Փորձերը		ΔΡ ժկատոժներով	
Ų,	ոուդիչ	2,69 <u>+</u> 0,13	
Լեցիտին, մգկ/մլ	50 100 150	$\begin{array}{c} 2,72 \pm 0,15 \text{ (5)} \\ T = 0,\overline{15} \text{ P} < 0,500 \\ 2,87 \pm 0,16 \text{ (5)} \\ T = 0,90 \text{ P} > 0,200 \\ < 0,400 \\ 3,03 \pm 0,16 \text{ (6)} \\ T = 1,7 \text{ P} > 0,100 \\ < 0,200 \\ \end{array}$	

աղդեցությանը, քան թթվածնի կլանումը, որի հետևանքով P/O-ն փոքրանում է։ Այդ պրոցեսում մակրտէրդերի արագ քայքայմանը նպաստում է նաև ԱՏՖաղայի ակտիվության բարձրացումը։

Հայկական ՍՍՀ ԳԱ բիոքիմիայի ինստիտուտ

Ստացված է 1.X 1968 թ.

А. А. СИМОНЯН

ИНТЕНСИВНОСТЬ ДЫХАНИЯ И ОКИСЛИТЕЛЬНОГО ФОСФОРИЛИРОВАНИЯ В МИТОХОНДРИЯХ МОЗГА КУРИНОГО ЭМБРИОНА ПОД ВЛИЯНИЕМ ЛЕЦИТИНА

Резюме

В наших предыдущих исследованиях было показано, что в конце онтогенетического развития куриного эмбриона в ткани печени имеет

^{**} Աղատ ֆոսֆատի քանակը։

тесто процесс накопления жиров и образования липопротеиновой фракции [1, 2]. Одновременно в присутствии этой фракции в опытах іп vitrо в митохондриях мозга и печени сопряженное окислительное фосфорилирование разобщается. Исследования по изучению содержания липопротенновой фракции выявили большое количество фосфолипидов, в том числе и лецитинов. В литературе имеются данные [10, 11] о разобщающем действии лецитинов в процессе дыхания и окислительного фосфорилирования. Однако аналогичных данных в тканях развивающегося куриного эмбриона нет. Мы задались целью изучить влияние различных количеств лецитина на интенсивность дыхания и окислительного фосфорилирования, а также на АТФ-фосфогидролазную активность в митохондриях мозга 15—17-дневных куриных эмбрионов.

Результаты, полученные из опытов, показывают, что при добавлеши различных субстратов окисления (янтарная кислота, глутамат, гамша-аминомасляная кислота) под влиянием лецитина (25—150 мкг/мл)
процесс сопряженного окислительного фосфорилирования в митохондриях мозга куриного эмбриона разобщается, однако дыхание не стимушируется. При добавлении лецитина угнетение процесса сопряжения неорганического фосфата превалирует над поглощением кислорода митожондриями, результатом чего является постепенное уменьшение коэффициента Р/О. Интенсивному распаду макроэргов в присутствии лецишина способствует и повышение активности АТФ-азы.

ዓ ቦ Ա Կ Ա Ն በ Ի Թ Ց በ Ի Ն

- **1. Сим**онян А. А. Известия АН АрмССР (сер. биол.), т. 18, 11, 1965.
- 2. Симонян А. А. ДАН АрмССР, т. 41, 5, 1965.
- 3. Սիմ ո՞ն լա ն Ա. Ա. Օջսիդացիոն ֆոսֆորիլացումը հավի սաղմի ուղեղի և լյարդի միտոջոնդրիաներում էմբրիոդենեղի ընթացջում և հետսաղմնային շրջանում։ Թեկնածուական դիսերտացիա, Երևան, 1966։
- 4. Симонян А. А. Биологический журнал Армении, XX, 4, 1967.
- **5.** Скулачев В. П. Соотношение окисления и фосфорилирования в дыхательной цепи. Изд. АН СССР, М., 1962.
- 6. Habermann E. Naturwissenschaften, 18, 429, 1954.
- Mandel P., Borkowski S., Harth S. T., Mardell R. J. Neurochem., 8, 126, 1961.
- **8.** Lowry O. H., Lopez J. A. J. Biol. Chem., 162, 421, 1946.
- Lowry O. H., Rosebrough N. J., Farr A. L., Randall R. J. Biol. Chem., 193, 265, 1951.
- Petrushka E., Quastel J. H., Scholefield P. G. Canadian J. of biochemistry and physiology, 37, 8, 989, 1959.
- 11. Petrushka E., Quastel J., Scholefield P. G. Canadian J. of biochemistry and physiology, 37, 8, 975, 1959.
- 12 Pell J. L., Loughman B. C. Biochem, J., 65, 709, 1957.
- 13. Slater E. C. Internat. symposium on enzyme chem., Tokyo—Kyoto, 230, 1957.

T. XXIII, № 2, 1970

УЛК 577.3:547

Г. А. ПАНОСЯН

СПЕКТРОФОТОМЕТРИЧЕСКОЕ ИССЛЕДОВАНИЕ ВЗАИМОДЕИСТВИЯ ГИСТОНОВ И ИХ ФРАКЦИИ С НЕКОТОРЫМИ КРАСИТЕЛЯМИ

Регуляторная роль гистонов предполагает наличие в клетках большого количества гистоновых молекул, отличающихся друг от друга по своему аминокислотному составу и последовательности аминокислот. Биологическая активность гистонов должна зависеть от расположения вдоль полипептидной цепочки активных группировок, таких как аргинин, лизин и др.

В связи с этим определение гетерогенности гистонов, наличие различных гистоновых фракций в клетке, тканевой и видовой специфичности гистоновых фракций представляется чрезвычайно важным.

В литературе имеются данные, указывающие на наличие в клетках нескольких хорошо определяемых фракций гистонов [5, 11]. Однако до сих пор не доказана тканевая или даже видовая специфичность гистоновых фракций. Хотя и между гомологичными фракциями, выделенными из различных источников, обнаруживаются некоторые различия, тем не менее они не могут считаться достоверными.

Причиной подобной картины являются попытки исследователей установить гетерогенность и специфичность гистонов при помощи определения аминокислотного состава гистоновых фракций. Но данный подход слишком груб для того, чтобы можно было либо утверждать либо, наоборот, отрицать гетерогенность или специфичность гистонов.

Единственным методом, который может непосредственно ответить на вопрос о наличии специфичности гистонов, является определение аминокислотной последовательности в полипептидной цепочке гистоновой молекулы. Однако в настоящее время рано говорить о подобного рода исследованиях, поскольку пока никому не удалось выделить индивидуальный чистый гистон, что является первым необходимым этапом определения аминокислотной последовательности белковой молекулы.

Имеются другие, косвенные методы для определения особенностей гистонов или их фракций, выделенных из различных источников. К таковым относится целый ряд физических и физико-химических методов исследования (электрофорез, ионообменная адсорбция и т. п.). Но и эти методы в основном могут быть использованы для обнаружения различий двух или нескольких гистоновых фракций, являющихся результа-

том скорее аминокислотного состава, чем аминокислотной последова-

Однако имеется одна довольно интересная возможность в какой-томере обнаружить различия между полипептидными цепочками, отличающимися аминокислотной последовательностью, а не составом аминокислот.

Суть идеи заключается в следующем. Если мы имеем две белковые молекулы, отличающиеся только аминокислотной последовательностью, то можно ли обнаружить различия между ними, присоединяя к ним какой-либо дополнительный индикатор, исследование свойств которогокак в отсутствии белковой молекулы, так и при наличии ее может дать нам информацию о различной аминокислотной последовательности при сходном аминокислотном составе, т. е. обнаружить различия там, где это невозможно сделать ни химическими, ни другими принятыми физическими методами. Эти индикаторы должны обладать способностью изменять некоторые свои свойства (которые и должны быть исследованы) в зависимости от того, к какой части белковой молекулы они присоединились, как далеко друг от друга отстоят присоединенные к полипептидной цепочке идентичные молекулы индикатора и т. п.

Нам кажется, что подобными индикаторами могут служить хорошо известные как биологам, так и химикам и физикам соединения, поглощающие свет в видимой области, т. е. красители.

Какие у нас имеются основания считать, что красители именно те вещества, которые могут быть использованы для этой цели?

Они широко применяются в биологии для окрашивания клеток и тканей, а также субклеточных структур (витальное окрашивание, люминесцентная микроскопия и др.). Кроме того, установлено, что красители обладают биологической активностью: некоторые из них проявляют бактерицидный эффект [24], другие тормозят развитие опухоли и ингибируют ряд ферментативных систем [1, 31], третьи сами вызывают образование опухоли [20], а четвертые обладают мутагенной активностью [23].

Как цито- и гистохимическое использование, так и биологическая активность красителей частично основана на их способности связываться с белками. В некоторых случаях даже точно доказана корреляция между токсическим эффектом красителя и его способностью связываться с белками [4].

Процесс взаимодействия красителя с белком сложен и разнообразен и зависит от многих факторов (концентрации красителя и белка, рН среды, наличия солей и т. д.) [1—3, 6—9, 13].

Для нас особенно важно, что на процесс взаимодействия красителя с белками существенное влияние оказывает строение самого полимера и происходящие при этом изменения оптических свойств красителя, что легко обнаруживается обычными спектральными методами.

О том, что красители, связываясь с белками, меняют свои оптические свойства, было известно уже давно из гистохимических работ. Этот

феномен был назван метахромазией, под которой понималось изменение цвета красителя при взаимодействии с высокомолекулярными веществами [13].

В дальнейшем это явление было исследовано более подробно уже в модельных опытах с использованием простых систем: смеси красителей и белков в водном или солевых растворах [3, 13].

. Было показано, что спектры поглощения и флуоресценции красителей меняются в присутствии различных белков [6—9]. Эти изменения проявляются либо в сдвиге максимумов поглощения, либо в изменении интенсивности максимумов. Изменяется также длительность возбужденного состояния флуоресцирующего красителя и соотношение его мономерных и димерных форм, что в конечном счете сказывается на их спектрах поглощения.

О роли структуры белка, или вообще полимера, в комплексообразовании с красителем говорит уже само основное условие комплексообразования—наличие молекул с достаточно большим числом заряженных групп [13].

Известно, что для образования комплекса белок-краситель существенное значение имеет структура элементарных звеньев полимера. Необходимо, чтобы молекула полимера имела минимальную плотность заряда на поверхности молекулы, что соответствует минимальному расстоянию в 3—5 Å между соседними заряженными группами [13]. Крометого, большое значение должна иметь вторичная и третичная структуры молекулы полимера, которые обеспечивают ее гибкость, необходимую для «подгонки» расстояния заряженных групп полимера к расстоянию между молекулами красителя [18].

Все сказанное говорит в пользу перспективности использования красителей в качестве индикаторов для определения различий в амино-кислотной последовательности между двумя белковыми молекулами, имеющими одинаковый, или почти одинаковый, аминокислотный состав, поскольку плотность поверхностного заряда молекулы, характер распределения этого заряда определяются именно аминокислотной последовательностью.

Что нам известно о взаимодействии гистонов с красителями?

В литературе имеется целый ряд гистохимических исследований, где применяются некоторые анионные красители для определения локализации гистонов в клетке [17, 28]. Очень мало данных о взаимодействии гистонов и красителей в растворе. Леб [22] исследовал взаимодействие эозина с нефракционированным гистоном и некоторыми его фракциями, отличающимися содержанием аргинина и лизина. Лоуренс [21] исследовал взаимодействие нефракционированного гистона (НФГ) тимуса теленка и его фракций с 8-анилинонафтален-1-сульфоновой кислотой. Тот же краситель был использован другими авторами [26] для определения количества белка. Перед нами была поставлена задача исследовать характер и условия взаимодействия различных фракций гистонов с целым рядом красителей.

В настоящем сообщении мы приводим результаты серии опытов по спектрофотометрии смесей трех красителей (флуоресцеина натрия, януса черного и зеленого светлого) с различными фракциями гистона тимуса теленка и гистонами, выделенными из опухолевых клеток. Предварительное сообщение было сделано ранее [12].

Методы исследования. В опытах были использованы нефракционированный гистон (Н Φ Г) тимуса теленка и пять его фракций F_1 . F_{2-1} . F_{2-2} , F_{2B} и F_{3} любезно предоставленных нам доктором Филлипсом (Институт по исследованию рака им. Честер Битти Лондонского университета), и НФГ, выделенный нами прямой кислотной экстракцией из дезоксинуклеопротеида двух штаммов асцитной саркомы Иошида, отличающихся чувствительностью к алкилирующим агентам (S- и R-штаммы, чувствительный и резистентный к азотистому иприту и сарколизину) [29, 30]. Очищенные ядра клеток этих двух линий саркомы были получены доктором Т. Коннорсом и сотр. (из того же института). Изолированные ядра разрушали в микроразмельчителе в физиологическом растворе. К очищенному таким образом от растворимых белков осадку, содержащему дезоксирибонуклеопротеид, добавляли 0,25 М раствор соляной кислоты и экстрагировали при медленном помешивании на холоде в течение 18—20 час. Полученный экстракт просветляли пропусканием через бактериальный фильтр. Гистоны из этого экстракта осаждали добавлением шести объемов холодного ацетона, осадок трижды промывали ацетоном и высушивали под вакуумом.

Для сравнения был использован бычий кристаллический сывороточный альбумин.

В качестве красителей были использованы флуоресцеин натрия (Fluoresceinum sodium В. Р., английский препарат BDN, LTD), янус черный (Janus Black, Goerge T. Gurr, английский препарат) и зеленый светлый (Light Green SF Yellowish, Edward Gurr LTD, Michrome, английский препарат).

Спектрофотометрия проводилась на спектрофотометре Perkin-Elmer модели UV 137, дающем возможность измерять оптическую плотность начиная с 190 ммк. Определяли спектры поглощения растворов красителя и смеси краситель+белок в дистиллированной воде, рН около 5,8—6,0. Концентрация белка во всех случаях—12,5 мкг/мл, красителя—от 2,5 мкг/мл до 17,5 мкг/мл (концентрации, дающие при разных максимумах оптические плотности, не превышающие 1,0—1,2).

Результаты. а) Флуоресцеин натрия. Спектр поглощения использованного нами препарата флуоресцеина натрия имеет пять максимумов: при длинах волн 1935 Å, 2315 Å, 2730 Å, 3120 Å 4760 Å. Соотношение молярных экстинкций при данных максимумах равно приблизительно 1,0:0,64:0,26:0,13:0,36. На рис. 1 приведены результаты измерения поглощения красителя и смеси краситель-белок при всех пяти максимумах (за 100% принята оптическая плотность красителя в водном растворе в отсутствии белка). Наибольшая разница между оптическими плотностями красителя и смеси красителя с соответству-

ющим белком наблюдается при λ_{1935} . При λ_{2315} все исследованные белки слегка понижают оптическую плотность флуоресценна натрия, за исключением F_{2a1} фракции, которая не влияет на оптическую плотность красителя. При λ_{2730} все фракции гистона тимуса теленка и альбумин не влияют на оптическую плотность красителя, за исключением F_3 фракции и

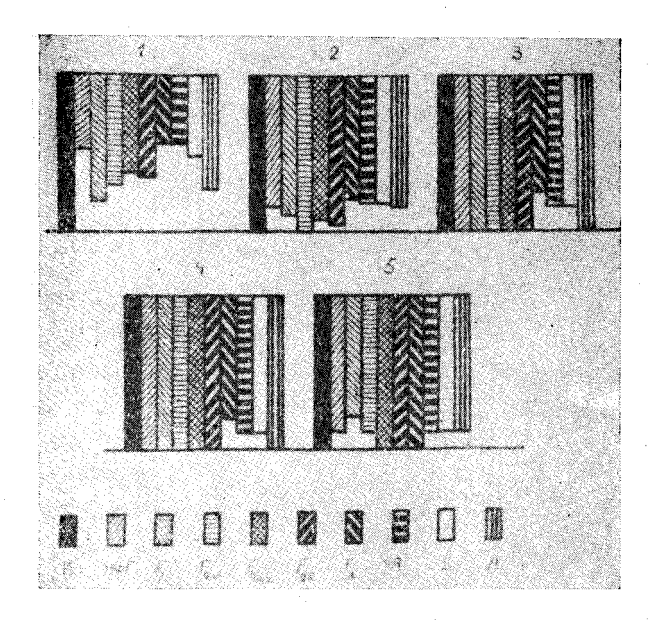


Рис. Т. Влияние наличия белков на оптическую плотность при максимумах поглощения флуоресценна натрия. $1-\lambda_{1935}$, $2-\lambda_{2315}$, $3-\lambda_{3120}$, $4-\lambda_{3120}$, $5-\lambda_{4760}$; К — краситель. Концентрация белка — 12,5 мкг/мл, концентрация красителя — от2,5 мкг/мл до 17,5 мкг/мл.

S- и R-гистонов. Только эти три белка уменьшают оптическую плотность флуоресцеина натрия и при λ_{3120} . При λ_{4760} уже три других белка, F_{2a1} , F_{2b} и F_3 не влияют на поглощение света красителем. Таким образом, для флуоресцеина наиболее чувствительной областью в отношении угнетающего действия белков на оптическую плотность является область далекого ультрафиолета с максимумом поглощения λ_{1935} . В данной области разные фракции гистонов приводят к разной степени уменьшения оптической плотности флуоресцеина. Эта реакция не специфична для гистонов, поскольку альбумин обладает подобным эффектом.

б) Янус черный. Спектр поглощения януса черного имеет три максимума поглощения: при длинах волн 1940 $\mathring{\bf A}$ 2850 $\mathring{\bf A}$ и 6000 $\mathring{\bf A}$ с соотношением оптических плотностей при данных максимумах 1,0:0,31: 0,34. На рис. 2 (1—3) приведены величины оптических плотностей януса черного в отсутствии и в присутствии гистонов и альбумина. Гипохромный эффект наблюдается только при λ_{1910} ; где имеется одно исключение— F_{2a1} фракция; в отличие от всех остальных фракций гистона и альбумина она вызывает гиперхромный эффект. При остальных двух максимумах регулярно обнаруживается гиперхромный эффект.

в) Зеленый светлый. Наиболее интересными оказались результаты, полученные с зеленым светлым. Спектр поглощения этого врасителя имеет четыре максимума: при 1940 Å, 3165 Å, 4260Å, и 6330 Å, с отношением оптических плотностей при данных максимумах 1,0:0,23:

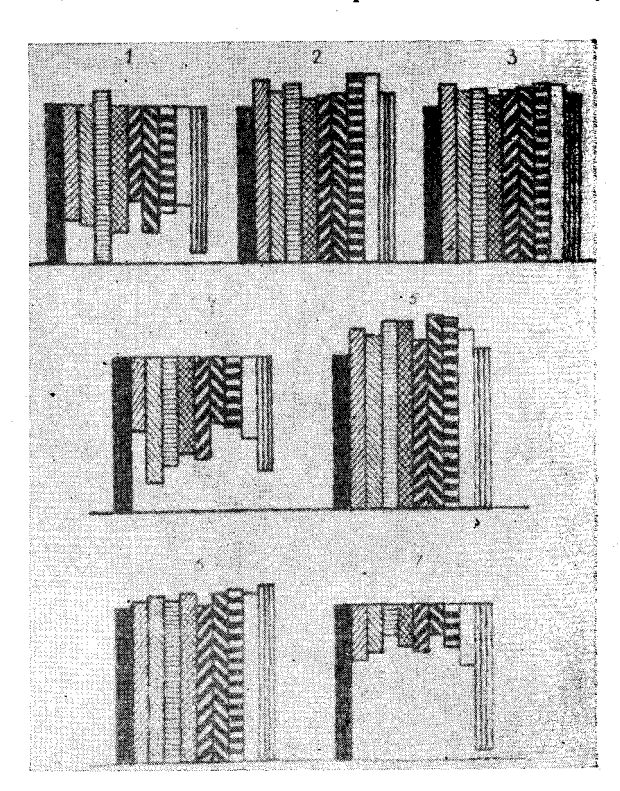


Рис. 2. Влияние наличия белков на оптическую плотность при максимумах по-глощения януса черного и зеленого светлого. 1—3—янус черный, 4—7— зеленый светлый: $1-\lambda_{1949},\ 2-\lambda_{2850},\ 3-\lambda_{6000},\ 4-\lambda_{1940},\ 5-\lambda_{3165},\ 6-\lambda_{4260},\ 7-\lambda_{6336}$. Обозначения те же, что и на рис. 1.

0,18: 0,47. На рис. 2 (4—7) приведены относительные оптические плотности смесей различных гистоновых фракций с зеленым светлым приметырех максимумах. При λ_{1910} , как и в случае с двумя другими красителями, наблюдается гипохромизм для всех исследованных белков. Примерух следующих более длинноволновых максимумах — λ_{3165} и λ_{4260} — наоборот, наблюдается гиперхромный эффект. В отличие от первых двух красителей, зеленый светлый в присутствии белков уменьшает оптическую плотность в самой длинноволновой области — λ_{6330} , причем данный гипохромный эффект, по-видимому, специфичен для гистонов, поскольку альбумин в этой области вызывает лишь незначительное уменьшение оптической плотности зеленого светлого.

В табл. 1 приведена степень уменьшения оптической плотности зеленого светлого для разных гистонов и зависимость этого изменения от количества аргинина и лизина в этих белках (аминокислотный состав фракций гистонов приведен по [25], а альбумина—по [16]).

Таблица 1 Гипохромный эффект зеленого светлого при λ_{6336} , вызванный различными белками и зависимость этого эффекта от количества аргинина и лизина

Белок	Аргинин, ⁰ / ₀	Ли з ин, ⁰ / ₀	⁰ / ₀ гипохром- ности
НФГ	9,2	15,6	65
F_1	1,8	26,8	70
F_{2a1}	12,8	10,1	80
F _{2a2}	9,9	11,2	73
F_{2B}	8,0	14,2	70
F ₃	11,8	9,9	80
Альбумин	3,9	9,3	6

Как показывают данные, приведенные в таблице, гипохромный эффект зависит от содержания аргинина и лизина в молекуле белка. Максимальный гипохромный эффект наблюдается при добавлении к красителю F_{2a1} и F_3 фракций, которые содержат соответственно 12,8 и 11,8% аргинина. Отсюда можно было бы предположить, что гипохромный эффект зависит от количества аргинина в молекуле. Однако во фракции F_1 имеется слишком мало аргинина—1,8%, но в этом случае мы не имеем минимального гипохромного эффекта. Но фракция F_1 содержит 26,8% лизина. Весьма вероятно, что слишком большое содержание его в молекуле компенсирует недостаток аргининовых остатков.

Необходимо также отметить, что уменьшение оптической плотности зеленого светлого в смеси с гистоном сопровождается также сдвигом максимума поглощения в сторону длинных волн.

Обсуждение результатов. Приведенные нами результаты показывают, что между различными красителями и разными гистоновыми фракциями, с одной стороны, а также между нефракционированными гистонами, выделенными из различных источников,—с другой, существует определенное взаимодействие при их смешивании, которое отражается на их суммарном спектре поглощения в области 190—650 ммк.

Оптическая плотность при каждом максимуме одного и того же красителя изменяется по-своему. При всех трех красителях наблюдается гипохромный эффект к области первого максимума—1930—1940 Å. В этой области лишь в случае применения януса черного отсутствует гипохромный эффект у альбумина и наблюдается гиперхромный эффект у F_{2a} фракции гистона тимуса теленка.

Очень интересным оказался факт почти полного совпадения сравнительной картины гипохромного эффекта исследованных белков в области далекого ультрафиолета (1940 Å) для двух красителей—флуоресценна натрия и зеленого светлого (ср. рис. 1, 1 и рис. 2, 4). Это говорит о том, что при более подробном исследовании далекой ультрафиолетовой области с использованием более широкого набора красителей и ги-

стоновых и негистоновых белков возможно будет уловить зависимость гипохромного эффекта от структуры белковой молекулы.

Несколько сложнее интерпретация данных по гиперхромному эффекту, наблюдаемому в случаях использования януса черного и зеленого светлого (рис. 2—2, 3 и 5, 6).

При λ_{6330} с использованием зеленого светлого замечается явно специфический гипохромизм в отношении всех исследованных гистонов при почти полном отсутствии гипохромного эффекта в случае альбумина. Говорить что-либо определенное о зависимости гипохромного эффекта от аминокислотного состава белковых молекул преждевременно.

Таким образом, исследованы спектры поглощения смесей трех красителей—флуоресцеина натрия, януса черного и зеленого светлого—с нефракционированным гистоном тимуса теленка и опухолевых клеток крыс, а также пятью фракций гистона тимуса теленка.

Обнаружено, что в водном растворе спектры поглощения смесей красителей и белков несколько изменены по сравнению со спектром поглощения чистых красителей. Эти изменения зависят как от вида красителя, так и вида белка.

Институт экспериментальной биологии АН АрмССР

Поступило 2.XI 1968 г.

Գ. Հ. ՓԱՆՈՍՅԱՆ

ՈՐՈՇ ՆԵՐԿԵՐԻ ՀԵՏ ՀԻՍՏՈՆՆԵՐԻ ՈՒ ՆՐԱՆՑ ՖՐԱԿՑԻԱՆԵՐԻ ՓՈԽԱԶԳԵՑՈՒԹՅԱՆ ՍՊԵԿՏՐԱՖՈՏՈՄԵՏՐԻԿ ՀԵՏԱԶՈՏՈՒԹՅՈՒՆԸ

Ամփոփում

Հետազոտված են երեք ներկերի՝ նատրիում ֆլուորեսցեինի, յանուս սևի և բաց կանաչի կլանման սպեկտրները, ինչպես նաև այդ ներկերի խառնուրդ-ները հորթի թիմուսային հիստոնի, սրա հինգ ֆրակցիաների ու առնետների ուռուցքային բջիջների հետ։ Ցույց է տրված, որ ներկերի և հիստոնների ջրային լուծույթների խառնուրդներում կլանման սպեկտրները, համեմատած հիստոն չպարունակող ներկերի լուծույթների կլանման սպեկտրների հետ, որոշ չափով փոփոխված են։ Այդ փոփոխությունները կախված են ինչպես ներկի, այնպես էլ հիստոնի տեսակից։

ЛИТЕРАТУРА

- 1. Браун А. Д. ДАН СССР, 62, 263—266, 1948.
- 2. Браун А. Д. Биохимия, 13, 409-416, 1948.
- 3. Браун А. Д. Биохимия, 16, 399-409, 1951.
- 4. Браун А. Д., Фельдман Н. Л. ДАН СССР, 68, 757-760, 1949.
- 5. Буш Х. Гистоны и другие ядерные белки, ИЛ, 1967.
- 6. Карякин А. В., Чмутина Л. Д. Изв. АН СССР, Сер. физ., **27, 791, 1963**.
- 7. Қарякин А. В., Чмутина Л. Д. Биофизика, **9,** 515—518, 1964.
- 8. Қарякин А. В., Чмутина Л. Д. Биофизика, **9, 666—670, 1964**.

- 9. Қарякин А. В., Чмутина Л. Д. В кн.: Молекулярная биофизика, М., 228—234, 1965.
- 10. Кондакова Н. В., Эйдус Л. Х. В кн.: Молекулярная биофизика, М., 217—228, 1965.
- 11. Паносян Г. А. Биологический ж. Армении, 20, 9, 8—19, 1967.
- 12. Паносян Г. А. Матер. второй научной конф. Института экспер. биологии АН АрмССР, 14—16, 1968.
- 13. Савастьянова М. В. Успехи химии, 32, 1233—1269, 1963.
- 14. Сапежинский И. И., Силаев Ю. В., Кузнецова А. В. В кн.: Биоэнергетика и биологическая спектроскопия, М., 26—28, 1967.
- Чмутина Л. А., Карякин А. В. В кн.: Молекулярная биофизика, М., 234— 240, 1965.
- 16. Юз У. В кн.: Белки, под. ред. Г. Нейрата и К. Бейли, 301-405, 1958.
- 11. Alfert M., Geschwind F. F. Proc. Natl. Acad. Sci, 39, 10, 991, 1953.
- 18. Brabley D. F., Felseenfeld G. Nature, 184, 1920, 1959.
- Endo H., Tohda H., Tada M. Sci. Rept. Res. First., Tonaki Univ. ser. C 11 (2), 192, 1963.
- 20. Gross E. Z. Krebforsch. 64, 287, 1961.
- 21. Laurence D. J. R. Biochem. J., 99, 419, 1966,
- 22. Loeb J., C. R. Acad. Sci, Paris, 258, 5087, 1964.
- 23. Lueck H., Wallnoefer P., Bach H. Pathol. Microb. 26, 206, 1963.
- 24. Michaelis L. Einführung in die Farbstaffchemie Für Histologen, Berlin, 1902.
- Phillips D. M. P. Abst. of a meeting of Brit. Biophys. Soc. on Phys. Studies, of Basic Mol., 1, 1966.
- 26, Shepperd G. R., Noland B. J. Anal. Biochem. 11, 443, 1965.
- 27. Sone K. Nippon Negeikagaku Kaishi, 36 (1), 7, 1962.
- 28. Swift H. In "The nucleohistons", p. 169, 1964.
- 29. Ujhazy V. Winkler A. Neoplasma, 12, 11, 1965.
- 30. Ujhazy V., Winkler A. Folia biologica (Praha), 11, 434, 1965.
- 31. Weil L., Scibls S. Arch. Biochem. Biophys. 54, 368, 1955.

T. XXIII, № 2, 1970

УДК 582.287.238

Дж. Г. МЕЛИК-ХАЧАТРЯН, Дж. Г. АБРАМЯН, М. Л. ГАСПАРЯН

ВЛИЯНИЕ ВОДНОГО ЭКСТРАКТА ПЛОДОВЫХ ТЕЛ ШЛЯПОЧНЫХ ГРИБОВ НА МИКРОФЛОРУ РАНЕВОГО ОТДЕЛЯЕМОГО ХИРУРГИЧЕСКИХ БОЛЬНЫХ

Исследования последних лет показали, что шляпочные грибы представляют интерес как продуценты антибиотических веществ [4]. Это свойство данных грибов наводит на мысль о возможности их использования в лечебных целях, особенно если учесть, что по отношению к уже существующим антибиотикам нередко развиваются устойчивые штаммы гноеродных бактерий, а в ряде случаев у пациентов вырабатывается аллергия к наиболее распространенным из них—пенициллину, стрептомицину и т. д. Примером успешного применения в клинике антибиотика, выделенного из агариковых грибов, могут послужить работы Бозе [5], лечившего тифозных больных фильтратом из Agaricus campestris Sing.

С целью качественного выявления антибиотической активности водного экстракта плодовых тел шляпочных грибов в отношении микрофлоры раневого отделяемого хирургических больных нами были испытаны грибь из порядка Agaricales. Экстракты были взяты в трех концентрациях (концентрированный раствор, 10-кратное и 100-кратное разведение). Методика приготовления водного экстракта приводится в ранее опубликованных материалах [3]. Исследование влияния на микрофлору произведено по методу бумажных дисков [1, 2]. Микрофлора раневого отделяемого выделена из ран трех больных хирургического отделения IV клинической больницы г. Еревана. Из раневого отделяемого были выделены культуры грамположительных стрепто-стафилококков и грамотрицательных бактерий кишечной группы. Борьба с инфекциями стафилококковой этиологии сопряжена с трудностями, ибо они быстро вырабатывают полиустойчивые патогенные штаммы. Поэтому есть смысл искать новые активные антибиотики.

В настоящей работе приведены результаты изучения действия водных экстрактов на патогенную микрофлору in vitro. Параллельно определялась чувствительность к антибиотикам. По чувствительности к антибиотическим веществам, содержащимся в агариковых грибах, микроорганизмы могут быть подразделены на группы: слабочувствительные, чувствительные, резкочувствительные и нечувствительные.

Больной А. оперирован по поводу острого аппендицита 2.II.1968 г. Послеоперационный период осложнился нагноением раны. Культура выделена из раневого отделяемого 9.II.1968 г. Посев на МПА и воздей-

ствие водного экстракта произведено 11.II.1968 г. Микрофлора раны представлена грамположительными стрепто-стафилококками. Контрольными антибиотиками были взяты пенициллин, тетрациклин, левомицетин, стрептомицин, биомицин и хлортетрациклин. Из испытанных 14 видов агариковых грибов антибиотическую активность проявили 12. Не оказались активными только Clitocybe nebularis (Fr.), Quel и Lactarius deliciosus (Fr.) S. F. Gray. Активность водного экстракта и контрольных антибиотиков неодинакова. Стрепто-стафилококки, выделенные из раневого отделяемого, к перечисленным антибиотикам оказались слабочувствительными (рис. 1). Между тем к концентрированному экстракту Lepista nuda (Fr.) W. G. Sm. стрепто-стафилококки не чувствительны, к 10-кратному и 100-кратному разведению Collybia dryophila (Fr.) Quel.— слабочувствительны, к 10-кратному разведению — нечувствительны (рис. 2).

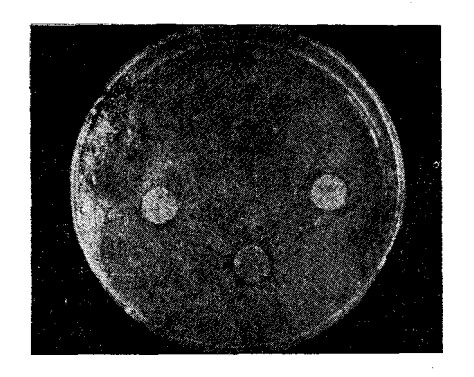


Рис. 1. Чувствительность стрептостафилококков к антибиотикам хлортетрациклин, тетрациклин, биомицин и пенициллин.

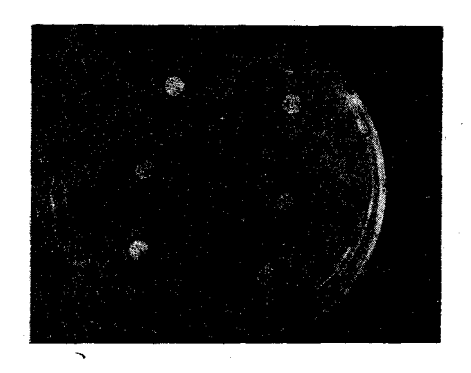


Рис. 2. Чувствительность стрепто-стафилококков к экстракту Lepista nuda: (первые три по вертикали) и Collybia ryophia.

Как явствует из табл. 1, водные экстракты плодовых тел Laccaria laccata (Fr.) Berk., Suillus granulatus (Fr.) Kuntze, S. luteus (Fr.) S. F. Gray, Lepista nuda (Fr.) W. G. Sm., Agaricus campestris Sing., Stropharia aeruginosa (Fr.) Quel. показали большую активность, чем пенициллин, тетрациклин, левомицетин, стрептомицин, биомицин, хлортетрациклин, причем к 10-кратному разведению водного экстракта St. aeriginosa грамположительные стрепто-стафилококки оказались резкочувствительными.

Больной Б. поступил 29.І.1968 г. с размозженной раной правого предплечья и кисти. Культура выделена 9.ІІ.1968 г. Посев на МПА и воздействие водным экстрактом произведены 11.ІІ.1968 г. Микрофлора раны представлена грамположительными стрепто-стафилококками. Контрольные антибиотики те же. Из испытанных 14 видов агариковых грибов активными оказались 12, не проявили активности Pleurotus eryngii (Fr.) Quel. и Agaricus campestris Sing. (табл. 2).

Таблица Чувствительность грамположительных стрепто-стафилококков больного А. к экстракту и антибиотикам

•		Конце	Антибио-		
Гриб-продуцент	¥	концентри- рованный	10-кр. раз- ведение	100-кр. раз- ведение	THE IT IS
Agaricus campestris Agrocybe dura Clitocybe infundibuliformis Collybia dryophila Gomphidius rutifus Laccaria laccata Lepista nuda Pleurotus eryngii Stropharia aeruginosa Suillus granulatus S. luteus Tricholoma terreum		++ ++ ++ ++ ++ ++ ++ ++ ++ ++ ++	++ + ++ +- ++ ++ ++	++ + + + + + + + + + + + + + + + + + +	+++++++++++++++++++++++++++++++++++++++

- + слабочувствительные,
- +++ резкочувствительные,
- ++ чувствительные,
- не чувствительные.

Таблица 2 Чувствительность грамположительных стрепто-стафилоккоков больного "Б" к экстракту и антибиотикам

		нтраци экстр		Антибиотики					
Гриб-продуцент	концентри- рованный	10-кр. раз- веденный	100-кр. раз- веденный	биомицин	левомице- тин	стрепто- мицин	пеницил- лин	* тетрацик- лин	хлортетра- циклин
Agrocybe dura Clitocybe infundibuliformis C. nebularis Collybia dryophila Gomphidius rutilus Laccaria laccata Lactarius deliciosus Lepista nuda Stropharia aeruginosa Suillus granulatus S. luteus Tricholoma terreum	c + + - + + + + + + + + + + + + + + + +	c + + + + + + c + + + + + + + + + + + +	c + + + + + + + + + + + + + + + + + + +	+++++++++++++	+++++++++++++++++++++++++++++++++++++++	++++++++++	+++++++++++++++++++++++++++++++++++++++	+++++++++++++++++++++++++++++++++++++++	+++++++++++++++++++++++++++++++++++++++

- + слабочувствительные, ++ чувствительные,
- нечувствительные,
- "с" стимулирующиеся.

Из табл. 2 видно, что чувствительность стрепто-стафилококков к экстракту Tricholoma terreum (Fr.) Quel. (10-кратное разведение) и Lepista nuda (Fr.) W. G. Sm (100-кратное разведение), оказалась аналогичной антибиотикам левомицетину, тетрациклину, хлортетрациклину и сильнее биомицина, стрептомицина и пенициллина (рис. 3, 4, 5), грибы Agrocybe dura (Fr.) Sing. (во всех концентрациях) и Stropharia

aeruginosa (Fr.) Quel. (в 10-кратном разведении) оказывают стимулирующее влияние на данную группу грамположительных стрепто-стафилококков (рис. 6). Воздействие экстрактов остальных приведенных ви-

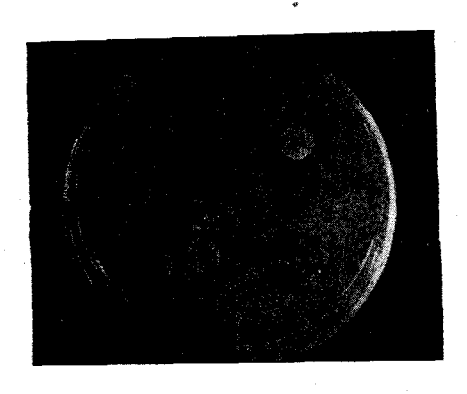


Рис. 3. Чувствительность стрепто-стафилококков к антибиотикам левомицетин, тетрациклин (верхний ряд), пенициллин и стрептомицин.

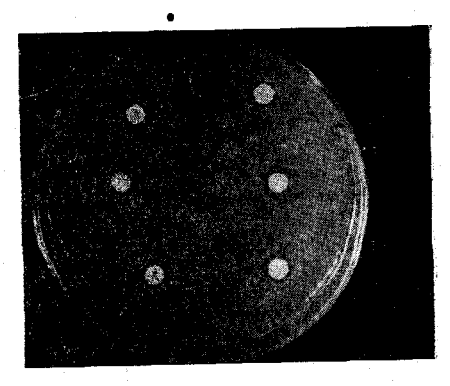


Рис. 4. Чувствительность стрепто-стафилококков к экстракту Gomphidius rutilus (первые три по вертикали) и Tricholoma terreum.

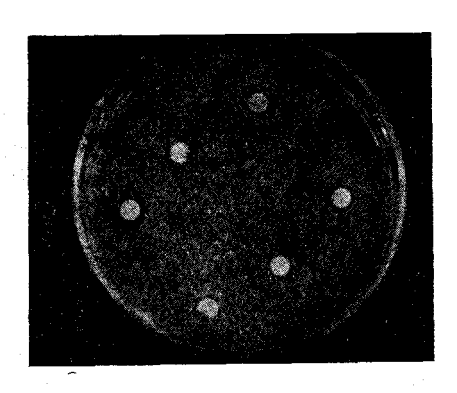


Рис. 5. Чувствительность стрепто-стафилококков к экстракту Collybia dryophila (верхний ряд) и Lepista nuda.

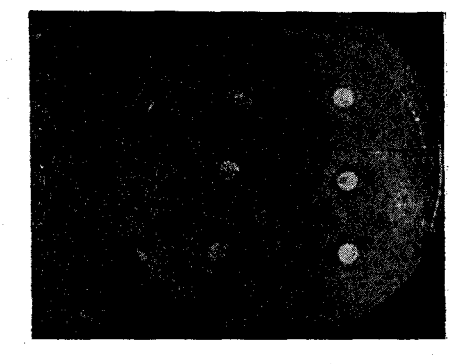


Рис. 6. Чувствительность стрепто-стафилококков к экстракту Agrocybe duга (первые три по вертикали) и Stropharia aeriginosa.

дов грибов может быть приравнено к воздействию биомицина, стрептомицина и пенициллина.

Больной В. находился на стационарном лечении по поводу остеомиэлита костей таза. Культура выделена из раневого отделяемого 9.II 1968 г. Посев на МПА и воздействие водного экстракта произведены 11.II.1968 г. Микрофлора раны представлена кишечной группой грамотрицательных бактерий (В. coli). Контрольные антибиотики те же. Изиспытанных 14 агариковых грибов активными в отношении В. coli оказались 4 (табл. 3).

Из табл. З явствует, что в отношении В. coli испытанные агариковые грибы менее эффективны. Те же виды, которые оказали воздействие на кишечную палочку, оказались малоактивными, уступающими посвоей эффективности левомицетину.

Результаты исследований показали, что для воздействия антибиотически активными соединениями, полученными из шляпочных грибов, на раневую микрофлору, определение последней до уровня группы недостаточно. Так, например, наибольшую активность из испытанных грибов и взятых антибиотиков проявил гриб Stropharia aeruginosa при 10-

Таблица 3 Чувствительность грамотрицательной кишечной группы больного В. к экстракту и антибиотикам

		центра кстракт			æ	ИН		H.	иклин
Гриб-продуцент	концентри-	16-кр. раз- ведение	100-кр. раз-	Биомицин	Левомицетин	Стрептомицин	Пенициллин	Тетрациклин	Хлортетрациклин
Clitocybe nebularis	+	+	+	+	++	+	+	+	+
Laccaria laccata	+		-	+	+-+-	+	+	+	+
Lactarius deliciosus	+	+	+	+	++	+	+	+	+
Lepista nuda	+	-		+.	++	+	+	+	+

+ слабочувствительные, ++ резкочувствительные, - нечувствительные.

кратном разведении в отношении грамположительных стрепто-стафилококков, выделенных из раны больного А. В остальных концентрациях он так же активен (табл. 1), однако в отношении той же группы грамположительных стрепто-стафилококков, выделенных из раны больного Б., в слабых концентрациях (100-кратное разведение) он оказывает слабую активность, а при 10-кратном разведении проявляет себя стимулятором (табл. 2), т. е. может оказывать отрицательное воздействие на течение раневого процесса. Далее, Agaricus campestris Sing. к группе грамположительных стрепто-стафилококков, выделенных из ран, проявляет неодинаковую активность. На бактерии раны больного А. Agaricus сатреstris Sing. действует активно (табл. 1), а на бактерии раны больного Б. он вообще не воздействует.

Из изложенного выше материала можно заключить следующее: из 14 видов шляпочных грибов из порядка Agaricales, взятых на испытание, к микрофлоре раневых отделений показали активность 12.

Большинство взятых агариковых грибов проявляет ингибирующее действие на грамположительные и грамотрицательные формы бактерий, однако на последние слабее.

Наиболее широкий спектр действия на исследуемую бактериальную флору имеют грибы Lepista nuda (Fr.) W. G. Sm. и Laccaria laccata (Fr.) Вегк., активные во всех трех случаях. Испытанные агариковые грибы по своей антибиотической активности в основном не уступают некоторым антибиотикам, применяющимся в лечебной практике. К ним относятся: Lepista nuda (Fr.) W. G. Sm., Laccaria laccata (Fr.) Вегк., Agaricus campestris Sing., Suillus luteus (Fr.) S. F. Gray, S. gra-Биологический журнал Армении, XXIII, № 2—4

nulatus (Fr.) Kuntze, Stropharia aeruginosa (Fr.) Quel., Tricholoma ter-

reum (Fr.) Quel.

При воздействии водным экстрактом плодовых тел агариковых грибов на раневую микрофлору нужно учесть вид и штамм выделенного микроорганизма и подобрать наиболее активную к данному микроорганизму концентрацию экстракта.

Ереванский государственный университет, кафедра низших растений, IV клиническая больница

Поступило 3.VII 1968 г.

Ձ. Հ. ՄԵԼԻՔ-ԽԱՉԱՏՐՑԱՆ, Ձ. Հ. ԱԲՐԱՀԱՄՅԱՆ, Մ. Բ. ԳԱՍՊԱՐՑԱՆ

ԳԼԽԱՐԿԱՎՈՐ ՄՆԿԵՐԻ ՊՏՂԱՄԱՐՄԻՆՆԵՐԻ ԶՐԱՅԻՆ ԷՔՍՏՐԱԿՏԻ ԱԶԴԵՑՈՒԹՅՈՒՆԸ ՎԻՐԱԲՈՒԺԱԿԱՆ ՀԻՎԱՆԴՆԵՐԻ ՎԵՐՔԱՅԻՆ ՄԻԿՐՈՖԼՈՐԱՅԻ ՎՐԱ

Ամփոփում

Հոդվածում բերված են տվյալներ գլխարկավոր սնկերի պտղամարմինների ջրային էջստրակտի անտիբիոտիկ ակտիվության բացահայտման վիրաբուժական վերջային արտադրության միկրոֆլորայի նկատմամբ։ Էջստրակըտները վերցված են երեջ կոնցենտրացիաներով (կոնցենտրիկ, 10 անդամ և 100 անդամ նոսրացված)։ Փորձարկման են ենթարկվել Agaricales կարգի 14 տեսակի սնկեր, որոնցից 12-ը ցուցաբերել են ակտիվություն դեպի վիրաբուժական հիվանդների վերջերի արտադրության միկրոֆլորան։ Հետաղոտության տվյալները ցույց են տվել, որ վերցված ադարիկային սնկերի մեծամասնությունը ունի ճնշող ազդեցություն դրամդրական և դրամբացասական բակտերիաների վրա, սակայն վերջինների վրա՝ ավելի թույլ։

րակտերիալ ֆլորայի վրա աղդման առավել լայն սպեկտը ունեն Lepista nuda (Fr.) W. G. Sm. և Laccaria laccata (Fr.) Bark. Իրոնք ակտիվ են բոլոր վարիանտներում։ Փորձարկված ագարիկային սնկերը իրենց անտիբիոտիկ ակտիվությամբ հիմնականում չեն ղիջում բուժական պրակտիկայում կիրառվող անտիբիոտիկներին, իսկ որոշ դեպքերում նույնիսկ ցույց են տալիս ավելի լավ արդյունքներ։ Նրանց են պատկանում Lepista nuda (Fr.) W. G. Sm., Laccaria laccata (Fr.) Berk., Agaricus campestris Sing., Suillus luteus (Fr.) S. F. Gray, S. granulatus (Fr.) Kuntze և ուրիշ. մինչդեռ լայն կիրառում ունեցող անտիբիոտիկները ,ինչպիսիք են՝ պենիցիլինը, բիոմիցինը և ստրեպտոմիցինը, բոլոր դեպքերում ցուցաբերել են միայն թույլ ակտիվություն։ Վիրաբուժական հիվանդների վերքային միկրոֆլորայի վրա դլխարկավոր սնկերի պտղամարմինների ջրային էքստրակտով աղդելու դեպքոմ անհրաժեշտ է հաշվի առնել միկրոօրդանիզմների տեսակը, շտամը և ընտրել ավելի ակտիվ դեպի տվյալ միկրոօրդանիզմը էքստրակտի կոնցենտրացիան։

ЛИТЕРАТУРА

- · 1. Бондарева Н. В., Каплан З. А., Виленчик Г. Ю., Кныш И. Н. Антибиотики, 5, 1960.
 - 2. Голяков П. Н., Цыганов В. А. Антибиотики, 3, 1958.
 - 3. Мелик-Хачатрян Дж. Г., Абрамян Дж. Г. Биологический журнал Арменин, XXI, 6, 1968.
 - 4. Шиврина А. Н. Биологически активные вещества высших грибов. М.—Л., 1965.
 - 5. Bose S. Arch. Microbiol, 18, 1953.

т. XXIII, № 2, 1970

Ա. Կ. ԹՈՌՉՅԱՆ, Գ. Ս. ԴԵՄՈՒՐՅԱՆ

ՑԱՆՔԻ ԽՏՈՒԹՅԱՆ ԵՎ ՊԱՐԱՐՏԱՑՄԱՆ ԱԶԴԵՑՈՒԹՅՈՒՆԸ ԱՇՆԱՆԱՑԱՆ ՑՈՐԵՆԻ ՔԻՄԻԱԿԱՆ ԿԱԶՄԻ ՎՐԱ

Պարարտացման և բարձր ագրոտեխնիկայի կիրառման պայմաններում մշակված լավագույն սորտերից ստացված բարձր բերքի որակական կազմի փոփոխությունները պարզելու նպատակով, 1961—1963 թվականների ընթացքում երկրագործության ինստիտուտի Փարաքարի բազայում ուսումնասիրվել է պարարտացման տարբեր պայմաններում մշակված աշնանացան ցորենի մի քանի, սորտերից ստացված բերքի քիմիական կազմը։

Ցանքը կատարվել է նախկին «ղռերից» նոր յուրացված ջրովի հողերում, որոնք ունեն բաց գույնի կարբոնատային տեսք, ամրացող են, պարունակում են 1—1,5% Տումուս։

Փորձերը դրվել են չորս կրկնողությամբ, հեկտարի վրա ցանջի 5, 7, 5 և 10 մլն. ծլունակ հատիկի խտությամբ։ Պարարտացումը կատարվել է երեք տարշերակներով. 1. $N_{30}P_{30}$, 2. $N_{60}P_{60}+$ դոմաղբ 70 g/\mathcal{S} և 3. $N_{90}P_{90}+$ դոմաղբ 140 g/\mathcal{S} ։

Նախորդները եղել են բանջարանոցային կուլտուրաներ. գոմաղբը և սուպերֆոսֆատը տրվել են Հիմնական վարի տակ, իսկ սելիտրան՝ որպես սնուցում։

Ցանքի տարբեր խտուβյուններում բույսերի համապատասխան Թիվ ապա-Հովելու համար հաշվի է առնվել ցանվող սորտի տնտեսական պիտանիությունը։ և հատիկների բացարձակ կշիռը։

Ուսումնասիրվել են աշնանացան ցորենի Էրիտրոլեուկոն 12, Բեզոստայա 1 և Սուրիակ-յուբիլեյնայա սորտերը։

Հետաղոտման Համար վերցված սորտերի այսպիսի ընտրությանը հիմք են ծառայել հետևյալ շարժառիթները։ Էրիտրոլեուկոն 12-ը վերցվել է որպես բարձր բերքատու և տվյալ պայմանների համար շրջայնացված սորտ, որը միաժամանակ դիտվում է որպես ստուգիչ, իսկ Բեզոստայա 1 և Սուրխակ յուբիլեյնայա սորտեղը՝ բերքատու լինելով հանդերձ, դիմացկուն են պառկելու նկատմամբ։ Այս հատկանիշը նախապայման է ստեղծում բույսերի խտության և պարարտացման դողաները ավելացնելու միջոցով հասնել առավելագույն բերքատվության։ Բարձր բերքի և նրա որակական հատկանիշների համադրման շնորհիվ հնարավոր է ճիշտ դնահատելու յուրաքանչյուր սորտի արժանիքները, հաշվի առնելով այն հավելյալ ծախսերը, որոնք կապված են բարձր նորմաներով պարտանվութերի և սերմանչութի դործադրման հետ։

Ստացված բերքի քիմիական բաղադրության <mark>Հետաղոտությունները կա</mark>֊ տարվել են Երևանի Խ. Աբովյանի անվան Հայկական մանկավարժական ինստի տուտի ընդհանուր քիմիայի ամբիոնում։ Հատիկներում չոր նյուների, մոխրի, հում պրոտեինի և ածխաջրատների տոկոսային կազմը որոշվել է բացարձակ չոր նյունի համեմատունյամբ։ Բացի այդ, որոշվել է նաև ֆոսֆորաննվի տուկոսը հաշվարկված P_2O_5 -ի և կալիումի տոկոսը՝ K_2O -ի վրա։

Ստացված տվյալները ըստ սորտերի, ցանքի խտության և պարարտացման դողաների բերվում են աղյուսակ 1-ում։

Արդյունքներից երևում է որ, ինչպես ցորենի առանձին սորտերի, այնպես Լլ նրանց ցանքի խտության և պարարտացման դողաների տարբերակներից ստացված բերքում չոր նյութերի քանակական տարբերությունը տատանվում է 1,36% սա⁄մաններում։ Ըստ որում Էրիտրոլեուկոն 12 սորտի մոտ բոլոր ղեպքերում այն բարձր է 90% -ից, իսկ Բեզոստայա 1 և Սուրխակ յուբիլեյնայա սորտերի մոտ գոմաղբի բացակայության դեպքում չոր նյութերի քանակը պակասում է 1%-ով։

Հատիկում Տում պրոտեինի պարունակությունը, կապված ցանքի խտության և պարարտացման չափի հետ, արտահայտվում է որպես սորտային առանձնա- հատկություն։ Բերված տվյալներից երևում է, որ Էրիտրոլեուկոն 12-ի ցանքի խտությունը ավելացնելու դեպքում Տում պրոտեինի տոկոսն իջնում է, իսկ պարարտացման դողաների ավելացումը առաջ է բերում պրոտեինի տոկոսի ավելացումը առաջ է րերում պրոտեինի տոկոսի ավելարում, ըստ որում ցանքի ցածր նորմաներում ավելի, քան բարձր խտություններում։

Բեղոստայա 1-ի ցանքի նորմայի ավելացումը և պարարտացման բարձր դողաները նպաստում են պրոտեինի տոկոսի բարձրացմանը։ Այս երևույթը նըկատվում է նաև Սուրխակ յուբիլեյնայա սորտի մոտ։

8 անքի բոլոր խտություններում պարարտացման դողաների ավելացման շնորհիվ Բեզոստայա 1 սորտի բերքում հում պրոտեինի քանակը ավելանում է 2,23, Սուրխակ յուբիլեյնայա սորտի մոտ՝ 1,31, իսկ Էրիտրոլեուկոն 12-ի մոտ՝ 1,28%-ով։

Հատիկների մեջ կալիումի քանակի տվյալներով ստացվում է հետևյալ պատկերը. N₃₀ P₃₀ պարարտացման տարբերակում Բեղոստայա 1 սորտի 5 մլն հատիկի նորմայով կատարված ցանքից ստացված բերքում կալիումի տոկոսը կաղմում է 2,48, հեկտարին 7,5 մլն հատիկի խտությունում՝ 2,55, իսկ 10 մլն հատիկի դեպքում՝ 2,75%։ Նույն օրինաչափությունը կրկնվում է նաև մյուս սորտերի մոտ։ Դրա հետ միասին կալիումի քանակի ավելացմանը նպաստում է նաև պարարտացման դողաների ավելացումը, հասցնելով այն Էրիտրոլհուկոն 12-ի հատիկներում 4,44%-ի, Բեղոստայա 1-ի հատիկներում՝ 4,18, իսկ Սուր-խակ յուբիլեյնայա սորտի հատիկներում՝ 5,09%-ի։

Ֆոսֆորաթթվի քանակը բարձր է այն տարբերակներից ստացված բերքում, որտեղ բացակայում է գոմաղբը։ Այս <mark>Հարցում ցանքի խտության ազդեցությունը</mark> չի արտահայտվում։

Ածխաջրատների քանակը ցանքի խտության և պարարտացման բոլոր տարբերակներում, առանց որոշակի օրինաչափության, տատանվում է 67—70%-ի սահմաններում։ Այստեղ աչքի է ընկնում այն, որ Բեղոստայա 1 և Սուրխակ յուբիլեյնայա սորտերից ստացված բերքում ածխաջրատների ընդհանուր քանակը 8—10%-ով ավելի է, քան Էրիտրոլեուկոն 12-ի հատիկներում։

ԸնդՀանուր առմամբ Հատիկների քիմիական կազմի վերաբերյալ ստացված տվյայներից պարզվում է, որ ցանքի խտությունը և պարարտացման դոգաները աշնանացան ցորենի տարբեր սորտերի վրա Թողնում են տարբեր ազդեցություն։ Դրանք Հատկապես ազդում են Հում պրոտեինի պարունակության վրա, որը բերջի որակական արժեջի տեսակետից կարևոր նշանակություն ունի։

Ադյուսակ 1 Ցանջի խաության և պարարտացման նորմաների աղդեցությունը ցորենի ջիմիական կազմի վրա՝ º/₀-ներով (1961—1963 թթ. միջինը)

		9ய	րարաարի Մաարի	gn L ปี รับ			17 th - 12 th		(5m24m4)	η_{η}
Մորտը	Ցանգի հորժան Մա ծլուհակ Հատիկ հեկտարին	N 44	P 44	դոմաղը, ցենտ.	Չոր հյութեր	देवत्त्र तत्त्रीति	Հում պրոտեին	Ֆոսֆորա <i>ի</i> ժ <i>ի</i> ու (հաջված P ₂ O- <i>ի</i> վրա)	hulhard (5m K ₂ O-p 4pm)	Ածխաջրատներ
<i>Էրիտըոլեու</i> <i>կո՞ս</i> 12	5 7,5 10 5 7,5 10 5 7,5	30 30 30 60 60 60 90 90	30 30 30 60 60 60 90 90	70 70 70 70 140 140 140	90,63 90,80 91,09 90,86 90,49 90,65 91,34 90,41 90,46	2,26 2,37 2,79 2,67 2,93 3,03 2,90 3,10 3,32	13,37 13,25 12,88 14,33 12,32 13,99 14,53 14,37 14,31	0,80 0,78 0,76 0,65 0,67 0,66 0,70 0,68 0,65	2,43 2,60 2,84 3,19 3,27 3,53 3,86 3,81 4,44	60,51 59,75 60,65 63,95 63,86 61,03 61,77 62,72 60,62
Բե զոսաայա 1	5 7,5 10 5 7,5 10 5 7,5	30 30 30 60 60 60 90 90	30 30 30 60 60 60 90 90	70 70 70 70 140 140 140	89,92 89,94 89,80 89,73 89,84 90,23 90,15 90,15	1,90 1,90 2,10 1,91 2,00 2,02 2,15 1,97 2,26	14,36 14,21 14,33 14,88 15,41 15,33 15,87 16,42 16,45	1,04 1,09 1,10 0,95 0,90 0,90 0,92 0,96 1,09	2,48 2,55 2,75 2,94 3,14 3,29 3,54 3,94 4,18	69,55 70,09 70,13 68,39 70,95 68,38 69,13 69,36 67,39
Ս ուրխակ- յուրիլեյ- Նայա	5,5 10 5,7,5 10 5,7,5 10 5,7,5	30 30 30 60 60 60 90 90	30 30 30 60 60 60 90 90	70 70 70 70 140 140 140	89,82 89,84 89,90 90,20 89,95 89,95 90,01 90,58	1,63 2,03 1,95 2,00 2,23 2,16 2,44 2,07 2,40	14,42 14,28 14,19 14,74 15,50 15,19 15,47 15,05 15,30	1,13 1,14 1,10 0,95 0,95 0,96 0,89 0,93 0,99	2,05 2,15 3,00 3,09 3,34 3,48 3,84 4,32 5,09	63,81 62,44 66,23 65,88 63,32 66,94 67,30 67,81 69,11

Հասկանալի է, որ հատիկների որակական կաղմը դեռևս լրիվ չափանիշ չի կարող ծառայել ցորենի առանձին սորտերին ճիշտ գնահատական տալու համար։ Այս հարցում ճիշտ մոտեցում կարելի է ունենալ հատիկների որակի և բերջի ջանակի տվյալների համադրման միջոցով։ Այդ կապակցությամբ աղ. 2-ում բերում ենջ ըստ փորձի տարբերակներից ստացված բերջի և հատիկներում հում պրոտեինի ջանակի վերաբերյալ երեջ տարվա միջին տվյալները։ Այդ տվյալեներն առաջին հերթին ցույց են տալիս, որ աշնանացան ցորենի սորտերը որոշակիորեն տարբեր պահանջ ունեն պարարտանյութերի հանդեպ, դրա հետ միա-ին նրանջ տարբեր ազդեցություն են կրում ցանջի խտությունից։ Այսպես, օրինակ՝ Էրիտրոլհուկոն 12 սորտը N₃₀P₃₀-ով պարարտացնելու դեպջում սովո-թական նորմայով կատարված ցանջից (5 մլն հատիկ հեկտարին) տալիս է 47,0 գ/հ բերջ, 7,5 մլն հատիկի նորմայով կատարված ցանջից՝ 45,3 ց/հ, իսկ 10 մլն հատիկի խտության դեպջում՝ 31,4 ց/հ։ Պարարտացման դոզաներն ավելացնելու

դեպքում բերքատվությունն է՛լ ավելի է իջնում, Հասնելով 24,2ց/Հ-ի։ Եզրակացությունը որոշակի է. ցանքի խտությունը և պարարտացման բարձր դոզաները Էրիտրոլեուկոն 12 սորտի մոտ առաջ են բերում բերքի անկում։

Պարարտացման դոզաների ավելացումը և ցանքի խտությունը այլ կերպ են ազդում Բեղոստայա 1-ի և Սուրխակ յուբիլեյնայա սորտերի բերքատվու**թյան** վրա։ Հեկտարին մինչև 10 մլն հատիկի ցանքի նորմայի և պարարտացման

Աղյուսակ 2 Աշնանացան ցորենի բերջատվությունը և հում պրոտեինի ջանակը բերջում, ըստ պարարտացման և ցանջի խտության տարբերակների

	արությու- Գրունակ Դրությու-	9	ւրարտացո հեկտարին	Lď	\$/£ त#	ոտերևի հատիկնե	45,49
Սորտը	Ցանքի խտությո հը մլն ծլունակ հատիկ ձեկտարի	N 44	P 44	գոմաղը,	विरोधम भीगोणण	Հում պրոտեինի տոկոսը հատիկն Հում	էրում պրոտերներ Հում պրոտերներ
Երիտրոլեուկո ն 12	5 7,5 10 5 7,5 10 5 7,5	30 30 30 60 60 60 90 90 90	30 , 30 , 30 , 60 , 60 , 60 , 90 , 90 ,	70 70 70 70 140 140 140	47,0 45,3 31,4 48,5 47,1 30,3 37,9 31,8 24,2	13,37 13,25 12,88 14,33 12,32 13,99 14,53 14,37 14,31	6,29 6,00 4,04 6,95 5,80 4,24 5,51 4,57 3,46
<i>Բեղոստայա</i> 1	5 7,5 10 5 7,5 10 5 7,5	30 30 30 60 60 60 90 90	30 30 60 60 60 90 90	70 70 70 70 140 140 140	42,3 48,1 52,5 45,8 51,2 55,3 49,7 57,3 57,9	14,36 14,21 14,33 14,88 15,41 15,33 15,87 16,42 16,45	6,07 6,84 7,52 6,82 7,89 8,48 7,89 9,41 9,52
Ոսենինը Նրա յա	5 7,5 10 5 7,5 10 5 7,5 10	30 30 30 60 60 60 90 90	30 30 30 60 60 60 90 90	70 70 70 70 140 140 140	38,0 43,3 45,1 40,1 45,3 48,3 40,1 48,8 48,1	14,42 14,28 14,19 14,78 15,50 15,19 15,47 15,05 15,30	5,48 6,18 6,40 5,93 7,02 7,37 6,20 7,34 6,14

դողաների ավելացման դեպքում Բեղոստայա 1 սորտի բերքատվությանը 42,3 g/ς -ից բարձրանում է 57,9 g/ς -ի, իսկ Սուրխակ յուբիլեյնայա սորտինը 38,0-ից 48,3 g/ς -ի։

Որոշակի Տետաքրքրություն է ներկայացնում Էրիտրոլեուկոն 12 և Բեզոստայա 1 սորտերի Տետևյալ Համեմատականը։ Ցանքի սովորական նորմայի և փոքր դոզաներով պարարտացման դեպքում Էրիտրոլեուկոն 12-ի բերքն ավելի է նույն նորմայով ցանված և պարարտացված Բեզոստայա 1-ի բերքից 4,7 ց/Տ-ով՝ իսկ պարարտացման բարձր դոզաների և առանձնապես ցանքի բարձր նորմաՆերի պայմաններում Էրիտրոլեուկոն 12-ի բերքը Բեզոստայա 1-ից ետ է մնում «եկտարին 10—35 ցենտներով։

Հում պրոտեինի պարունակության ընդՀանուր տվյալներով, հետազոտվող սորտնրի մեջ առաջնակարգ տեղ է գրավում Բեղոստայա 1 սորտը։ Այստեղ պարարտացման դողաների և ցանջի նորմաների ավելացման դեպքում հում պրոտեինի քանակը աստիճանաբար ավելանալով, մեկ հեկտարից ստացված բերքում կազմում է 8,48 ցենտներ, որը շուրջ 2 անգամ ավելի է Էրիտրոլեուկոն 12-ի և 1,5 անգամ Սուրխակ յուբիլեյնայա սորտի յուրաքանչյուր հեկտարից ստացվող բերքում պարունակվող պրոտեինի քանակից։

Պարարտացման և ցանջի տարբեր խտության պայմաններում մշակված աշնանացան ցորենի սորտերից ստացված բերջի հատիկներում ջիմիական կազմի ուսումնասիրությունը բերում է հետևյալ եզրակացության.

- 1. Աշնանացան ցորենի պարարտացման դոզաների և ցանքի նորմայի ավելացումը ստացված բերքում չոր նյութերի քանակի վրա աղդեցություն չի թողնում։ Բոլոր դեպքերում այն տատանվում է 90%-ի սաՀմաններում։
- 2. Բույսերի խտության և պարարտանյութերի նորմաների ավելացման դեպքում բոլոր սորտերի մոտ մոխրի քանակը ավելանում է շուրջ 1%-ով, իսկ կալիումինը՝ 2%-ով։
- 3, Գոմաղբի բացակայության դեպքում բոլոր սորտերի մոտ, անկախ ցան-քի խտությունից, ֆոսֆորաթթվի քանակը ավելանում է $0.10-0.25\,\%$ -ով։
- 4. Բեղոստայա 1 և Սուրիակ յուբիլեյնայա սորտերի մոտ, պարարտանյու-Թերի և ցանքի խտության ավելացումը բարձրացնում է բերքում Հում պրոտեինի տոկոսը, իսկ Էրիտրոլեուկոն 12-ի մոտ՝ ընդհակառակը։
- 5. Պարարտացման և ցանքի խտության ավելացման շնորհիվ Բեզոստայա 1 սորտի բերքում Հում պրոտեինի ընդհանուր քանակը Էրիտրոլեուկոն 12-ի համեմատությամբ ավելի է շուրջ 2 անգամ, իսկ Սուրխակ յուբիլեյնայա սորտի Հումեմատությամբ՝ 1,5 անգամ։

ՀՍՍՀ Գյուղ. մինիստրության երկրագործության գիտահետազոտական ինստիտուտ Ստացված է 28 V 1968 թ.

УДК 633.11+631.8+581.19

А. К. ТОРЧЯН, Г. С. ДЕМУРЯН

ВЛИЯНИЕ НОРМЫ ВЫСЕВА И УДОБРЕНИЙ НА ХИМИЧЕСКИЙ СОСТАВ ЗЕРНА ОЗИМОЙ ПШЕНИЦЫ

Резюме

Данные анализов трех сортов озимой пшеницы, высеянных по нормам 5, 7, 5 и 10 млн. всхожих семян на га с вариантов удобрений $N_{30}P_{30}$, $N_{60}P_{60}$ + навоз 70 ц и $N_{90}P_{90}$ + навоз 140 ц на га показали, что применяемая густота посева сортов озимой пшеницы и внесенные удобрения не оказывают существенного влияния на количество сухого вещества в зерне. Во всех вариантах опыта оно составляло около 90% от общего веса урожая зерна.

Содержание калия в зерне урожая Безостой 1, высеянной нормой 5 млн. зерен на га на фоне удобрений $N_{30}P_{30}$ составляет 2,48%. При норме высева 7,5 млн. зерен—2,55, а при 10 млн. зерен—2,75%. Аналогичные данные в этом отношении имеют и остальные сорта. При внесении повышенных доз удобрений содержание калия в зерне увеличивается у Безостой 1 до 4,18, Эритролеукон-12—4,44, а у Сурхак юбилейной—5,09%.

На количество фосфорной кислоты в зерне урожая густота посева не влияет. В этом отношении Эритролеукон 12 не реагирует и на дозы удобрений. В аспекте сортовой оценки у Безостая 1 и Сурхак юбилейная фосфорной кислоты на 0,30—0,45% больше, чем у Эритролеукона 12, особенно в тех вариантах опыта, где отсутствует навоз.

По данным содержания углеводов в зависимости от нормы посева и доз удобрений, определенной закономерности не наблюдается. В сортовом разрезе замечается, что во всех вариантах в зерне Эритролеукон 12 содержание углеводов на 10-12% ниже, по сравнению с остальными сортами. При внесении $N_{30}P_{30}$ у Эритролеукона 12, высеянной по норме 7,5 и 10 млн зерен на га, содержание сырого протеина в зерне составляет 12,88%, а при внесении $N_{90}P_{90}+140$ ц навоза на га процент протеина доходит до 14,31-14,53%. У сортов Сурхак юбилейная и в особенности Безостая 1 под действием повышенной нормы посева и дозам удобрений количество сырого протеина в зерне возрастает от 14,21 до 16,45%.

При сопоставлении урожайности и процентного отношения протеина в зерне изучаемых сортов, выясняется, что при норме посева 7,5 и 10 млн зерен на га при повышенных дозах удобрений, общее количество сырого протеина в урожае Безостая 1 по сравнению с сортом Эритролеукон 12 больше в 2 раза, а по сравнению с Сурхак юбилейной в 1,5 раза.

т. XXIII, № 2, 1970

УЛК 595.773

В. А. РИХТЕР

НОВЫЙ ДЛЯ ФАУНЫ КАВКАЗА ВИД МУХ-ТАХИН (DIPTERA, TACHINIDAE) — ПАРАЗИТ МАЛЬВОВОЙ МОЛИ

При изучении паразитов мальвовой моли Pectinophora malvella Hb. (Lepidoptera, Gelechiidae) в Армении, в окрестностях Еревана, из ее взрослых гусениц и куколок неоднократно выводилась тахина Neaera laticornis Meigen (1, 2—Neaera albicollis Mg.). Сведения о распространении этого вида очень отрывочны: кроме Армении, он известен лишь из Ленинградской области [3] и южной Англии. В качестве хозяина для этого вида приведена листовертка Epiblema fulvana.

В связи с большой изменчивостью некоторых признаков этого вида тахин ниже приводится его описание, составленное на основе выведенного материала. За предоставление этого материала выражаю свою признательность А. С. Аветян.

Neaera laticornis Meigen

Высота лица немного превышает длину лба; ширина лба в 1,6 раз превышает ширину глаза (см. сверху); лобная полоса широкая, ее ширина на середине лба в 1,8 раз превышает ширину орбит, 1 превертикальная щнтинка, направленная назад и наружу; 2 глазковых щетинки, направленных вперед и наружу; 2 постоцеллярных щетинки; по 1 поствертикальной щетинке с каждой стороны; длина внутренней теменной щетинки составляет 3/5—4/5 высоты глаза и в 1,5 раза превышает длину наружной теменной щетинки. Затылочные щетинки длинные, прямые. Задняя поверхность головы выпуклая, в многочисленных черных волосках.

5 лобных щетинок, передняя из которых расположена на уровне 1/2 длины 2-го членика усиков. Орбиты с несколькими черными волосками; 2 наружных орбитальных щетинки. Лицо сильно вогнутое, со слабым срединным килем; высота лица в 1,4 раза превышает его ширину между большими вибриссами. Большие вибриссы расположены у верхнего края ротовой впадины. Лицевые кили над большими вибриссами с 3—5 вибриссами. Скулы голые, сужены книзу; их ширина на уровне основания аристы составляет 1/5 ширины глаза. 3-й членик усиков широкий, его длина превышает его наибольшую ширину в 1,3—1,4 раза и немного более чем в 2 раза превосходит длину 2-го членика. Ариста утолщена на протяжении 3/5 своей длины; ее 2-й членик в 2 раза длиннее 1-го членика; длина 2-го членика аристы в 4 раза превосходит его ширину. Высота щек составляет почти 1/3 высоты глаза, их большая часть покрыта сильно развитым затылочным расширением. Глаза голые.

Стернит переднегруди по бокам без волосков; 3+4 дорзоцентральных, 3+3 акростихальных, 1+3 интраалярных, 3 надкрыловых, 3 плечевых, 2 заплечевых, 1 предшовная, 2 нотоплевральных, 1 птероплевральная, 3 крепких стерноплевральных, 4-5 гипоплевральных щетинок. Щиток в стоячих черных волосках, с крепкой и длинной базальной, 1-2 более короткими и тонкими боковыми щетинками и длинной крепкой субапикальной щетинками. Апикальные щетинки щитка отсутствуют, преапикальные щетинки развиты.

Передние голени с 4—5 переднедорзальными, 1 заднедорзальной и 1 задней щетинкой. Средние голени с 2—3 переднедорзальными (из них 1 очень длинная), 1 заднедорзальной, 1 задней и 1 вентральной щетинками. Задние голени с рядом неодинаковых переднедорзальных, заднедорзальных и несколькими передневентральными щетинками.

Крыло (рис. 1) с коротким костальным шипом. R_{4+5} в основании сверху с 2 щетинками, 2-я из них умеренно удлинена; 1-я заднекрайняя ячейка замкнута на крае крыла; M_{1-2} изогнут дугообразно. Вершинная

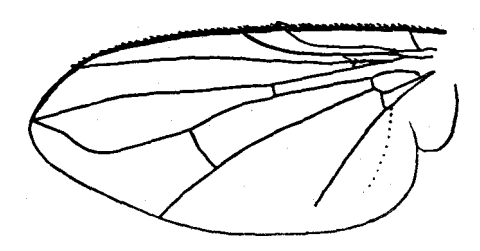


Рис. 1. Neaera laticornis Meigen. Крыло.

поперечная жилка прямая. Длина 3-го отрезка С в 3—4 раза превышает длину ее 2-го отрезка; 2-й отрезок С короче ее 4-го отрезка; 4-й отрезок С покрыт черными шипиками лишь в самой базальной части. Задняя поперечная жилка прямая или слабо изогнута. Ап не доходит до края крыла.

Брюшко в полуприлегающих черных волосках; его 2-й тергит без щетинок или с 1—2 парами боковых маргинальных щетинок; 3-й тергит

без дискальных щетинок, с 1 парой коротких срединных маргинальных щетинок или без нее и с 1—2 парами боковых маргинальных щетинок; 4-й тергит с 2 парами срединных дискальных щетинок и с рядом маргинальных щетинок; 5-й тергит с многочисленными дискальными щетинками и рядом маргинальных щетинок.

♀. 3-й членик усиков уже, чем у ♂; его длина превышает его наибольшую ширину в 1,6 раз; длина 2-го членика аристы в 1,3—2 раза больше длины ее 1-го членика.

Длина тела-4,5-5,5 мм.

Материал: окр. Еревана, из гусениц и куколок мальвовой моли Pectinophora malvella Hb., взятых на Althaea sp., вылет 5.VIII—14.IX.1959 (12 \circlearrowleft , 16 \circlearrowleft ; Аветян), 6.VIII.1960 (1 \circlearrowleft ; Аветян), 14.IX.1960 (1 \circlearrowleft ; Аветян), 6.VII—28.VIII.1961 (9 \circlearrowleft , 5 \circlearrowleft ; Аветян), 12.VII.1962 (2 \circlearrowleft \circlearrowleft ; Аветян), 1X.1962 (2 \circlearrowleft \circlearrowleft ; Аветян).

Зоологический институт АН СССР

Поступило 2.VI 1969 г.

Վ. Ա. ՌԻԽՏԵՐ

ՏԱԽԻՆՆԵՐԻ (DIPTERA, TACHINIDAE) ՆՈՐ ՏԵՍԱԿ ԿՈՎԿԱՍՈՒՄ

Ամփոփում

Հոդվածում բերվում են Կովկասի ֆաունայի համար պարազիտ ճանճի տախինայի նոր Neaera laticornis Meigen տեսակի նկարագրությունը և նոր տվյալներ այդ պարազիտի տիրոջ—տուղտացեցի (Pectinophora malvellaHb.) մասին։

ЛИТЕРАТУРА

- 1. Аветян А. С. Матер. IV Всесоюзн. совещ. по борьбе с мальв. молью. Ереван, 132—141, 1960.
- 2. Мкртумян К. Л. Сб. Ин-та земледелия МСХ АрмССР, 1958.
- 3. Штакельберг А. А. Тр. Зоол. ин-та АН СССР, ХХХІ: 318—388, 1962.
- 4. Herting B. Biologie der westpaläarktischen Raupenfliegen Dipt., Tachinidae. Monograph. zur angew Entomol., 16:5—188, 1960.

т. XXIII, № 2, 1970

УДК 577.44

Հ. Հ. ՏՈՆԱԿԱՆՅԱՆ

որ Հարբ անութ անները արևենանութ անանաները անհացության

Տվյալ ուսումնասիրությունները կատարվել են Երևանի պետական համալշարսնի կենսաբանական ֆակուլտետի ջերմատանը, 1968 թվականի գարնանը։ Փորձը դրվել է ամսաբողկի Բելի կոնչիկ սորտը։ Ձայնարկման ենք ենթարկել այս կուլտուրայի սերմերը՝ խոնավ վիճակում, որի համար 12 ժամ առաջ 30 րոպեով նրանց ընկղմել ենք սովորական, խմելու ջրի մեջ։ Տեխնիկական պատճառներով սկղբում նախատեսված հինդի փոխարեն փորձերը դրվել են երկու տարբերակներով՝ 1-ինը 20 կհց և 2-րդը՝ 960 կհց ձայնարկմամբ։ Ցուրաքանչյուր տարբերակ, ինչպես ստուգիչը, մարգում զբաղեցրել է մեկ շարք՝ 10 մ երկարությամբ։ Շարքում, նոսրացումից հետո թողնվել է 100 բույս։ Հետևաբար, բույսերի միջև եղել է 10 սմ, իսկ շարքերի միջև 20 սմ տարածություն։

Տերևների չափումները առաջին անգամ կատարվել են ծլելուց 30 օր և երկրորդ անգամ՝ 50 օր Հետո, իսկ արմատապտուղներինը՝ Հանելիս։

Դիտողությունները ցույց տվեցին, որ ուլտրաձայնի ազդեցությունը, ստուգիչի Համեմատությամբ, սերմերի ծլումը արագացրել է 2 օրով միայն 2-րդ տարբերակում, հռունի ժամանակ (աղ. 1)։

> Աղյուսակ 1 Ուլարաձայնի ազդեցությունը ամսաբողկի սերմերի ծլման վրա։

ալբերակներ	Ձայնարկժան	, Ցանքի	Ծլման ժամանակը				
	չափը, կհց	<i>Գամանակը</i>	սկիզրը	եռունը			
Ստուգիչ	0	15/IV	20/IV	2g/IV			
I .	20	15/IV	19/IV	2 3/IV			
11	960	15/IV	18/IV	21/IV			

Ինչպես երևում է աղյուսակ 2-ի տվյալներից, ուլտրաձայնը Թեպետ ոչ մեծ, բայց որոշ չափով ազդում է նաև տերևների չափսերի, ինչպես լայնուեն, այնպես և երկարության վրա՝ մեծացման ուղղությամբ։

Սերմերի ծլման արագության ու տերևների չափսերի մեծացման ցուցանիշներն, իհարկե, որոշակի գաղափար են տալիս ամսաբողկի բույսերի վրա ուլտրաձայնի աղդեցության բնույթի ու աստիճանի մասին, սակայն առանձնապես հետաքրքրական են արմատապտուղների ցուցանիշները։ Աղյուսակներ 3-ի և 4-ի տվյալները աներկբայորեն մեզ համոզում են, որ ուլտրաձայնը խթանում է արմատապտուղների աձր ինչպես չափսերի, այնպես էլ հատկասլես, կշոի ավելացման ուղղությամբ։

Աղյուսակ 2 Ուլտրաձայնի աղդեցությունը ամսաբողկի տերևների չափսերի վրա։

	Լայնուլ					יב י			. 61	ւկալու	g յու ^լ	i _e c	
į		dи	առաջին ժամ կետու մ		երկրորդ -				առաջի Ժամ կես		երկրորդ ժամկետում		
Ցարրերակներ	Զայնարկման չափը, կհց	լայնությունը, ով	տարրերուխյունը ստուդիչի հետ, բացար- ձակ Թվ. + –	ուսուրդ որ որ հեր հետունը որ	լայնությունը, ով	տարրերուխյունը ստուդիչի հետ բացար- ձակ խվերով —	$4h_2h^2 \sin^{-0}(0, 0) + -$	երկարությունը, ով	տարբերուխյունը ոտուդիչի հետ բացար- ձակ Թվերով —	տարրերու β յունը ստու-	րո ժուսիցիսակակակ	տարքերությունը ստուգիչի հետ բացար- ծակ թվ. + —	ωμη βρίτρη 16 μπ. 10, 0/0, 0/0, 0/0, 0/0, 0/0, 0/0, 0/0,
Ստուգիչ	1	1,46	1	-	4,8	1	-	4,1		_	16,0	1	_
. I II		1	1	+40,0 +21,9	· ·	+1,0 +2,3	+20,8 +48,0	l	1	-	1		+28,8 +37,5

Այսպես, եթե ստուգիչ բույսերի արմատապտուղների գրկաչափի միջինը 8,5 սմ է, իսկ երկարությունը՝ 3,3 սմ, ապա ձայնարկված սերմերից առեցված բույսերինը դրանք Համապատասխանաբար արտահայտվում են՝ 11 և 4,1-4,2 սմ, այլ կերպ ասած 29,4 և 24,2—27,3%-ով գերազանցում են առաջիններին։

Ուլարաձայնի խթանիչ ազդեցությունն ավելի ուժեղ է արտահայտված արմատապտուղների կշռի նկատմամբ. եթե ստուգիչ բույսերի արմատապտուղների կշրի նկատմամբ. եթե ստուգիչ բույսերի արմատապտուղների միջին կշիռը 10,13 դ է, ապա ձայնարկված սերմերից առեցված բույսերինը՝ 15,3 դ (I տար.) և 16,66 դ (II տար.) է, այսինքն առաջիններին դերադանցում են 51,0—64,6 %-ով։

Աղյուսակ 3-Ուլարաձայնի ազդհցությունը ամսաբողկի արմատապտուղների չափսերի վրա

·					Մ, թ.ք ս	ստապտուղ	յր ը ար	<i>દખન</i>	րոերը	, u đ				
		գրկաչափը						երկարությունը						
וה	ն չափը, կհց				միջինների րություն գիչի հե	տ + — Մոռու-				միջինների Թյունը ստո +	տարբերու- ւգիչի հետ 			
Տարերարարեր	2 այնարկմա ն	րուրվուվ	ուսանուրում	միջինը	րաց. Թվեր + —	°/ ₀ °/ ₀ "4	զիրիվուղ	մաքսիմում	ղ ի ջիչո ը		0/0 0/0-m4			
I= neqht	0	3,5	5 13,5	8,5	<u> </u>	_	1,9	4,6	3,3	_	_			
I	20	3,5	15,5	11,0	+2,5	+29,4	1,9	6,5	4,1	+ 0,8	- -24 , 2			
II	960	4,8	3 16,3	11,0	+2,5	+29,4	1,9	6,3	4,2	+0,9	+27,3			

 $m{b}$ $m{b}$ $m{b}$ $m{b}$ այս տվյալները համեմատելու լինենք ամսաբողկի նույն սորտի բույսերի սերմերի վրա ռենտգենյան հառագայ $m{b}$ ների ազդեցու $m{b}$ յան տվյալների հետ, դժվար չի լինի նկատել, որ վերջիններս ևս խ $m{b}$ անող են և մի փոքր ավելի ուժեղ (5 $-10\,\%$), քան ուլտրաձայնը։

Ազյուսակ 4 Ուլտրաձայնի ազդեցությունը ամսաբողկի արմատապտուղների կշռի վրա

ı.		Արմատապ	տուղների	կչիռը, դ	Միջինսերի տարբերուԹյունը ստուգիչի հետ + —				
Տարբերակներ	Զայնարկվան չափը, կնց	մինրիմում	արարդությունը	गभिर्शिष	րաց. Թվերով	01' ⁰ 0/0-n4 + -			
<i>Ստուգիչ</i> ! 11	0 20 960	1,1 1,6 1,9	25,9 70,0 46,9	10,13 15,3 16,7	+5,17 +6,57	+51,0 +64,6			

Հավանորեն ուլարաձայնի ազդեցությունը ևս հնարավոր է ուժեղացնել Շայնարկման չափի բարձրացման միջոցով, որ մեզ չհաջողվեց այդ անել, ինչպես սկզբում նշել ենք, տեխնիկական պատճառներով։

.Ֆրևանի պետական համալսարանի մովդևա վղեսլյուր բղակաղձղադ

Մտացված է 25.VI 1969 ₽.

Г. А. ТОНАКАНЯН

ВЛИЯНИЕ УЛЬТРАЗВУКА НА РОСТ РАСТЕНИИ РЕДИСКИ

Резюме

Настоящие опыты были поставлены в оранжерее биологического факультета Ереванского госуниверситета весной 1968 г. Подопытной культурой была редиска сорта Белый кончик. Действию ультразвука подвергали семена во влажном состоянии. Опыты были поставлены в двух вариантах: в 20 кгерц и 960 кгерц.

По результатам опытов выяснено, что ультразвук, в границах доз, примененных нами, оказался стимулирующим рост растений редиски фактором, в особенности для размеров и веса корнеплодов, с превышением контрольных растений на 51,0—64,6%.

^{*} Тонаканян Г. А. Ученые записки. Ереван. Гос. университета. Естественные науки, 2, 1967.

т. XXIII, № 2, 1970

УДК 616.988 1

Г. К. БОЯДЖЯН, С. Р. ПОСТОЯН, Р. В. МАНАСЕРЯН

Қ ВОПРОСУ О РОЛИ ҚЛЕЩЕЙ ORNITHODORUS LAHORENSIS NEUM. 1908 В СОХРАНЕНИИ И ПЕРЕДАЧЕ ВИРУСА ЯЩУРА ОТ БОЛЬНЫХ ЖИВОТНЫХ ЗДОРОВЫМ

Вопрос сохранения вируса ящура в организме клещей и передачиего от больных ящуром животных к здоровым при кровососании остается малоизученным. Это частично можно объяснить тем, что внимание значительного большинства исследователей в настоящее время обращено на решение тех главных задач, с которыми связывают в основном успех борьбы с данной инфекцией. Однако известно, что те или иные эпизоотологические факторы, действуя постоянно, могут придавать эпизоотии стационарный характер. Поэтому выяснение роли клещей как вероятных агентов, способных сохранить вирус ящура и передать его восприимчивым животным, приобретает важное практическое значение и требует дальнейших более широких экспериментальных исследований, а также четких эпизоотологических наблюдений.

Литературные данные по затронутому вопросу весьма ограничены и те исследования, которые проведены некоторыми авторами [3, 4, 5, 6], посвящены лишь клещам семейства Ixodidae.

В своих исследованиях мы задались целью в эксперименте выяснить роль половозрелых клещей О. lahorensis в сохранении вируса ящура и передачи его от больных ящуром лабораторных животных к здоровым при кровососании.

Для решения поставленной задачи были проведены три серии опытов. Методика работы, а также результаты опытов первых двух серий опубликованы в предыдущих сообщениях [1, 2]. В третьей серии изучали вопрос передачи при кровососании вируса ящура инфицированными половозрелыми клещами О. lahorensis восприимчивым лабораторным животным. Результаты этих исследований приведены в настоящем сообщении.

Материал и методы. Половозрелые клещи вида О. lahorensis, собранные в благополучных по ящуру хозяйствах, инфицировались вирусом путем кормления их на больных ящуром лабораторных животных и затем, после предварительной проверки на вирусоносительство, подсаживались к интактным морским свинкам и белым мышам, которые после отпадения клещей исследовались на предмет обнаружения в их организме вируса ящура.

Подсадка инфицированных вирусом ящура клещей к восприимчивым животным и их исследование. Накормленных на больных ящуром животных клещей-вирусоносителей-после предварительного содержания при комнатной температуре в течение 2—3 недель подсаживали к здоровым, восприимчивым к ящуру морским свинкам и белым мышам, от которых после насасывания крови и отпадения клещей брали материал и исследовали на содержание вируса. В одних опытах материал брали сейчас же после отпадения клещей. При этом подопытных животных убивали, а затем брали кровь, отсекали участок кожи с подкожной клетчаткой (место присасывания клещей), где, как правило, наблюдались значительные очаги кровоподтеков и кровоизлияний. В других опытах животных не убивали, а через 2—24—48 час. после отпадения клещей брали только кровь из сердца. Взятый материал растирали в ступке с последующим добавлением фосфатно-буферного раствора (рН 7,2—7,3). После внесения в полученную суспензию антибиотиков ее отстаивали в холодильнике $(+4, +5^{\circ}C)$ в течение 24 час. В качестве вирусосодержащего материала использовали надосадочную жидкость, которую вводили интактным морским свинкам и белым мышам, а также вносили в культуры клеток почек молодых крольчат и эмбрионов свиней. Из каждой пробы исследуемого материала заражали 2 морских свинок интраплантарно, 3 мышат—подкожно и 4 пробирки культуры клеток. Наблюдение за животными и культурой клеток вели в течение 5—6 суток.

Результаты исследований. По описанной в методической части схетие проведено 8 опытов, результаты которых приведены в таблице 1.

Из таблицы видно, что в 8 опытах использовано 64 больных ящуром животных. Из них 60 белых мышат и 4 морские свинки. На этих животных инфицировано естественным путем (накормлено) 401 половозрелый клещ. В дальнейшем 303 из них были подсажены к 16 воспримчивым к ящуру животным. При этом к 12 морским свинкам подсажены 273 клеща, а к 4 белым мышам—30 клещей. Исследование материала, взятого от всех подопытных животных, к которым были подсажены инфицированные вирусом ящура половозрелые клещи, не дало положительных результатов.

Одновременно с целью изучения трансовариальной и трансфазовой передачи вируса ящура из числа естественно зараженных клещей 60 самок и 22 самца поместили в термостат при температуре 24°С. Через 7—10 дней самки откладывали яйца, а через 20—32 дня вылупились личинки. Яйца и личинки исследовались в отдельности на предмет обнаружения вируса по описанной методике. Однако и в этих случаях не было получено положительных результатов.

В трех сериях опытов, в экспериментальных условиях, установлено, что после искусственного заражения вирус ящура в гемолимфе клещей переживает в течение 32 дней, а после естественного заражения, когда в результате кормления клещей на больных животных вирус попадает в кишечный тракт их, срок переживания вируса удлиняется более чем вдвое (74 дня срок наблюдения). Следовательно, кишечный тракт дан-

Таблица Инфицирование вирусом ящура половозрелых клещей О. lahorensis и подсадка их на восприимчивых лабораторных животных

	ных вир лаборато	во заражен- усом ящура оных живот-	имчивых и накормл	взятого от животных, на котор						
		кормленных х клещей	ни х инфи ных кл		кровь	•	кожа с подкож- ной клетчаткой			
	морская свинка	белая мышь	морская свынка	белая м ышь	морская свинка	белая мышь	культуры клеток	морская с в инка	белая мышь	культуры клеток
		+4/28 ++		2/16 .	_	_	-	_	l —	_
`) :		6/24	_	2/14			_	_	_	_
	· _	10/56	2/42			_	<u> </u>	_	_	_
i	-	12/64	2/49			_	_	_		_
		8/48	2/38			_	_	_	_	
	l –	10/ 6 3	2/55	_	`			_		_
:	-	10/62	2/47		_	_		_	_	-
	4/56	_	2/42				_			-
Итого	4/56	60/345	12/273	4/30						

Обозна ч'є ни я: + числителем указано количество опытных животных. ++ знаменателем количество накормленных клещей.

ного вида клеща, по сравнению с гемолимфой, является более благо-приятной для существования ящурного вируса средой. С другой стороны, согласно нашим данным, кишечная стенка является своеобразным барьером, препятствующим проникновению вируса из кишечного содержимого в гемолимфу клеща. Это подтверждается тем, что, несмотря на 68-дневное нахождение вируса ящура в кишечном тракте, нам не удалось обнаружить его в гемолимфе клещей [2].

Отрицательные результаты опытов по изучению передачи инфицированными клещами вируса ящура восприимчивым животным при кровососании можно объяснить биологическими особенностями данного вида клеща, исключающими возможность передачи вируса при этом. Кроме того, полученные результаты говорят о том, что половозрелые клещи О. lahorensis, способные насасывать у своих больных ящуром теплокровных хозяев значительное количество инфицированной крови и длительное время сохранять в своем кишечнике вирулентного возбудителя, могут стать источником инфицирования окружающих животных и предметов в случае их механического раздавливания. Поэтому в борьбе с ящуром сельскохозяйственных животных важно учитывать также противоклещевые мероприятия.

На основании полученных экспериментальных данных можно сделать следующие выводы:

Биологический журнал Армении, XXIII, № 2—5

Инфицированные половозрелые клещи О. lahorensis в условиях эксперимента при кровососании не передают вирус ящура восприимчивым лабораторным животным.

Инфицированные половозрелые клещи О. lahorensis в экспериментальных условиях не передают вирус ящура трансовариально и трансфазово.

Половозрелые клещи вида O. lahorensis способны в естественных условиях насасывать от больных ящуром животных вируссодержащую кровь, длительное время сохранять в своем кишечнике возбудителя и стать источником ящурной инфекции.

Научно-исследовательский институт животноводства и ветеринарии MCX АрмССР

Поступило 11.IX 1968 г.

Հ. Կ. ԲՈՅԱՋՅԱՆ, Ս. Ռ. ՓՈՍՏՈՅԱՆ, Ռ. Վ. ՄԱՆԱՍԵՐՅԱՆ

ORNITHODORUS LAHORENSIS NEUM. 1908 ՏԶԵՐԻ ԴԵՐԸ ԴԱԲԱՂԻ ՎԻՐՈՒՍԻ ՊԱՀՊԱՆՄԱՆ ԵՎ ՀԻՎԱՆԴ ԿԵՆԴԱՆԻՆԵՐԻՑ ԱՌՈՂՋՆԵՐԻՆ ՓՈԽԱՆՑՄԱՆ ԳՈՐԾՈՒՄ

Ամփոփում

- 1. Փորձնական պայմաններում դաբաղի վիրուսով վարակված O. lahorensis սեռահասուն ազերը վիրուսը չեն փոխանցում լաբորատոր զգայունակ կենդանիներին, վերջիններիս վրա նրանց սնելիս։
- 2. Փորձնական պայմաններում դաբաղի վիրուսով վարակված O. lahorensis տղերը վիրուսը չեն փոխանցում տրանսօվարիալ և տրանսֆազային կերպով։
- 3. Բնական պայմաններում O. lahorensis տիղն ընդունակ է դաբաղով հիվանդ կենդանիներից ծծելու վիրուս պարունակող արյունը, երկար ժամանակ այն պահպանելու իր աղիներում և հանդիսանալու տվյալ հիվանդության աղբյուր։

ЛИТЕРАТУРА

- 1. Бояджян Г. К. и Постоян С. Р. Изв. АН АрмССР, серия биолог., 8, 1964.
- 2. Бояджян Г. К. и Постоян С. Р. Изв. АН АрмССР, серия биолог., 7, 1965.
- 3. Денин Л. Н. и др. Сельское хозяйство за рубежом. Животноводство, 10, 1962.
- 4. Джупина С. И. Ветеринария, 10, 1962.
- 5. Лукин А. М. Ветеринария, 11, 1963.
- 6. Онуфриев В. П. и Иковатая Г. М. Тр. НИВИ, том I, Таджикгосиздат, Душанбе, 1963.

T. XXIII, № 2, 1970

УДК 582.28

М. В. БОХЯН

ОБЗОР ВОЗБУДИТЕЛЕЙ СЕПТОРИОЗОВ ОВСА И ЯЧМЕНЯ В СОВЕТСКОМ СОЮЗЕ

Целью нашей работы было установление видового состава и выяснение распространения Septoria на овсе и ячмене в пределах СССР. В основу ее положен весь просмотренный нами материал по видам Septoria, в гербариях Отдела низших растений Ботанического института им. В. Л. Комарова АН СССР (БИН), Лаборатории микологии им. А. А. Ячевского Всесоюзного института защиты растений (ВИЗР), а также в микологических гербариях кафедры низших растений Ереванского государственного университета и Института ботаники АН АрмССР.

Изучались также материалы видов Septoria на овсе и ячмене, присланные нам по просьбе кафедры низших растений из разных ботанических институтов и других научных учреждений нашей страны. Кроме того, была просмотрена вся литература по интересующим нас видам. географический каталог ВИЗР, и на основе всего просмотренного материала составлены оригинальные дополненные описания означенных видов, которые приводятся ниже: вначале виды, встречающиеся только на овсе, затем—только на ячмене и в конце—виды, поражающие как Avena, так и Hordeum.

Виды Septoria, встречающиеся только на Avena.

1. Septoria affinis Sacc., Mich. I, 1879, 197; [28]; III, стр. 563, [19], стр. 763; [22], стр. 425; [12], стр. 36.

Пятна линейные, располагающиеся по длине листовой пластинки, после высыхания беловатые, с красным ободком. Пикниды расположены на обеих сторонах листа, в основном на верхней, приплюснутые, чечевицеобразные, с довольно широким отверстием. Конидии палочковидные, прямые или несколько изогнутые, $25-30\times1,8-2,5$ мк, с обоих конлов притупленные, с 4-5 перегородками, без перетяжек, сначала беспветные, затем слабо-желто-зеленоватые.

На Avena sativa L.—Белорусская ССР [12].

В СССР этот вид септории, по гербарным и литературным материалам, отмечается также на видах Agropyrum, Brachypodium, Bromus.

2. Septoria avenae Frank, in Ber. Deutsch. bot. Ges., 1895, 64; [28], XI, crp. 547; [19], crp. 738; [22], crp. 426; [12], crp. 63.

Пятна многочисленные, округлые или овальные, одиночные и сливающиеся, бледно-коричневые, с буроватой каймой. Пикниды с верхней стороны, разбросанные, иногда в рядах, шаровидные и шаровидно-эллипсоидальные, $96-135\times141-180$ мк, открывающиеся округлым, слабоприподнятым устьицем, окруженным болеетемными клетками. Оболочка пикнид бурая, стенки состоят из 1-3 слоев псевдопаренхиматических клеток. Конидии цилиндрические, несколько булавовидные, прямые или веретеновидно-изогнутые, бесцветные или зеленоватые, в основном с 3, иногда 4-5, очень редко с 7 перегородками, крепко сцепленные, выходят лентой, один конец несколько толще другого, с тупозакругленными концами, $20-45\times3-3,9$ мк.

Ha Avena sativa L.

Ленинградская (Хохряков, из Герб ВИЗР), Воронежская (Бондарцев и Лебедева, [1], Лебедева, из Герб. Бин), Курская (Дорогин, из Герб. ВИЗР), Уфимская (Каракулин и Лобик, [6], Каракулин, из Герб. Бин), Тульская (Наумов, из Герб. ВИЗР) области; Кабардино-Балкарская АССР (Шумакова, из Герб. ВИЗР); Ставропольский край (Нагорный, [11]), Красноярский край (Ячевский, из Герб. ВИЗР), Латвийская (Смародс, [15]), Литовская (Брундза, [2]), Эстонская (Марланд, [10]), Белорусская [12]; Украинская (Пидопличко, Гродзинский, из Герб. ВИЗР), Армянская (Тетеревникова-Бабаян, [16]) ССР.

Septoria avenae Frank была найдена Франком на овсе и описана в 1895 году. Спрейг [29, 30] тот же вид отмечал в США на видах Glyceria, Trisetum, Melica, Agrostis u Phalaris, Bedep [34, 35], Haodopor, опытами установил, что S. avenae с овса переходит только на овес. Он инокулировал ряд растений S. avenae, но только у Avena barbata, brevis, fatua, strigosa, sativa и sterilis достигал инфекции. Процентный состав инфицированных растений колебался; Avena fatua и A. strigosa инфицировались только в немногих случаях, что подтвердилось и в опытах Шоу [20]. В дальнейшем тот же автор установил, что из изученных им моноспоровых культур S. avenae имеются штаммы, вызывающие слабое поражение пшеницы и следы инфекции на ячмене. Он считает их формами, приспособившимися к пшенице. Сумчатая стадия S. avenae экспериментально получена Вебером в чистой культуре и названа им Leptosphaeria avenaria Web. Перитеции шаровидные, 60-130 мк в диам., с округлым отверстием, 12-20 мк ширины, сумки узкобулавовидные, 30—100×10—18 мк, с 8 спорами, веретеновидные, прямые или изогнутые, на концах притупленные с обычно вздутым вторым сегментом от вершины, 23—28×4,5—6 мк, от светло-желтых до оливковых, с 3 перегородками. Биология гриба более подробно была изучена Хёффманом [23]. Им установлено, что мицелий перезимовывает на стерне овса. В начале апреля на перезимовавших частях появляются сначала микропикниды с микроконидиями, обуславливающими первичную инфекцию посевов весной. Через 2 недели после заражения на нижних листьях овса развивается пятнистость, которая поэже переходит и на другие органы растений. На этих пятнах образуются уже более крупные пикниды с конидиями нормальных размеров, распространяющимися дождем и росой. В конце июня на перезимовавшей стерне происходит

освобождение аскоспор из перитециев Leptosphaeria avenaria. Шоу изучал условия образования микро- и макропикнид S. avenae и установил, что микропикниды образуются при низких температурах (5—13°), а макропикниды и перитеции с аскоспорами при 21—22°. Лунд и Шандс [26] установили, что развитию заболевания сеянцев овса весною благоприятствует высокая влажность и что среди испытанных в опытах температур [16, 20, 24 и 28] для S. avenae оптимальной является 24°. Те же авторы показали, что инфекция передается из года в год естественнозараженными семенами.

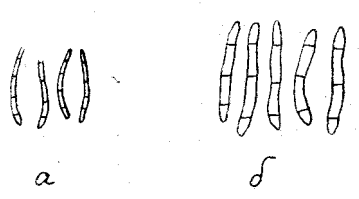


Рис. 1. Конидии видов Septoria на Avena: a) Septoria affinis Sacc., ($\times 500$); 6) S. avenae Frank. ($\times 500$).

Septoria avenae наносит вред, заражая, кроме листьев, также и влагалища, стебли, метелки.

Виды Septoria, встречающиеся только на Hordeum.

3. Septoria briosiana Mor., Jiorn., Bot. Ital., 1885, 39; [28], X, tcrp. 386; [19], crp. 870; [12], crp. 221.

Syn. S. secalina (Janz) Sacc., [28], XI, crp. 546, S. crystati Hollos• (Sacc.), [28], XXII, crp. 1121.

Пятна на листьях черноватые, расплывчатые. Пикниды на верхней стороне листьев, маленькие, приплюснуто-шаровидные, выступающие, 81—96 мк в диаметре. Конидии очень тонкие, мелкие, нитевидные, более или менее изогнутые, одноклеточные, бесцветные, 9—11×0,5—0,75 мк.

На Hordeum distichum L.—Украинская ССР (Горщарук, из Герб. ВИЗР).

Вид S. secalina, описанный в Польше Янчевским [24] идентичен с S. briosiana. Саккардо [28], XI, стр. 546 также подчеркивает большое сходство между этими видами. S. cristati Hollos по всем признакам также совпадает с S. briosiana.

S. briosiana в основном поражает пшеницу [17], по гербарным материалам и литературным данным, указана также на Agropyrum, Agrosts, Secale.

Часто конидии типа S. briosiana находятся совместно с таковыми S. tritici Rob. et Desm. На одних и тех же пятнах и даже в одних и тех же пикнидах. Франдсен [21], а также Грове [22] предполагают, что данный вид, возможно, является микроконидиальной стадией S. tritici. Однако, поскольку экспериментальных данных по этому поводу не имеется, следует оставить этот вид как самостоятельный до накопления новых сведений.

4. Septoria elymi-europaei Jaap., Beitr. Pilzfl. d. Schw. in Ann. Myc. V, 265; [28], XXII, crp. 1120.

Пятна желтоватые, потом бурые. Пикниды в длинных рядах, мелкие. Конидии нитевидные, с перегородками, $70 \times 2 - 3$ мк.

На Hordeum europeum All. Fl. = Cuviera (L.) Koeler. — Белорусская ССР [11].

5. Septoria hordei Jacz., [18], стр. 104.

Пятна продолговатые или неопределенной формы, желтовато-серые или черновато-серые, иногда покрывающие почти весь лист. Пикниды оливково-коричневатые, приплюснуто-шаровидные, погруженные, разбросанные группами на светлых участках пятен с 2-х сторон листа, з основном на верхней, с маленьким округлым устьицем, $135-195\times105-145$ мк. Конидии светло-зеленые, толстые, палочковидные, прямые или слегка изогнутые, с закругленными концами и зернистым содержимым, с 1-3, иногда 5 поперечными перегородками, $25-35\times3-3,5$ мк.

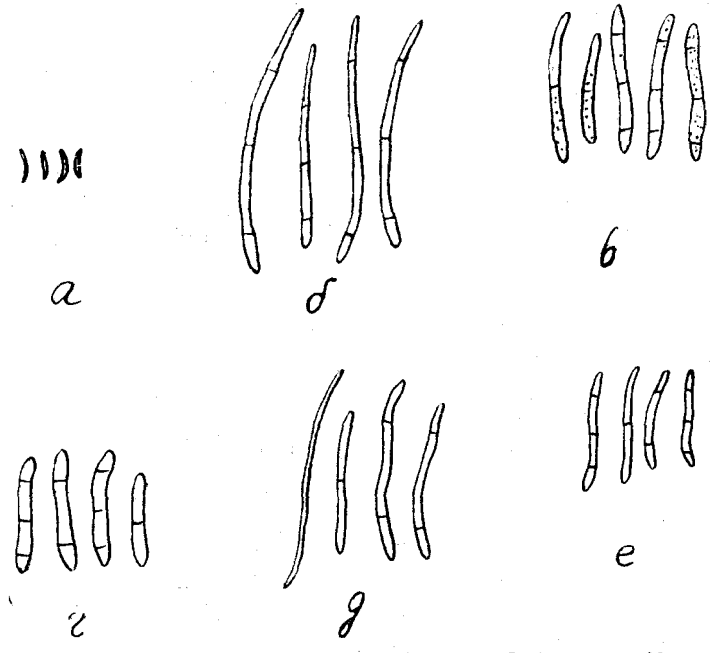


Рис. 2. Конидии видов Septoria на Hordeum: a) S. briosiana Mor., (\times 500), 6) S. elymi-europaei Jaap., (\times 500), в) S. hordei Jacz (\times 500); г) S nodorum Berk., (\times 500); д) S. passerinii Sacc., (\times 500); e) S. passerinii Sacc. var santonensis Brun. (\times 500).

На Hordeum distichum L.—Северо-Двинская обл. (Ротерс, из Герб. ВИЗР); Латвийская (Смародс, [15]); Белорусская ССР [12]; на Hordeum leporinum L.—Туркменская ССР (Кошкелова, [7]); на Hordeum secalinum Schreb.—Омская обл. (Макарова, из Герб. ВИЗР); Алтайский край (Мурашкинский, из Герб. ВИЗР); на Hordeum vulgare L.—Ленинградская (Хохряков, из Герб. ВИЗР); Новгородская (Демидова, [4]), Томская обл. (Лавров, [8]); Белорусская, [12]); Украинская ССР (Пидопличко, [14]).

6. Septoria nodorum Berk. Gard. Chron. 1845, 60; [28], III, crp. 561; [22], crp. 422.

Syn. Sept. glumarum Pass. (Fung. Parm. Sept. 147); Phoma Hennebergii Kühn, (Hedwig., 1887, 121); S. triticicola Lobik. [9], crp. 28.

Пятна на листьях, колосковых чешуйках и узлах, продолговатоокруглые, желтовато-серые с темным ободком; часто ясные пятна вообще отсутствуют. Пикниды на обеих сторонах листа, на узлах и чешуйках, коричневые, иногда собранные в правильные ряды или рассянные,
шаровидные или шаровидно-эллипсоидальные, 70—200 мк, с округлым
или овальным отверстием диаметром 20—40 мк; стенки пикнид из светло-коричневой, ясноклеточной паренхиматической ткани, вокруг устыца
клетки темнее и мельче. Конидии зеленоватые, толстые, цилиндрические,
прямые или слабоизогнутые, с тупозакругленными концами, некоторые
несколько расширяющиеся к середине, другие—только к одному концу,
сначала без перегородок, в зрелом состоянии с 1—3 перегородками, размером 15—35×2,5—3,5 мк.

На Hordeum sp.—Воронежская обл. (Лебедева, из Герб. БИН); на Hordeum vulgare L.—Воронежская (Бондарцев и Лебедева, [1]), Томская обл. (Лавров, [8]).

Сюда вошел также вид Septoria glumarum, который числится и находится отдельно от S. поdогит в гербарии БИН АН СССР и ВИЗР. Поскольку оба вида совершенно идентичны, название S. glumarum Pass. следует употреблять только как синоним; Беркли была описана S. поdогит в 1845 г., а лишь в 1879 г. тождественный вид был описан Пассерини под названием S. glumarum.

7. Septoria passerinii Sacc., [28], III, crp. 560; [19], crp. 794. Syn. Septoria murina Pass., in Atti Soc. critt. ital. 11, p. 46.

Пятна неопределенной формы, желтовато-коричневые. Пикниды шаровидно-эллипсоидальные, коричневато-черные, шаровидные или гладкие, расположены линейными рядами или рассеяны точковидно на нижней поверхности листа под эпидермисом, диаметр пикнид 80-150 мк; стенки пикнид с псевдопаренхиматической тканью, состоящей из 1—3 слоев клеток, устьице от овального до эллиптического, расположенное под щелевидным отверстием листа. Конидии цилиндрические, прямые или слегка изогнутые, светло-зеленые, на концах закругленные (один конец несколько сужен), со многими каплями масла, с 1-2-3, большей частью с 3-мя перегородками, которые отчетливо видны при окрашивании йодом. Часто ошибочно каждая перегородка принимается за каплю масла (описание Калымбетова, [5]). Конидии из пикнид выходят длинными извивающимися нитями, $23-60 \times 1,7-2,7$ мк. По Пассерини, размер конидий $30-45\times2$ мк; по Саккардо, $40-60\times2-2.5$ мк; по Веберу, $23-46\times1,7-3$ мк, в среднем $34\times2,3$ мк. (цитировано по Франдсену [21]). По Брундза [2], длина конидий 16—30 мк. Очевидно. описанную Брундза септорию с короткими спорами следует отнести к S. passerinii Sacc. var santonensis P.

На Hordeum bulbosum L.— Казахская ССР (Головин, из Герб. БИН); на Hordeum distichum L.— Белорусская ССР [12]; на Hordeum leporinum L.— Туркменская ССР (Корбонская, сообщение в письме);

на Hordeum murinum L. — Туркменская ССР (Калымбетов, [5], Краснодарский край (Лебедева, из Герб. ВИЗР); на Hordeum vulgare L. — Воронежская обл. (Бондарцев. из Герб. БИН); Белорусская ССР [12].

Этот гриб был описан Пассерини в 1879 г. на листьях Hordeum тигіпит под названием S. murina passerinii. Однако, последнее название почти одновременно применил Тюмен [33] к септории на Iris faetidissima в Португалии. По мнению Саккардо [28], приоритет принадлежит последнему описанию, он переименовал в 1884 г. гриб Пассерини в S. passerinii Sacc.

Во Франции была найдена на подобном растении хозяине форма с короткими спорами, которая описана под названием S. murina Pass. f.

santonensis P. Brun [28], XIV, crp. 980.

8. Septoria passerinii var. santonensis Brun., in Bull. Soc. Sc. nat de l'Oeust de la Fr. 1894, 37; [28], XIV, crp. 980; Pass., in N. Giorn bot. ital. IX (1877), 250; [19], crp. 794.

Пятна неясные, без всякой каймы, расположенные у основания листа. Отличается эта септория особенно маленькими размерами пикнид и конидий. Конидии цилиндрические, бесцветные, на обоих концах притупленные, с перегородками или каплями масла, прямые или слегка изогнутые. Размер конидий по Брундза [2] 16—30 мк, по Траншелю и Купревичу [12],—20—22×2 мк.

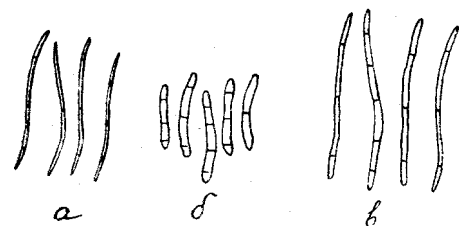


Рис. 3. Конидии видов Septoria на Avena и Hordeum: a) S. graminum Desm., (×500); б) S. secalis Prill et Delacz., (×500); в) S. fritici Rob. et Desm. (×500).

На Hordeum leporinum Link.— Белорусская ССР [12]; на Hordeum murinum L.— Литовская ССР (Брундза, [2]).

Виды Septoria, встречающиеся на Avena и Hordeum.

9. Septoria graminum Desm., Ann. Sci, Nat. 1843, 19, 339, Cooke, Hadb. p. 445, [28], III, 565; [19], стр. 789; [12], стр. 23.

Пятна между жилками, удлиненные, продолговатые, буровато-серые, с темно-коричневой каймой, позже весь лист коричневатый, в середине на светлых пятнышках в виде темно-коричневых точек находятся пикниды, 60—160 мк в диаметре. Пикниды мелкие, группами или рядами расположены на верхней или нижней стороне листа, погруженные, шаровидные или шаровидно-эллипсоидальные, светло-коричневые или желтоватые, с широко открытым круглым или овальным устьицем диаметром 24—48 мк. Конидии нитевидные или цилиндрические, светло-зеленоватые или почти бесцветные, прямые или слабоизогнутые, одноклет-

ные или с неясными перегородками (1—3), лучше заметными при окрашивании йодом, иногда—со многими каплями масла, заостренные на одном конце, закругленные—на другом, 30—80×1,8—2,1 мк. Размеры пикнид и конидий сильно варьируют в различных гербарных образцах.

На Avena sativa L.— Белорусская ССР [12]; на Hordeum distichum L.— Кировская обл. (Хохряков, из Герб. ВИЗР); на Hordeum distichum var. nutans—Армянская ССР (Тетеревникова-Бабаян, [16]; на Hordeum vulgare L.— Узбекская ССР (Поспелов, из Герб. ВИЗР).

Этот вид встречается почти на всех злаках, распространенных в пределах ССР. По данным Спрейга [32], S. graminum не является спорным видом и не переходит на Triticum sp., Avena sp., Secale sp. Однако исследования Грове [22], показали, что S. graminum поражает Brachypodium silvaticum (Huds) R. A., Triticum, Hordeum, Avena, Bromus и Роа sp. Манжен [27] понимает S. graminum очень широко, включая в этот вид вообще все формы Septoria, встречающиеся на всех злаках.

10. Septoria secalis Prill et Del., In Bull. Soc. Mycol. de Franc. 1889, 125; [28], X, crp. 386; [18], crp. 769.

Пятна невнятные, неопределенной формы, желтовато-бурые. Пикниды черные, погруженные, группами разбросаны по всей поверхности листа, шаровидно-эллипсоидальные, с устьицем диаметром 20 мк и ясноклеточной тканью, клетки многоугольные, околоустьичное расстояние более темноокрашенное. Размер пикнид 90—130 мк. Конидии бесцветные или светло-зеленые, прямые или изогнутые, с обоих концов притупленные (некоторые утолщены на одном конце), в ссновном с 1—3, иногда с 4 поперечными перегородками, 24—45×2,5—3,3 мк.

На Aveva sativa L.— Томская обл.— Лавров [8].

Ha Hordeum vulgare L.— Горьковскаь обл. (Мурашкинский, из Герб. ВИЗР).

По литературным материалам и гербарным образцам, S. secalis поражает в основном Secale cereale, переходит также и на Agrostis alba L. Иорстад [25] считал, что S. secalis по морфологическим признакам близка к S. phyllachoroldes и, возможно, ей идентична, она похожа также на S. passerinii, но конидии ее несколько шире.

11. Sertoria tritici Rob. et Desm. Ann. Sci. Nat., 1942, XVII, 17; [28], III, crp. 561; [19], crp. 870.

Syn. S. graminum Desm. var. tritici Desm. (Am. Sci, Nat., 1843, ser. 2, 19); S. cerealis Pass. (Thüm. Herb. Myc. Occ., № 602).

Пятна на обеих сторонах листьев линейные или продолговатые, желтовато-коричневые, ржаво-бурые или зеленовато-бурые, иногда белеющие в центре, с желтой или темной каймой, нередко сливающиеся. Пикниды расположены группами или параллельными рядами вдоль жилок на обеих сторонах листа, под эпидермисом в подустычных камерах, светло-коричневые или желтые, бурые или даже черные, шаровидносплюснутые или эллипсоидальные, стенки их из псевдопаренхиматической ткани, состоят из 2—3 слоев клеток, 70—220 мк. Устьице круглое

или овальное, $30-40\times15-18$ мк. Конидии нитевидные или цилиндрические, прямые или изогнутые, почти бесцветные или зеленоватые, некоторые со многими каплями масла, с закругленными, иногда заостренными концами, иногда выходят нитями мясного цвета, с 3-4, реже 5 перегородками или без них, $36-79\times2,5-3,5$ мк.

На Avena sativa L.— Ставропольский край (Воронов, [3]).

На Hordeum vulgare L. (Лобик, из Герб. БИН).

В литературе нет никаких данных о поражаемости овса за исключением работы Ю. Воронова [3], в которой, однако, нет диагноза данного вида. Спрейг [29] указывал на сильную поражаемость овса грибом, очень сходным с данным. Он дает следующее описание его: пикниды от 60—145 мк в диаметре, конидии бесцветные, с 1—7 перегородками, гифы в ткани питающего растения желтоватые или оливково-коричневые. Имеет сумчатую стадию Leptosphaeria tritici Pass.

О поражаемости видов Hordeum этой септорией в СССР также нет никаких данных, за исключением сведений Лобика (Герб. БИН).

Вид Septoria tritici, по гербарным материалам и литературным данным, широко распространен в пределах СССР и поражает многие злаки, в частности Triticum, Secale, Agropyrum, Dactylis, Brachypodium, Poa, Festuca.

Спрейгом [31] на Avena описана специальная форма Septoria tritici f. avenae (Desm.), которая отличается от S. tritici Rob. et Desm. на пшенице несколько более тонкими и более извилистыми спорами со средним размером $65-80\times2,1-2,3$ мк. В СССР о нахождении этой формы сведений не имеется.

На основании приведенного материала можно сделать следующие заключения.

Изучение многочисленных гербарных образцов и литературных данных по видам Septoria на представителях Avena и Hordeum в СССР показало, что общее количество видов, встречающихся на обоих этих родах равно 11, из коих два—только на Avena, шесть—только на Hordeum, а три вида встречаются на том и другом родах.

Наиболее распространенными и вредоносными на овсе и ячмене видами в СССР являются S. avenae Frank., S. graminum Desm., S. hordei Jacz., S. nodorum Berk., S. passerinii Sacc., S. tritici Rob. et Desm.

Остальные виды встречаются реже. Такие виды, как S. briosiana Mor., S. elymi-europaei Jaap., S. passerinii var. santonensis Brun., отмечены в единичных случаях.

Ереванский государственный университет, кафедра низших растений

Поступило 7.VI 1969 г.

Մ, Վ, ԲՈԽՑԱՆ

ԱԿՆԱՐԿ ՍՈՎԵՏԱԿԱՆ ՄԻՈՒԹՅՈՒՆՈՒՄ ՎԱՐՍԱԿԻ ԵՎ ԳԱՐՈՒ ՍԵՊՏՈՐԻՈԶՆԵՐԻ ՀԱՐՈՒՑԻՉՆԵՐԻ

Ամփոփում

Սովետական Միության բաղմաթիվ վայրերից հավաքված վարսակի ու դարու վարակված բույսերի հերբարիումային հարյուրավոր նմուշների ուսում-նասիրությունները, ինչպես նաև գրական աղբյուրների քննարկումը ցույց տվեցին, որ Սովետական Միությունում Avena և Hordeum տեսակների վրա տարածված են Septoria ցեղի 11 ներկայացուցիչներ, որոնցից միայն գարու վրա՝ 2, իսկ վարսակի վրա՝ 6 ներկայացուցիչներ։

Septoria ցեղի 3 ներկայացուցիչներ տարածված են ինչպես դարու, այնպես էլ վարսակի վրա։

Սովետական Միությունում առավել տարածված և վնասակար են հետևյալ տեսակները՝ Septoria avenae Frank., S. graminum Desm., S. hordei Jacz., S. nodorum Berk., S. passerinii Sacc., S. tritici Rob. et Desm. Այնպիսի տեսակներ, ինչպիսիք են՝ S. briosiana Mor., S. elimi-europaei Jaap., S. passerinii var. santonensis Brun., տարածված են եղակիորեն։

ЛИТЕРАТУРА

- 1. Бондарцев А. С. и Лебедева Л. А. Материалы по микологическому обследованию России, вып. 1, 1914.
- 2. Брундза К. Паразитные грибы культивируемых растений Литовской ССР АН Лит. ССР, Ин-т бот., Вильнюс, 1961.
- 3. Воронов Ю. Н. Свод сведений о микофлоре Кавказа, вып. 1, Тифлис, 1915.
- 4. Демидова 3. Материалы по микологии и фитопатологии, V, в. II, 1926.
- 5. Қалымбетов Б. К. Микофлора юго-западной Туркмении. Спор. раст., в. II, 1956.
- 6. Каракулин Б. П., Лобик А. И. К микофлоре Уфимской губернии. Мат. по мик. обсл. России, в. 2, 1915.
- 7. Кошкелова Е. Н. Материалы к микофлоре Туркмении, Ашхабад, 1959.
- 8. Лавров Н. Н. Флора грибов и слизевиков Сибири. Тр. Томского ун-та, 104, сер. биол. наук, 169, 1948.
- 9. Лобик А. И. Болезни растений, т. 27, в. 3—4, 1928.
- Марланд А. Г. Ученые записки Тартусского Гос. университета, биол. науки, в. 4, 1948.
- Нагорный Н. М. Материалы к микологическому обследованию России, в. IV, 1917.
- Определитель паразитных грибов по питающим растениям флоры БССР под редакц.
 В. Г. Траншеля и В. Ф. Купревича, Минск, 1938.
- 13. Осипян Л. Л. Изв. АН АрмССР, серия биолог. наук, 7, 1961.
- Пидопличко Н. М. Определитель грибов-паразитов культурных растений (на укр. яз.), Киев, 1938.
- 15. Смародс Ю. П. Известия АН Латв. ССР, серия биол. наук, т. XIV, 10, 1961.
- Тетеревникова-Бабаян Д. Н. Обзор грибов из рода Septoria, паразитирующих на культурных и дикорастущих растениях. Ереван, 1962.

- Тетеревникова--Бабаян Д. Н. и Бохян М. В. Обзор возбудителей септориозов пшеницы в Советском Союзе. Биол. журнал Армении, т. ХХ, 10, 1967, изд. АН АрмССР, Ереван.
- 18. Ячевский А. А. Определитель грибов, т. II, 1917.
- 19. Allescher A. In Rabenhorst Kryptogamenflora von Deutschland, Oesterreich und der Schweiz, VI, Sphaeropsidales, Leipzig, 1901.
- Chaw D. E. Studies of Leptosphaeria avenaria f. sp. tritici, Canad. I. Bot., V, 35, 1, 1957.
- Frandsen N. O. Septoria Arten des Getreides und anderer Gräser in Dänemark. Kopenhagen, 1943.
- 22. Grove P. Britich stem and leaf fungi I. Sphaeropsidales. Cambridge, 1935.
- Hyffman M. D. Disease cycle of Septoria disease of oats Phytopath. v. 45, 5, 1955.
- 24. Janczewski E. Les perithèces du Cladosportum hepbarum. Bul. Intern. Acad. Sci. Cracowice, 271—273, 1893.
- 25. Jrstad I. Septoria and septorioid Fungi on Gramineae in Normay, Oslo, 1967.
- 26. Lund, Shand's H. L. Seedling infection of oats. caused by Sept. avenae. Phy. topath, v. 45, 1, 1956.
- Mangin L. Sur le Septoria graminum Desm., destructeur des feuilies du Ble Bull. Soc. Myc. France. XV, 1899.
- 28. Saccardo P. A. Sylloge fungorum omnium hucusque cognitorum. Pavia III 1884; X, 1892; XI, 1895; XIV, 1899; XXII, 1913.
- 29. Sprague R, A. Physiologic form of Sept. triticii on oats, Phytopath. v, 24, 2 1934.
- 30. Sprague R. A. The status of Septoria graminum, Mycologia, XXX, 6, 1938.
- 31. Sprague R. A. Diseases of cereals and Grasses in North America, 1950.
- 32. Sprague R. A. Mycologia, v. 49, 6, 1957.
- 33. Thümen F. Contributiones ad floram mycologicam lusitanicam, 1879.
- 34. We be r. Septoria diseases of wheat. Phytopath. v. XII, 1922.
- 35. Weber. Septoria diseases of cereals, Phytopath. v. XIII, 1923.

T. XXIII, № 2, 1970

УДК 616.631.11+616.379-008.64

г. с. аревшатян

СОСТОЯНИЕ СЛИЗИСТОЙ ДЕСЕН И ЯЗЫКА У ЖИВОТНЫХ ПРИ ЭКСПЕРИМЕНТАЛЬНОМ ДИАБЕТЕ

В последние годы стоматологи изучают кариес и другие заболевания зубочелюстной системы, отмечая связь их с теми или иными заболеваниями органов и систем. К числу таких заболеваний относится сахарный диабет у детей.

Так, Бугаева [2] после перерезки главного протока поджелудочной железы у собак в полости рта обнаружила краевую гиперемию десен, кровоточивость, гингивит и т. д.

Адлер [7] при применении гормональных препаратов в эксперименте на мышах получил остеопороз альвеолярного отростка с сильной задержкой остеобластической реакции, расширение капилляров и крово-излияния в периодонте и деснах.

Аналогичные изменения в полости рта обнаружили Коган-Ясный [3], Хавин [6], Аревшатян [1] и другие.

Экспериментальная модель влияния аллоксанового диабета на зубочелюстную систему у кроликов. Экспериментальные данные были получены на основании наблюдений над 30 опытными и 5 контрольными беспородными кроликами. По возможности подбирались животные одного возраста, удовлетворительного питания, весом 3—3,4 кг. Опытные и контрольные кролики содержались в лабораторных условиях на белково-углеводном рационе с неограниченным водным режимом и в просторных клетках. Сахарный диабет у подопытных животных вызывали внутривенными инъекциями свежеприготовленного 5% раствора аллоксана из расчета 150 мг на 1 кг живого веса.

Методически исследования велись по двум направлениям. Первое основывалось на биохимическом определении сахара в крови методом Хагедорна и Иенсена и морфологической оценке состояния поджелудочной железы и печени при аллоксановом диабете, что явилось основанием для его тестировки. Сахар в крови определялся перед опытом, через 3 дня после инъекции аллоксана, а далее через каждые 7 дней до конца срока наблюдения, который ограничивался 156 днями. Исследование проводили с раннего утра, натощак. Кровь бралась из краевой вены уха кролика в объеме 0,1—0,2 мл.

Второе направление заключалось в оценке тех изменений в полости рта, которые возникали на фоне аллоксанового диабета. Это достигалось визуальными наблюдениями, осмотром мацерированных челюстей и па-

томорфологическими исследованиями. К оценке вышеперечисленных методов мы приступили в момент, когда уровень сахара в крови достиг 300 мг% и более. Контрольные и опытные животные взвешивались параллельно перед началом исследований (исходный вес), на 20-ые сутки и в конце эксперимента. Взятый на 156 сутки материал (поджелудочная железа, печень, десна, язык, Гассеров узел, периферический отдел мандибулярного нерва) для патогистологического исследования, в зависимости от метода последующего окрашивания, фиксировался в нейтральном формалине, жидкости Карнуа, абсолютном спирте и соответствующим образом заливался в парафин. Часть материала, предназначенная для импрегнации по Бильшовскому-Гроссу, резалась на замораживающем микротоме. Парафиновые срезы толщиной 4—6 мк окрашивались гематоксилинэозином, пикрофуксином по Ван-Гизону, толуидиновым синим и по методу Шабадаша на гликоген.

Наиболее характерные препараты подвергались микрофотосъемке (цветной и черно-белой). Полученный цифровой материал обрабатывался статистическим методом, описанным Ойвиным [4] и методом определения достоверности ряда по Урбаху [5].

Десна верхней челюсти покрыта многослойным плоским эпителием, толщина которого неоднородна.

На свободной поверхности слизистой оболочки десны эпителиальный покров широк. Сосочковый слой местами глубоко проникает в эпителий. Ядра базального слоя гиперхромные. Шиповидный слой местами утолщен, а блестящий—повсеместно (рис. 1).

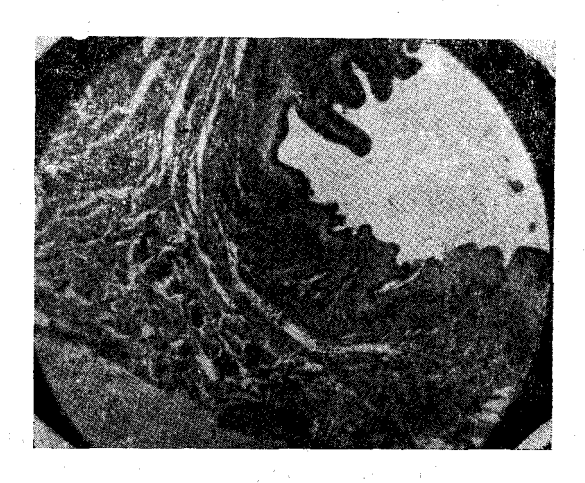


Рис. 1. Кролик 8. Забит через 156 дней после введения аллоксана. Десна. Выраженный блестящий слой многослойного плоского эпителия с явлениями ороговения. В подлежащей соединительной ткани клеточная реакция (окраска гематоксилин-эозином, \times 70).

Слизистая оболочка большей частью отечна, коллагеновые волокна набухшие, встречаются незначительные лимфогистиоцитарные скопления. Тучных клеток нет. Стенки сосудов утолщены, коллагеновые волокна гомогенизированы (рис. 2).

Склеротические изменения охватывают и более глубокие слои, приводя к атрофии поперечно-полосатых мышечных структур (рис. 3). При окраске толуидиновым синим неклеточные структуры соединительной ткани ортохроматичны. Лишь изредка встречаются очаги метахромазий межуточного основного вещества.

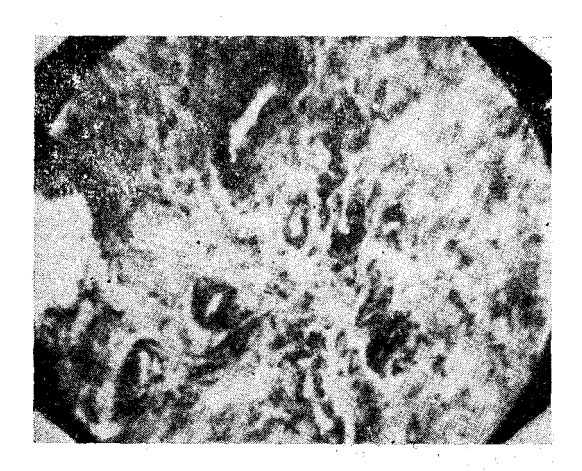


Рис. 2. Кролик 9. Забит через 156 дней после введения аллоксана. Десна. Стенки сосудов утолщены и гомогенизированы. (Окраска гематоксилин-эозином, $\times 200$).

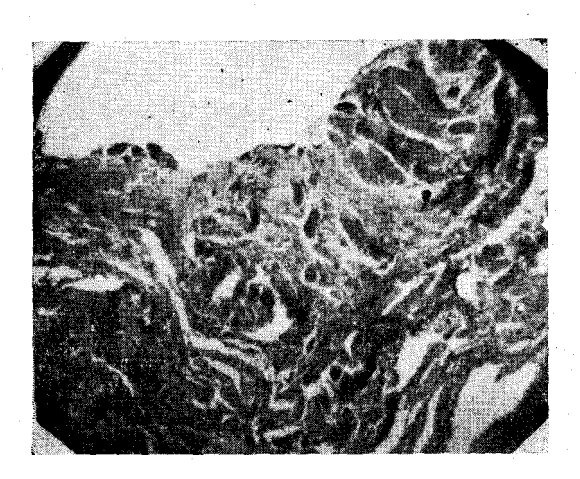


Рис. 3. Кролик 5. Забит через 156 дней после введения аллоксана. Десна. Разрастание соединительной ткани на месте атрофированных поперечно-полосатых мышечных волокон. (Окраска гематоксилин-эозином, ×70).

Эпителиальный же покров нижней десны резко истончен (рис. 4). Собственный слой слизистой оболочки резко утолщен и ослизнен (при этом отмечается интенсивная лейкоцитарно-гистоцитарная инфильтрация, а также очаги кровоизлияния). Коллагеновые пучки здесь разрыхлены.

При окраске толуидиновым синим отмечается слабовыраженная метахромазия межуточного основного вещества и волокнистых струк-

тур. При окраске пикрофуксином коллагеновые пучки слабо воспринимают фуксин и местами приобретают желтый цвет.

На 7-ые сутки на языке отмечается выраженная вакуолизация ядер росткового и прилегающего к нему шиповидного слоев эпителия. В подэпителиальной соединительной ткани указанные явления отсутствуют. Коллагеновые пучки имеют отчетливое фибриллярное строение.

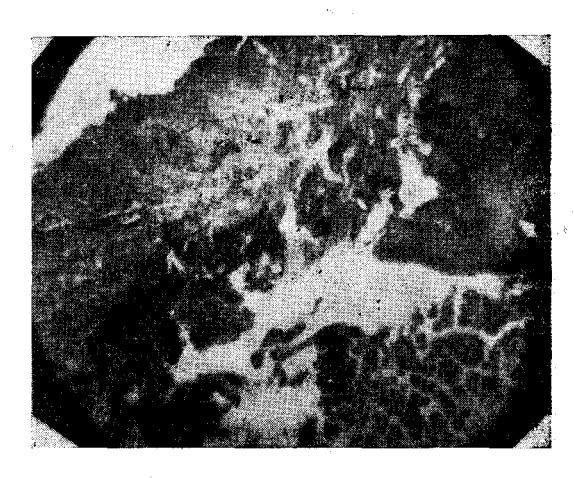


Рис. 4. Кролик 7. Забит через 156 дней после введения аллоксана. Десна. Истончение многослойного плоского эпителия в подлежащей соединительной ткани, умеренная клеточная реакция. (Окраска гематоксилин-эозином, $\times 70$).

Количество лимфоидных и гистиоцитарных элементов несколько увеличено и они преимущественно имеют периваскулярное расположение.

При окраске толуидиновым синим перинуклеарно в цитоплазме клеток базального и шиповидного слоев выявляется метахромазий.

В подэпителиальной соединительной ткани имеется очаговая метахромазия межуточного основного вещества и волокнистых структур. При окраске пикрофуксином коллагеновые пучки повсеместно фуксинофильны.

Через 14 дней вакуолизация ядер росткового слоя по степени выраженности такая же, как и через 7 дней после введения аллоксана.

Ядра соединительно-тканных клеточных элементов также в состоянии гидратации. Сосуды расширены и инфицированы эритроцитами.

При окраске толуидиновым синим в подэпителиальной соединительной ткани отмечается нежная диффузиая метахромазия межуточного основного вещества.

156 сутки в опыте характеризуются ярко выраженной отечностью соединительной ткани и застойными явлениями в сосудах. Встречаются также множественные точечные кровоизлияния. Местами наблюдается умеренно выраженный периваскулярный склероз. При окраске пикрофуксином коллагеновые волокна стенок сосудов местами окрашиваются в желтый цвет.

Выводы

- 1. Наблюдаемые морфологические изменения в полости рта, десен изманка характеризуются гидратацией и хроматолизом ядер эпителиальных и соединительнотканных клеток.
- 2. На фоне отека подэпителиальной соединительной ткани и клеточных инфильтратов наблюдаются склеротические изменения, затрагивающие и сосуды, и атрофия глубоколежащих тканевых структур.

Ереванский государственный медицинский институт

Поступило 19. ІХ 1969 г.

Հ. Ս. ԱՐԵՎՇԱՏՅԱՆ

ԼՆԴԵՐԻ ԵՎ ԼԵԶՎԻ ԼՈՐՁԱԹԱՂԱՆԹԻ ՎԻՃԱԿԸ ԿԵՆԴԱՆԻՆԵՐԻ ՄՈՏ ՓՈՐՁՆԱԿԱՆ ԴԻԱԲԵՏԻ ԺԱՄԱՆԱԿ

Ամփոփում

Վերջին տարիներում մեծ աշխատանքներ են կատարվում ինչպես կարիեսի, այնպես էլ դիմածնոտային հատվածներում նկատվող հիվանդությունների ուսումնասիրության ուղղությամբ, նշվում է նրանց կապը առանձին օրգանների և սիստեմների ախտաբանական փոփոխության հետ։

Մենք ուսումնասիրել ենք 30 փորձնական և 5 ստուգիչ Հագարներ, որոնց մոտ նախօրոք առաջացրել ենք ալոքսանային դիաբետ։

Լնդերի և լեզվի պաթո-հիստոլոգիական ուսումնասիրությունները կատարվել են փորձի տարբեր ժամկետներում։

Ուսումնասիրություններից պարզվել է, որ ինչպես լեզվի, այնպես էլ լընդերի կողմից նկատվում են մի շարք փոփոխություններ, որոնք արտահայտվում են էպիթելային և շարակցական հյուսվածքների բջիջների կորիզների հիդրատացիայով և խրոմատոլիզով։

Փոփոխություններ են նկատվում նաև անոթների կողմից, որոնք արտա-Հայտվում են վերջիններիս սկլերոցով։

ЛИТЕРАТУРА

- 1. Аревшатян Г. С. Состояние полости рта у детей при сахарном диабете. Дисс.: Ереван, 1970.
- 2. Бугаева М. Г. Научн. конф. по пробл. физиол. и патол. пищеварения, 1961.
- 3. Коган-Ясный В. И. Сахарная болезнь. Медгиз., 104, 1957.
- 4. Ойвин И. А. Патологическая физиология и экспериментальная терапия, 4, 76, 1960.
- 5. Убрах Ю. В. Биометрические методы, М., 1964.
- Хавин И. Б. Сахарный диабет. Руководство по клинической эндокринологии. Медгиз, 181, 1958.
- 7. Adler P. S. Endokrinologie und Paradontologia öst. s. stomat, 61, 1-20, 1964.

т. XXIII, № 2, 1970

КРАТКИЕ НАУЧНЫЕ СООБШЕНИЯ

УЛК 615.779.9

Л. Т. ДАНИЕЛОВА, Э. Г. ШАКАРЯН, Э. Н. СТЕПАНЯН

К МЕТОДИКЕ ОПРЕДЕЛЕНИЯ МИЦЕРИНА В ОРГАНАХ И ТКАНЯХ ЖИВОТНЫХ

Мы поставили перед собой задачу разработать методику, позволяющую выявить максимальное содержание антибиотика в тканях и жидкостях организма животного.

Нами было доказано [1, 2], что методами термогомогенизации и гидролиза в тканях и жидкостях организма стрептомицин, мономицин и мицерин выявляются больше, чем существующими методами.

В настоящей статье приводятся дополнительные материалы по определению мицерина в тканях и жидкостях организма при различных вариантах опытов.

Опыты были поставлены на кроликах, получавших мицерин в дозах 20 и 600 тыс. ед./кг. Концентрация мицерина определялась методом диффузии в агар. В качестве тест-культуры использовали споры Вас. subtilis 6633. Посевы инкубировали при температуре 26° и 37°С в течение 18 час. Из органов и тканей обычным методом готовились гомогенаты, причем часть пробы подвергалась предварительной термической обработке при температуре 100°С в течение 4 мин. Затем подвергшиеся и не подвергшиеся термической обработке гомогенаты центрифугировались при 5000 об/мин в течение 30 мин, после чего определялась концентрация мицерина в надосадочной жидкости. Часть жидкого материала подвергалась только термической обработке. Средние данные многочисленных опытов представлены в табл. 1, из которой видно, что при термической обработке в гомогенатах всех тканей и жидкостей мицерина выявляется больше, чем в гомогенатах, не подвергшихся термическому возлействию.

Кратность увеличения при 20 000 ед/кг колеблется 1,2—3,1 раза, при дозе 600 000 ед/кг—1,6—19 раз. В отдельных случаях обычным методом выявляются лишь следы мицерина, в то время как методом термогомогенизации обнаруживается больше (желчь—4,9 ед/г). В большинстве тканей и жидкостей мицерина выявляется примерно в 2—3 раза больше.

Интересно также, что не во всех тканях и жидкостях концентрация мицерина увеличивается пропорционально увеличению дозы препарата. Только в мышцах при увеличении дозы соответственно увеличивается

концентрация мицерина. В сыворотке увеличивается примерно в 10 раз, в почках, селезенке и стенках кишечника—в 3—5 раз. В остальных органах и тканях концентрация мицерина при 30-кратном увеличении дозы или не изменяется, или незначительно увеличивается. Этот факт указывает на различную адсорбционную способность различных органов и тканей к мицерину.

Таблица 1 Концентрация мономицина в различных объектах в зависимости от дозы антибиотиков и метода обработки гомогената (в ед/г)

	2	20000 ед/к	Γ	600000 ед/кг		
Объекты исследо ва ния	гомоге- нат обычный	термо- гомоге- нат	крат- ность увеличе- ния	гомоге- нат обычный	термо- гомоге- нат	крат- ность увелич е- ния
Мышцы Легкие Сердце Печень Селезенка Почки Лимф. узлы Сыворотка Плазма Желчь Язык Желудок Тонкая кишка	29,6 11,1 5,9 1,45 5,0 59,9 34,7 18,5 c.n. 5,5 6,8 1,7 3,3	36,0 21,0 18,3 3,85 10,0 111,6 44,1 40,1 4,9 11,6 10,2 5,1 6,1	1,2 1,9 3,1 2,6 2 1,8 - 1,2 2,1 - 2 1,5 3,0 1,8	716,4 10,6 7,5 0,93 7,7 291,6 1,2 306,0 — — 11,5 3,3 7,5	1185,6 60,0 19,0 17,7 31,4 480,0 7,6 470,4 — 24,1 16,0 19,0	1,6 5,6 2,5 19,0 4 1,6 6,3 1,5 — 2,1 4,6 2,5

Аналогичные исследования были проведены в отношении некоторых из тех же тканей и жидкостей после их 20-дневного хранения в холодильнике при минусовой температуре (табл. 2).

 $\begin{tabular}{lll} T аблица & 2 \\ Концентрация мицерина в тканях и жидкостях после \\ 202-дневного хранения (в ед/г-мл) \\ \end{tabular}$

Объекты исследо- вания	Концентрац	Кратность	
	гомогени- зация	термогомо-	увеличения
Мышцы Легкие Серлце Печень Почки Сыворотка Язык Желудок Тонкая кишка Толстая кишка	1,96 16,4 12,9 2,1 548,6 47,6 8,1 8,86 1,06 3,55	2,8 45,6 21,3 4,87 87,6 60,7 10,4 13,5 2,25 5,85	1,4 2,7 1,65 2,3 1,8 1,27 1,2 1,5 2,1

Из данных табл. 2 видно, что в тканях и жидкостях 20-дневного хранения мицерин при термогомогенизации выявляется также больше, чем

при обычном методе приготовления гомогената. Кратность увеличения незначительно ниже и колеблется в пределах 1,2—2,7 раза.

Далее нас интересовал вопрос зависимости концентрации мицерина в тканях и жидкостях от температуры инкубации (табл. 3).

Таблица 3 Концентрация мицерина в тканях и жидкостях в зависимости от температуры инкубации (ед/г—мл)

	37°C		26°C		Кратность увеличения при	
Объект исследования	гомоге- низа ц ия	термого- могени- зация	гомоге- низация	термого- могени- зация	37°C	2 6°C
Легкие Сердце Печень Почки Селезенка Сыворотка крови Мыщцы Желудок Гонкая кишка Голстая кишка	16,1 11,2 2,9 87,4 7,7 37,2 85,0 8,8 3,5 5,5	18,4 24,0 4,0 115,6 10,4 41,6 93,2 13,7 8,8 8,4	10,6 7,5 0,93 291,6 7,7 306,0 716,4 11,5 8,8 7,5	60,0 19,0 17,7 480.0 31,4 470,4 1185,6 24,1 8,6 19,0	1,14 1,6 1,3 1,3 1,34 1,1 1,1 1,5 1,34 1,5	6 2,5 1,9 1,6 4 1,5 1,67 2 1,26 2,5

Данные, приведенные в табл. 3, показывают, что концентрация мицерина при температуре 26°C превышает таковую при 37°C инкубации. В отдельных случаях в тканях (легкие, селезенка) при 26°C инкубации антибиотика в 3—5 раза больше, чем при температуре 37°C.

Таким образом, при термической обработке в тканях и жидкостях организма животного мицерина выявляется значительно больше (1,6—6,8). Методом термогомогенизации мицерин обнаруживается также в таких объектах, где обычные методы исследования дают отрицательные результаты.

Методом термогомогенизации мицерина выявляется также больше в тканях и жидкостях при различных сроках их хранения.

При определении концентрации мицерина более высокие показатели получаются при инкубации посевов при температуре 26°C.

Ереванский зооветеринарный институт

Поступило 30.111 1969 г.

լ. Թ. ԳԱՆԻԵԼՈՎԱ, Է. Գ. ՇԱՔԱՐՅԱՆ, Է. Ն. ՍՏԵ<mark>ՓԱՆՑԱՆ</mark>

ԿԵՆԴԱՆԻՆԵՐԻ ՕՐԳԱՆՆԵՐՈՒՄ ԵՎ ՀՅՈՒՍՎԱԾՔՆԵՐՈՒՄ ՄԻՑԵՐԻՆԻ ԿՈՆՑԵՆՏՐԱՑԻԱՅԻ ՈՐՈՇՄԱՆ ԵՂԱՆԱԿԻ ՇՈՒՐՋԸ

பூ பீ փ ո փ ո ւ մ

Մեր կողմից ապացուցված է, որ Թերմոհոմոգենիզացիայի և պեպսինի արցիայի եղանակներով օրգանիզմի օրգաններում և հյուսվածջներում ստրեպ-տոմիցին, մոնոմիցին և միցերին ավելի շատ է հայտնաբերվում, քան գոյու-Թյուն ունեցող եղանակով [1, 2]։

Միցերինի կոնցենտրացիան ճագարների օրգանիզմում որոշվել է Թերմո-Հոմոգենիզացիայի եղանակով, որի դեպքում Հյուսվածըներում և հեղուկներում միցերինը հայտնաբերվում է 1,6—6,8 անգամ ավելի, քան կիրառվող եղանակի դեպքում։

Թերմոհոմոգենիզացիայի եղանակով միցերինը հայտնաբերվում է նույնիսկ այն հյուսվածքներում և օրգաններում, որտեղ ընդունված եղանակով այն չի հայտնաբերվում։

ЛИТЕРАТУРА

- 1. Даниелова Л. Т. Ветеринария, 7, 1967.
- 2. Даниелова Л. Т., Севян Т. К. Антибиотики, 12, 1967.

т. XXIII, № 2, 1970

КРАТКИЕ НАУЧНЫЕ СООБЩЕНИЯ

УДК 612.11/12

Э. Р. ПАШИНЯН, И. Т. МИАНСАРЯН

НЕКОТОРЫЕ ПОКАЗАТЕЛИ ПЕРИФЕРИЧЕСКОЙ КРОВИ БЕСПОРОДНЫХ ЛАБОРАТОРНЫХ МЫШЕЙ

Изучение показателей периферической крови интактных беспородных мышей имеет несомненное значение, особенно если учесть, что в лабораторных условиях эти животные являются объектом самых разнообразных экспериментальных исследований, а имеющиеся в литературе немногочисленные данные касаются в основном линейных мышей [1, 2, 3, 4].

В настоящем сообщении мы приводим результаты проведенных нами исследований периферической крови интактных лабораторных мышей. Исследовалась кровь мышей обоего пола, приблизительно равных по весу и возрасту. Кровь забиралась обычным способом из хвостовой вены. Количество эритроцитов и уровень гемоглобина были исследованы в 32 случаях, количество лейкоцитов—в 73. Лейкоформула изучена у 107 мышей. Наряду с общепринятой паноптической окраской по Романовскому-Гимза мы применяли также несколько модифицированную нами окраску мазков по Штокингеру и Келлнеру. Последняя дает возможность отчетливо дифференцировать две морфологически различные группы лимфоцитов—фолликул-лимфоциты и синус-лимфоциты—отличающихся друг от друга по количеству и величине нуклеол и характеру цитоплазматического ободка, т. е. по содержанию РНК в клетке.

Все полученные данные обработаны статистически.

Показатели периферической крови мышей

Таблица

показателя перяферической крови мишей					
Анализ	крови		M <u>+</u> m	Диапазон колебаний	
Эритроциты			8125000±752009 14,7±0,4 12300±652,1 1,24±0,19 39,3±1,20 1,29±0,09 8,67±1,65 49,5±1,25 67,0±0,86 33,0±0,86	$ \begin{vmatrix} 4480000 - 11050000 \\ 10,5 - 18,0 \\ 2400 - 32400 \\ 0,5 - 17,0 \\ 12,5 - 74,0 \\ 0,5 - 5,5 \\ 2,0 - 35,5 \\ 5,0 - 75,0 \\ 50,0 - 80,0 \\ 20,5 - 50,0 \end{vmatrix} $	

Как видно из таблицы, уровень гемоглобина, количество эритроцитов и лейкоцитов и процентное содержание форменных элементов пери-

ферической крови исследованных животных колебались в довольно широких пределах.

Обнаружена нерезко выраженная полихроматофилия и анизоцитоз эритроцитов. Изредка в препаратах встречались мишеневидные эритроциты и полихроматофильные нормобласты.

Лейкоциты в паноптически окрашенных мазках характеризовались обычными морфологическими критериями. Можно отметить лишь несколько менее четкую зернистость нейтрофилов.

Базофилы наблюдались крайне редко (лишь в одном препарате— $0.5\,\%$), и поэтому мы не считали возможным включить их в таблицу.

В большинстве исследованных мазков среди форменных элементов крови преобладающим типом клеток были лимфоциты, в основном малой и средней генерации. В некоторых лимфоцитах обнаруживались единичные азурофильные гранулы. В трех препаратах найдены единичные фигуры амитоза лимфоцитов.

В некоторых препаратах отмечались плазматические клетки (1-2:200).

Модифицированная окраска по Штокингеру и Келлнеру, основанная на использовании в процессе окрашивания буферного раствора с рН, соответствующим рН РНК-содержащих элементов лимфоцитов (нуклеол и гранул РНК в цитоплазме), дала возможность, как уже указывалось выше, разграничивать фолликул-лимфоциты от синус-лимфоцитов. Первые характеризуются одной большой, обычно несколько эксцентрично расположенной нуклеолой, тогда как синус-лимфоциты имеют несколько мелких, менее ясно выраженных ядрышек и более интенсивный ободок цитоплазмы. Морфологическое различие, по-видимому, отражает наличие в периферической крови двух функционально различных популяций лимфоцитов. Проводимые нами в настоящее время исследования дают основание предполагать связь синус-лимфоцитопоэза с иммуногенезом в организме.

Институт кардиологии и сердечной хирургии
МЗ АрмССР

Поступило 21.1 1969 г.

է. Ռ. ՓԱՇԻՆՑԱՆ, Ի. Տ. ՄԻԱՆՍԱՐՅԱՆ

ՈՉ ՑԵՂԱՅԻՆ ԼԱԲՈՐԱՏՈՐ ՄԿՆԵՐԻ ՊԵՐԻՖԵՐԻԿ ԱՐՅԱՆ ՈՐՈՇ ՑՈՒՑԱՆԻՇՆԵՐ

Ամփոփում

Հոդվածում բերված են ինտակա լաբորատոր մկների պերիֆերիկ արյան ուսումնասիրությունների վիճակագրորեն մշակված արդյունջները։ Էրիթրո- ցիտների ջանակը և հեմոգլոբինի մակարդակը ուսումնասիրված են 32 դեպ- ջերում, լեյկոցիաներինը՝ 73։ Լեյկոֆորմուլան ուսումնասիրված է 107 մկների մոտ։ Քսուկները ներկվել են Ռոմանովսկու-Գիմզայի և Շտոկինդեր ու Կելների ձևափոխված մեթորներով. վերջինը հնարավորություն է տալիս տարբերելու

ֆոլիկուլ և սինուս-լիմֆոցիաները։ Հայանաբերված են հեմոգլոբինի մակարդակի տատանման, էրիթրոցի<mark>տների և լեյկոցի</mark>աների քանակի և արյան ձևավոր էլեմենաների տոկոսային պարունակության բավական լայն սահմանները։

ЛИТЕРАТУРА

- 1. Гольдберг Е. Д. Справочник по гематологии, Томск, 1968.
- 2. Никитин В. Н. Гематологический атлас сельскохозяйственных и лабораторных животных. Сельхозгиз, 1956.
- 3. Фрейфельд Е. И. Гематология. Медгиз, 1947.
- 4 Schermer. Die Blutmorphologie der Laboratoriumstiere, Leipzig, 1958.

т. XXIII, № 2, 1970

КРАТКИЕ НАУЧНЫЕ СООБЩЕНИЯ

УЛК 581.47:593.933.7

Л. Г. МУРАДЯН

УТОЧНЕНИЕ ОБЪЕМОВ РОДОВ TANACETUM L. И XYLANTHEMUM TZVEL. НА ОСНОВАНИИ КАРПОЛОГО-АНАТОМИЧЕСКИХ ПРИЗНАКОВ

Вопрос систематики и филогенетических связей внутри семейства Asteraceae является предметом больших разногласий. Особо остро он стоит внутри подтрибы Chrysantheminae.

В литературе существуют различные взгляды и точки зрения на таксономию и объем этой группы сложноцветных.

За последнее время многими авторами различные виды в подтрибе рассматриваются в объеме самостоятельных родов, таких, как Leucanthemella Tzvel., Spathipappus Tzvel., Ugamia Pavl. и т. д. Однако следует заметить, что подобный пересмотр таксономии был сделан преимущественно на основании данных лишь внешней морфологии, а такой важный для систематики этого семейства признак, как анатомия оболочки плода и семени, остался в основном вне поля зрения исследователей. Известно, что анатомическое строение семянок разнообразно и в то же время константно в объеме различных таксономических групп в семействе Asteraceae, где не только роды, но и виды хорошо различаются по анатомии плода. Особо важным является также и то, что этот признак эволюционно необратим. Для решения таксономических вопросов внутри подтрибы было интересно привлечь новые данные, в частности карполого-анатомические.

Нами были исследованы семянки 55 видов, относящихся к 19 родам подтрибы Chrysantheminae.

В результате полученных данных мы пришли к выводу, что на основании строения оболочки плода можно провести некоторую ревизию в системе подтрибы.

Нами установлено, что виды родов Pyrethrum Zinn и Tanacetum L по анатомическому строению семянок чрезвычайно сходны.

У тех и других семянки ребристые, перикарпий многослойный, механические пучки состоят из большого количества элементов и расположены в ребрах. Весьма редко встречаются признаки вторичной специализации, а именно железистые волоски и эфиромасляные каналы. Совершенно отсутствуют ослизняющиеся клетки и гидроциты, а также про-

стые волоски. Общность карполого-анатомических признаков свидетельствует о том, что виды рода Pyrethrum надо рассматривать в объеме рода Tanacetum. Таким образом, наши данные совпадают с мнением Шульца [5], Брике [3], Сосновского, Тахтаджяна [2], Хейвуда [4] и др. о том, что разделение этих двух родов нецелесообразно, тем более, что они были выделены на основании лишь цвета венчика язычковых цветков, что для выделения рода является далеко недостаточным.

Вид Spathipappus griffithii (Clarke) Tzvel., выделенный Цвелевым в монотипный род Spathipappus, по анатомии семянки поразительно схож с представителями рода Tanacetum, особенно с типом рода T. vulgare L. Известно, что этот вид ранее включался в другие роды, а именно в Chrysanthemum L., Matricaria L. и, что особенно интересно, в род Pyrethrum. Мы считаем целесообразным вид Sp. griffithii рассматривать в объеме рода Tanacetum.

Вид Pyrethrum tianschanicum Krasch., относимый к роду Pyrethrum лишь на основании наличия голых семянок, отличается от всех представителей этого рода наличием в ребрах 1—3 ослизняющихся клеток. По анатомической структуре плода P. tianschanicum очень близок к типу рода Xylanthemum Tzvel,—Xylanthemum fischerae (Aitch. et Hemsl.) Tzvel. (присутствие характерно расположенных в ребрах ослизняющихся клеток, наличие полостей лизигенного происхождения в перикарпии и др.). Мы находим, что этот вид можно рассматривать в объеме рода Xylanthemum.

Ниже приводим список новых комбинаций.

- 1. Tanacetum griffithii (Clarke) Murad., comb. nov. basionimum Chrysanthemum griffithii Clarke, 1876, Ind.: 148 = Pyrethrum griffithii (Clarke) Buser; Spathipappus griffithii (Clarke) Tzvel.
- 2. Tanacetum grossheimii (Sosn.) Murad., comb. nov. basionimum. Pyrethrum grossheimii Sosn. 1928, Beih. Bot. Centralbl., 44, 2:243.
- 3. Tanacetum kubense (Grossh.) Murad., comb. nov., basionimum Pyrethrum kubense (Grossh.), 1933, Тр. Азерб. отд. Закавк. фил. АН СССР, сект. бот., 1:58.
- 4. Xylanthemum tianschanicum (Krasch.) Murad., comb. nov., basionimum Pyrethrum tianschanicum Krasch., 1933, Тр. БИН АН СССР, сер. 1, 1:176.

Институт геологических наук АН АрмССР

Поступило 20.XI 1969 г.

է Գ ՄՈՒԲԱԴՑԱՆ

TANACETUM L. 4 XYLANTHEMUM TZVEL. ՑԵՂԵՐԻ ԾԱՎԱԼՆԵՐԻ ՃՇԳՐՏՈՒՄԸ ԿԱՐՊՈԼՈԳՈ-ԱՆԱՏՈՄԻԱԿԱՆ ՀԱՏԿԱՆԻՇՆԵՐԻ ՀԻՄԱՆ ՎՐԱ

U. d h n h n i d

Աշխատությունը նվիրված է սերմիկների անատոմիական կառուցված քի հիման վրա Tanacetum L. և Xylanthemum Tzvel. ցեղերի ծավալների ճըշդրրամանը։ Ուսումնասիրության արդյունքները մեզ հանդեցրել՝ են այն եզրակացությանը, որ Tanacetum և Pyrethrum Zinn ցեղերը անհրաժեշտ է մտցնել Tanacetum ցեղի ծավալի մեջ։ Spathipappus griffithii (Clarke) Tzvel. տեսակը նույնպես հարկավոր է մտցնել Tanacetum ցեղի մեջ։ Pyrethrum tianschanicum Krasch. տեսակը պտղի անատոմիական կառուցվածքով տարբերվում է Pyrethrum ցեղի բոլոր տեսակներից և շատ մոտ է Xylanthemum ցեղին, որի ծավալի մեջ և անհրաժեշտ է տեղափոխել այդ տեսակը։

Վերջում արվում է նոր կոմբինացիաների ցուցակը։

ЛИТЕРАТУРА

- 1. Мурадян Л. Г. Биологический журнал Армении, т. ХХ, 10, 1967.
- 2. Тахтаджян А. Л., Федоров Ан. А. Флора Еревана, 1946 (на арм. языке).
- 3. Briquet J. In Burnat Flora des Alpes Maritimes, VI, 71 seq, Geoge Cie, Zyon 1916.
- 4. Heywood V. H. Anal. Inst. Bot. Cavanilles, 12 (2): 313-377, 1954a.
- 5. Schultz K. H. Bipontinus, Uber die Tanaceteen, 1844.

т. XXIII. № 2, 1970

КРАТКИЕ НАУЧНЫЕ СООБЩЕНИЯ

УДК 616--001.18

А. Л. АКОПОВА, Н. Н. ТЕР-МИНАСОВА, А. Л. ВАРТАНЯН

ДЕЙСТВИЕ РАЗЛИЧНЫХ КОНЦЕНТРАЦИЙ ГЛИЦЕРИНА И ГЛУБОКОГО ОХЛАЖДЕНИЯ НА ПРОДОЛЖИТЕЛЬНОСТЬ ЛАТЕНТНОЙ ЖИЗНИ ЛАБОРАТОРНЫХ ЖИВОТНЫХ

Эксперименты ставились на 72 беспородных белых крысах весом 100-200 г. Одной группе животных за 30 мин до начала охлаждения внутривенно вводили глицерин из расчета 1 мг на 100 г веса тела. Для этого под эфирным наркозом по внутренне-боковой поверхности шеи производился линейный разрез, тупым путем раздвигались мышцы и обнажалась внутренняя яремная вена, которая при помощи инструмента поднималась вверх, затем с двух сторон накладывались шелковые лигатуры и вводили раствор глицерина. Вторая группа животных получала глицерин внутрибрюшинно. После инъекции глицерина животных помещали в закрытый эксикатор объемом в 7000 см³, который находился в холодильном шкафу при температуре —20°С. Постепенное понижение температуры тела происходило в результате гипотермии, гипоксии и гиперкапнии. Спустя полтора часа после начала охлаждения ректальная. температура животного снижалась до 15°С. В дальнейшем в состоянии полной летаргии животных обкладывали кусками измельченного льда. За 1,5—2 часа температура тела крысы понижалась до 3°C. При указанной температуре у животных полностью отсутствовали дыхание и сокращения сердца. В таком состоянии крысы находились 30-60 мин. Послечего начиналось отогревание и оживление их. Для этого их опускали в подогретую до 40°C воду и одновременно проводили искусственное дыхание, массаж области сердца, вдувание воздуха в носовые отверстия, сжимание грудной клетки. Эти манипуляции производились в течение двух часов, т. е. до тех пор, пока ректальная температура не поднималась до 10°C. Когда же температура тела достигала 15°C, язык, губы. кожа на лапках из синюшного приобретали розовый цвет. Дальнейшее отогревание животных, продолжавшееся 1,5—2 часа, осуществлялось в термостате, где температура тела постепенно повышалась до 37°C.

Из 10 охлажденных крыс контрольной группы (без глицерина) дотемпературы 3° С удалось сохранить двух животных, остальные 8 погибли при ректальной температуре 12° С.

Для определения оптимальной концентрации глицерина нами испробованы 20-30-40 и $50\,\%$ растворы. В начальных опытах до охлаж-

дения животным вводили 20% глицерин, но когда температура тела снижалась до 12°С, из 10 крыс этой группы погибло 4 животных, остальные шесть выдержали охлаждение до температуры 5 и 3°С. Однако их не удалось оживить: крысы были окоченевшими, с твердыми мышцами и примерзшими ко льду телами. Затем был испробован 30% раствор глицерина. Из 32 животных этой группы удалось оживить 21 крысу. При инъекции же животным 40 или 50% раствора глицерина (15 опытов) большинство животных погибло через 15—60 мин от клинических и тетанических судорог.

Из полученных данных можно полагать, что 30% раствор глицерина является наиболее оптимальной концентрацией при охлаждении целого организма. Не исключено, что глицерин при низких температурах не только предохраняет живые ткани от повреждения, но и имеет определенное влияние на организм при длительном его охлаждении. Очевидно, большая роль принадлежит глицерину и в процессе восстановления жизненных функций охлажденного организма.

Институт кардиологиии и сердечной хирургии МЗ АрмССР

Поступило 16.Х 1969 г. €

Ա. Լ. ԱԿՈՊՈՎԱ, Ն. Ն. ՏԵՐ-ՄԻՆԱՍՈՎԱ, Հ. Լ. ՎԱՐԴԱՆՑԱՆ

ԳԼԻՑԵՐԻՆԻ ՏԱՐԲԵՐ ԽՏՈՒԹՅԱՆ ԼՈՒԾՈՒՅԹՆԵՐԻ ԵՎ ԽՈՐԸ ՍԱՌԵՑՄԱՆ ԱԶԴԵՑՈՒԹՅՈՒՆԸ ԼԱԲՈՐԱՏՈՐ ԿԵՆԴԱՆԻՆԵՐԻ ԼԱՏԵՆՏ ԿՅԱՆՔԻ ԵՐԿԱՐԱՑՄԱՆ ՎՐԱ

Ամփոփում

Փորձերը դրվել են 72 սպիտակ առնետների վրա։ Գլիցերինի լավադույն խտությունը դտնելու համար մեր կողմից փորձարկված են 20—30—40—50%-անոց լուծույթները։ Գլիցերինը ներարկվել է ներերակային և միջորովայ-նային։ Նախնական արդյունքները հիմք են տալիս ենթադրելու, որ գլիցերինի 30%-անոց լուծույթը լավագույնն է առնետների ողջ օրգանիզմի ընդհանուր սառեցման ժամանակ։ Հավանական է, որ կենդանիների վերակենդանացման դեպքում գլիցերինը ևս էական դեր է խաղում։

т. XXIII, № 2, 1970

КРАТКИЕ НАУЧНЫЕ СООБЩЕНИЯ

УДК 616.937

В. И. ХАЧОЯН

РАЗВИТИЕ КРЫСИНОЙ ТРИПАНОСОМЫ (TRIPANOSOMA LEWISI) ПРИ НИЗКИХ ТЕМПЕРАТУРАХ

Имеется ряд работ, доказывающих возможность длительного существования свободно живущих простейших при низких температурах [1, 2, 6]. В наших исследованиях была показана возможность существования кровяной Т. lewisi при +5°С в течение 8 дней [3]. Доказана также возможность длительного сохранения трипаносом при очень низких температурах [5].

Отсутствие в литературе данных относительно адаптации и размножения трипаносом теплокровных животных при низких температурах побудило нас к изучению этого вопроса.

Предварительные опыты выяснили возможность выживания культуральных форм Т. lewisi во время быстрого охлаждения и оттаивания среды. Паразиты легко переносили замерзание и переохлаждение до —5°С. Несомненно, цитофизиологический интерес вызывает следующий вопрос: является ли существование трипаносом при низких температурах простым выживанием или при этом осуществляются жизненные функции организма.

Работа велась на клоне Ереванского штамма Т. lewisi [4]. Клон длительное время культивировался в искусственных питательных средах (мясопептонный бульон или мясопептонный агар с 10% дефибри нированной кроличьей кровью). Культура пересевалась один раз в ме сяц. С целью сравнительной оценки она инкубировалась при 0°, 5° и 24°С Для длительного поддержания температуры 0° использовался холодильный шкаф, в котором была установлена температура 5°С. Культуры содержались в шкафу, в пробирках, обложенных льдом (в этих условиях таяние льда происходит очень медленно и в течение всего времени опыта температура близка к 0°С [6].

Ежедневная проверка культур показала, что трипаносомы в этих условиях не только выживают, но и размножаются.

Как известно, оптимальной температурой для культур гемофлагеллат является $+24^{\circ}$ С. Однако опыты показали, что и при $+5^{\circ}$ С и при 0° через 5 дней среда в пробирках слегка мутнеет, а при микроскопировании капель из этих пробирок обнаруживаются ± 50 трипаносом в каж-

дом поле зрения микроскопа (окуляр 7 х, объектив 20 х). На поверхности кровяного агара также появляются мелкие матовые колонии, диаметр которых доходит до 1 мм. Трипаносомы, культивированные при низких температурах, очень подвижные и несколько крупные, чем при росте в обычных условиях. Хорошо известно и многими авторами отмечен факт увеличения размеров свободно живущих простейших, культивированных при низких температурах. Биометрическое изучение трипаносом также показало, что величина последних тоже зависит от температуры, причем изменение размеров происходит в основном за счет ширины клетки, тогда как длина их почти не изменяется.

Таблица

Зависимость длины и ширины тела от температуры культивирования

Температура	Длина тела, р		Шири	Число	
	средняя	крайних форм	средняя	крайних форм	измерений
0°	6,8±0,35	5,28-9,9	2,8 <u>+</u> 0,44	1,98-5,28	100
$+$ 5 $^{\circ}$	$6,7\pm0,37$	5,28-7,26	1,9 <u>+</u> 0,25	1,32-3,3	100
$+24^{\circ}$	6,8 <u>+</u> 0,35	5,28-7,26	$1,9\pm0,13$	1,32-2,64	100

Как видно из таблицы, культивирование при 0° не только увеличивает размеры трипаносом, но и расширяет границы размеров крайних форм. Наряду с мелкими, появляются более крупные особи, иногда в два раза больше средних, тогда как культуры, выращенные в обычных условиях, мономорфные.

Опыты показали, что культура Т. lewisi не только выживает при температуре, близкой 0°, но и осуществляет нормальные функции организма--обмен веществ, движение и размножение, хотя и в более замедленном темпе.

Институт экспериментальной биологии АН АрмССР

Поступило 31.VII 1969 г.

Վ. Ի. ԽԱԶՈՅԱՆ

ԱՌՆԵՏԻ ՏՐԻՊԱՆՈՍՈՄԱՅԻ (TRYPANOSOMA LEWISI) ԶԱՐԳԱՅՈՒՄԸ՝ ՑԱԾՐ ՋԵՐՄԱՍՏԻՃԱՆՆԵՐՈՒՄ

Ամփոփում

Աղատ ապրող նախակենդանիների ջերմային ադապտացիայի հարցը բավարար չափով լուսաբանված է գրականության մեջ։ Ուսումնասիրված է նաև։ տաջարյուն կենդանիների տրիպանոսոմաների հարատևումը շատ ցածր ջերմաստիձանի պայմաններում։ Սակայն պարղված չէ վերջիններիս բազմացման և հարմարեցման հնարավորությունը ցածր ջերմաստիձանի պայմաններում։ Հոդվածում փորձառական ճանապարհով ապացուցվում է, որ առնետների արյունից անջատված տրիպանոսոման համարվում է ցածր ջերմաստիճանների և ջերմուժյան 0°C-ում կենսագործվում է օրգանիզմի հիմնական ֆունկցիաները։ Նկատվել է նաև, որ ցածր ջերմաստիճանի պայմաններում աճաժ տրիպանոսոմաների ծավալն զգալիորեն մեծ է սովորականից և լայն են նրանց ծայրային ձևերի սաժմանները։

ЛИТЕРАТУРА

- 1. Лозина Лозинский Л. К. Журн. общ. биол. 9, 441-453, 1948.
- 2. Суханова К. М. Температурная адаптация у простейших, Л., 1968.
- 3. Хачоян В. И. Биологический журнал АН АрмССР, ХХІ, 4, 100-102, 1968.
- 4. Хачоян В. И. Матер. I научн. конф. института экспериментальн. биологии АН АрмССР, 31—32, 1967.
- -5. Lapierre J., Tran Vinh H. Canpt. rend. soc. Biol. 162, 3, 622-625, 1968.
- 6. Poljansky G. I. and Posnanskaja T. M. Acta Protozool. 2, 27, 271-278, 1964.

т. XXIII. № 2, 1970

РЕФЕРАТ

УДК 577.3

Ю. М. ШТУККЕНБЕРГ, С. Т. МАТЕВОСЯН

ИЗОТОПНЫЙ АНАЛИЗ КИСЛОРОДА В БИОСУБСТРАТАХ (в жидкой фазе и в сухом остатке)

Определение отношения изотопов кислорода в органах и тканях животного организма подразделяется на три основных этапа: извлечение воды из органов и тканей; выделение кислорода из сухого остатка биосубстратов и воды в удобном для изотопного анализа виде; изотопный анализ полученного соединения.

Для масс-спектрометрических измерений кислород исследуемого вещества обычно переводится в CO_2 . Для этой цели мы впервые применяли метод прямого определения кислорода в органических соединениях по Коршун и Бондаревской, несколько видоизменив его. По этому методу исследуемое вещество подвергается пиролитическому разложению в атмосфере чистого и сухого азота, в кварцевой пробирке. Газообразные продукты пиролиза (CO, CO_2 , H_2O) проходят над контактным слоем никелированной сажи и полностью восстанавливаются в моноокись углерода. Последняя окисляется окисью меди до двуокиси углерода.

Полученный CO_2 мы замораживали жидким азотом в V-образной трубке и анализировали на масс-спектрометре без предварительной обработки и очистки.

Распространенный способ изотопного анализа кислорода воды основан на изотопном обмене кислорода исследуемой воды с кислородом CO_2 . Для этого необходимо 0,5-1 мл воды. Такое количество воды трудно собирать в биологических опытах.

Для изотопного анализа воды CO_2 из воды получили на той же установке, что и из сухого остатка. При этом достаточно незначительное количество воды (меньше 0,01 мл). Предварительная очистка ее не нужна. Маленькая капля воды (меньше 0,01 мл) помещается в кварцевую пробирку и очень слабо нагревается (30—35°). Вода испаряется, током азота переносится дальше, проходит над контактным слоем сажи и т. д.

Серия опытов показала, что можно производить разложение воды свежих тканей без предварительного извлечения воды из них. Для этого маленький кусок свежей ткани или маленькая капля крови помещается в кварцевую пробирку и нагревается до 40—45°. При такой температуре вода из свежей ткани испаряется и (как при анализе воды), прохобиологический журнал Армении, XXIII, № 2 ~7

дя над сажей, разлагается. Для полного анализа одной пробы требуется один час. После разложения воды остаток ткани и крови, высушенный до постоянного веса, можно разлагать для анализа сухого остатка.

Такой метод упрощает и ускоряет проведение изотопного анализа воды, дает возможность следить за динамикой обмена кислорода в крови в хронических опытах. Иллюстраций 1. Библиографий 12.

Институт биофизики МЗ СССР, г. Москва

Поступило 15.111 1968 г.

Полный текст статьи депонирован в ВИНИТИ...

т. XXIII, № 2, 1970

РЕФЕРАТ

УДК 581.13-

и. г. матинян

О СКОРОСТИ ВЫДЕЛЕНИЯ И СУХОМ ВЕЩЕСТВЕ ПАСОКИ. В ЗАВИСИМОСТИ ОТ ВРЕМЕНИ СБОРА И ФАЗ РАЗВИТИЯ РАСТЕНИЙ

С целью определения функциональной активности корней нами исследовались изменения в скорости выделения пасоки, содержании и выносе сухих веществ ею в зависимости от времени сбора в ходе онтогенеза.

Опыты проводились на территории Ереванского ботанического сада при влажности 65% от полной влагоемкости почвы. Объекты—кукуруза сорта Картули круги, подсолнечник Гигант 549 и тыква Мозолеевская. Сбор пасоки производили в фазы вегетативного роста, бутонизации (у кукурузы—выбрасывание метелки), цветения (у кукурузы—цветение метелки), семяобразования и пожелтения листьев. Количественный учет выделения пасоки продолжали на протяжении 72 часов после удаления надземной части.

Полученные данные свидетельствуют о существенном снижении скорости выделения пасоки на вторые и третьи сутки. Например, на третьи: сутки она уменьшалась у кукурузы в 7-9 раз (в зависимости от фазы), причем в фазу пожелтения листьев у них вовсе прекратилась подача пасоки; у тыквы это понижение еще более значительно-до 12-20 раз. В онтогенезе декапитированные растения максимальное количество пасоки выделили в период цветения. В это время отдельные экземпляры тыквы дали до 1 л сока плача (в первые сутки). Содержание сухого вещества также претерпевало изменения. У всех исследованных растений: наибольшая величина его обнаружена во время цветения, наименьшая при пожелтении листьев. Имеется определенная закономерность в постепенном возрастании сухого веса пасоки на вторые и третьи сутки, сопровождающаяся, однако, резким снижением скорости плача. Максимальный сухой вес пасоки во время цветения обусловлен интенсивным поступлением различных веществ в развивающиеся репродуктивные органы.

Вынос, определяемый сопоставлением количества выделенной пасоки и содержания в ней сухих веществ, достигает наибольшей величины в фазу цветения, превышая подачу во время вегетативного роста в

2—8 раз (в зависимости от вида растения). Вынос сухих веществ во все фазы развития с удлинением времени сбора понижается, несмотря на увеличение сухого веса, вследствие уменьшения количества выделившей пасоки на вторые и третьи сутки после срезки стебля.

Наибольшие скорость выделения пасоки и содержание в ней сухих веществ обнаружены, таким образом, в фазу цветения, что соответствует усилению поглотительной и метаболической активности корней в этот период. Таблиц 1. Иллюстраций 2. Библиографий 7.

Институт ботаники АН АрмССР.

Поступило 15.VIII 1969 г.

Полный текст статьи депонирован в ВИНИТИ.

T. XXIII, № 2, 1970

РЕФЕРАТ

УДК 547.991.

- Л. В. РЕВАЗОВА

СЕСКВИТЕРПЕНОВЫЕ ЛАКТОНЫ В СЛОЖНОЦВЕТНЫХ ФЛОРЫ АРМЕНИИ

Произведена предварительная оценка сложноцветных флоры Армении на содержание сесквитерпеновых лактонов, соединений весьма разнообразных по структуре и обладающих фармакологическими свойствами широкого спектра действия: аналгетическим, противоастматическим, противовоспалительным, антигельминтным, сердечным, стимулирующим рост клеток, противоопухолевым. Интересным представляется также использование наличия сесквитерпеновых лактонов для классификации сложноцветных, так как по некоторым литературным данным они являются таксономическим признаком данного семейства. Для этого было бы полезно знать число исследованных видов, и притом также и тех, которые не содержат лактонов.

Структура первых представителей этого класса соединений выяснена сравнительно недавно (1949—53 гг.), несмотря на то, что горечи (а сесквитерпеновые лактоны почти исключительно представляют собой горечи) были известны давно, а некоторые из них были в более или менее чистом виде выделены более 100 лет назад. Связь между горьким вкусом некоторых лактонов и их структурой до настоящего дня не выяснена. По-видимому, лактоны, особенно в мало окисленном состоянии, обладают только острым жгучим вкусом, тогда как характерные горькие вещества являются высоко окисленными лактонами — кольцо с кетогидроксильными и особенно эфирными группами.

Материалом для изучения послужили 50 представителей семейства сложноцветных, собранные в различных районах Армении в фазе цветения, в конце июля—начале августа. Исследовалось все растение. Выделение сесквитерпеновых лактонов проводилось по методу, предложенному К. С. Рыбалко. Заключение о их наличии давалось на основании данных инфракрасных спектров, которые снимали в области 1700—1800 см⁻¹, на спектрофотометре UR-10. Снимались спектры как «смолок», так и осадков, выпавших при растирании «смолок» с эфиром. Расхождение в результатах было отмечено только у Helichrysum агтепішта и Helichrysum undulatum (в осадках отсутствовали полосы поглощения.

соответствующие лактонному кольцу). Это дает основание предполагать, что лактоны, содержащиеся в этих видах, растворимы в эфире.

Из 50 исследованных видов полосы поглощения, характерные для сесквитерпеновых лактонов, обнаружены у 22, т. е. у 40%.

В видах, собранных в различных экологических районах, качественного различия (по содержанию сесквитерпеновых лактонов) не обнаружено.

Видами, перспективными для выделения и изучения лактонов, на наш взгляд являются: Centaurea squarrosa, Doronicum oblongifolium, Helichrysum armenium, Pyrethrum balsamita, Tripleurospermum disciformae, Xeranthemum squarrosum, Таблиц 1. Библиографий 11.

Институт ботаники АН АрмССР

Поступило 6.Х 1969 г.

Полный текст статьи депонирован в ВИНИТИ

τ. XXIII. № 2, 1970

PEOEPAT

УЛК 577.391:633.11

С А АТИВАЗЯН

СОВМЕСТНОЕ ВЛИЯНИЕ СТРЕПТОМИЦИНА И РАДИАЦИИ НА КОЛИЧЕСТВЕННОЕ СОДЕРЖАНИЕ ХЛОРОФИЛЛА В ПРОРОСТКАХ ПШЕНИЦЫ

Применение ионизирующих излучений в различных областях биологических исследований положило начало изучению механизма действия радиации на живые организмы, в том числе растения, и изысканию средств защиты от повреждающего действия облучения.

Одним из важнейших процессов в жизнедеятельности растительнопо организма является биосинтез хлорофилла, и поэтому большой интерес представляет изучение влияния ионизирующих излучений на ход хлорофиллообразования.

В литературе имеется ряд указаний на количественные изменения хлорофилла, выражающиеся как в возникновении альбинизма и пестролистности, т. е. недостаточности хлорофилла, так и накоплении его в облученном растении. Последнее обстоятельство рассматривается О. В. Богдашевской и Ю. Н. Руновой как стимулирующий эффект радиации, а И. М. Васильевым как патологическое накопление пластических веществ, не использованных на рост.

Характерным действием стрептомицина является ингибирование им хлорофиллобразовательного процесса, в результате чего возникает альбинизм. Подобный эффект одними авторами объясняется как следствие осаждения стрептомицином ДНК и РНК, другими—блокированием синтеза протохлорофилла.

При структурных поражениях радиацией клеточного ядра стрептомиции в определенных случаях является защитным веществом. Представляло интерес изучение совместного влияния антибиотика и радиации на зеленение растений.

Целью исследований было определение количественного содержания хлорофилла в облученных и обработанных стрептомицином проростках пшеницы сорта Арташати 42 (turcicum).

Опыт проводился в двух сериях: в первой—зерна обрабатывались стрептомицином в концентрациях 30 и 100 ед/мл в течение 6 и 24 час, затем облучались дозами 600 и 2000 р. Во второй серии обработка стрептомицином в тех же концентрациях и экспозициях следовала за облуче-

нием семян в дозах 5000 и 20 000 р. Посев производился в чашках Петри. Количество хлорофилла определялось в десятидневных растениях.

Данные опыта показали, что стрептомицин в большей мере, а радиация—в меньшей снижали количество хлорофилла в листьях. Так, в первой серии опытов под действием 100 ед/мл антибиотика количество хлорофилла уменьшалось на 71,2% при 6-часовой обработке и на 77,2%—при 24-часовой обработке, в то время как при облучении этог показатель составлял соответственно 2,8 и 16,7%. Совместное действие облучения и низкой концентрации стрептомицина при малой экспозиции последнего усугубляет угнетение. Облучение же в сочетании с высокой концентрацией антибиотика в обеих экспозициях несколько повышает рассматриваемый показатель по сравнению с необлученным вариантом.

Наблюдающаяся тенденция радиации к защите от угнетающего действия стрептоцимина наиболее сильно проявляется при 24-часовой обработке 100 ед/мл антибиотика. Содержание хлорофилла в необлученном варианте составляет 22,8%, а в облученном достигает 74,6%.

При обработке зерен стрептомицином после облучения в обеих экс позициях наблюдается закономерное снижение количества хлорофилла как в случае раздельного действия антибиотика и радиации, так и при их сочетании.

Можно предположить, что описанный эффект радиации связан с частичной нейтрализацией стрептомицина как антиокислителя продуктами радиолиза. Таблиц 2. Библиографий 25.

Лаборатория радиационной генетики АН АрмССР

Поступило 20.V 1967 г.

Полный текст статьи депонирован в ВИНИТИ.

T. XXIII, № 2, 1970

РЕФЕРАТ

УДК 543.42

С. М. КАШУН

К ВОПРОСУ СПЕКТРАЛЬНОГО ОПРЕДЕЛЕНИЯ МИКРОЭЛЕМЕНТОВ В РАСТЕНИЯХ

По величине содержания микроэлементов в растениях судят об их обеспеченности. Поэтому вопрос определения микроэлементов в растениях имеет актуальное значение.

Спектральный анализ растительного материала весьма специфичен вследствие того, что химический состав золы растений отличается большой вариабельностью в содержании щелочных и щелочноземельных элементов. Изменение валового химического состава золы растений сильно влияет на интенсивность спектральных линий. Поэтому подобрать один состав основы эталона, близкий к химическому составу золы растений (или даже их узкой группы), не представляется возможным. Нами разработана методика спектрального определения меди, марганца, бора и молибдена в золе пшеницы, картофеля, кукурузы и эспарцета. Работа проводилась на аппарате ИСП-28 в дуге переменного тока. Эталонами служили образцы указанных культур, тщательно проанализированных на содержание микроэлементов химическими методами.

В работе выявилось влияние макросостава указанных культур на интенсивность линий меди, марганца, молибдена и бора. Выведены поправочные коэффициенты, которые необходимо вводить при расчете микроэлементов в одной из этих культур по эталонам других культур. Эти коэффициенты справедливы только в пределах определенных условий методики. Таблиц 4. Библиографий 2.

Институт почвоведения и агрохимии МСХ АрмССР

Поступило 20.VIII 1969 г.-

Полный текст статьи депонирован в ВИНИТИ.

т. XXIII, № 2, 1970

РЕФЕРАТ

УДК 612.827.+612.822.3

В. А. МАРТИРОСЯН

ВЛИЯНИЕ УДАЛЕНИЯ МОЗЖЕЧКА НА НЕКОТОРЫЕ СТОРОНЫ УГЛЕВОДНОГО ОБМЕНА МОЗГА

Углеводный обмен в периферической крови при удалении мозжечка изучен многочисленными исследователями. Но углеводный обмен в мозгу при удалении мозжечка почти не изучен.

Известно, что различные функциональные состояния центральной нервной системы сопровождаются определенными сдвигами углеводного обмена мозга. В частности, при торможении в мозговой ткани увеличивается количество общего гликогена и АТФ, а активность фосфорилазы и АТФ-азы понижается. Так как при удалении мозжечка в коре головного мозга превалируют процессы торможения, то было бы интересно выяснить, как при этом изменяется количество общего гликогена, АТФ и активность фосфорилазы и АТФ-азы в мозговой ткани. Опыты ставились на белых крысах. Для изучения динамики углеводного обмена мозга определялось количество указанных веществ через 2 и 10 дней после удаления мозжечка.

Полученные данные показывают, что количество общего гликогена в мозговой ткани у интактных крыс составляет 85,2 мг%, которое совпадает с литературными данными. Через 2 дня после удаления мозжечка количество общего гликогена снижается до 61,1 мг%, а через 10 дней обнаруживается увеличение гликогена в мозговой ткани до 105 мг%. Эти изменения статистически достоверны (P<0,01).

Если у интактных крыс активность фосфорилазы мозговой ткани составляет 95,8 µ г/час, то через 2 дня после удаления мозжечка активность ее повышается до 134 µ г/час. На 10 день она снижается до 71,5 µ г/час. Таким образом, в первые дни после удаления мозжечка, когда имеют место послеоперационные клинические явления, в мозговой ткани преобладают процессы распада гликогена. А активность фосфорилазы повышена.

Из литературных данных известно, что в первые дни после удаления мозжечка в коре больших полушарий головного мозга превалируют процессы возбуждения, в результате чего, по-видимому, происходит повышенный распад гликогена. А через 10 дней после операции, когда в коре больших полушарий развивается устойчивый тормозной процесс,

в мозговой ткани происходит накопление гликогена. Наши данные подтверждают тот факт, что гликоген используется мозговой тканью в качестве энергетического ресурса. В наших опытах количество АТФ в мозговой ткани у интактных крыс составляет 17,1 мг%. Через 2 дня после удаления мозжечка количество АТФ уменьшается до 11,6 мг%, а через 10 дней обнаруживается тенденция к увеличению. Активность АТФ-азы у интактных крыс составляет 8 γ /P. Через 2 дня после удаления мозжечка активность АТФ-азы повышается до 15,8 γ /P, а через 10 дней обнаруживается резкое снижение активности фермента. Эти явления статистически достоверны (P<0,01).

В первые дни после операции, когда в коре больших полушарий головного мозга преобладают процессы возбуждения, в мозговой ткани происходит распад АТФ, а на 10-ый день происходят противоположные сдвиги. Следовательно, удаление мозжечка непосредственно влияет на трофику головного мозга. Таблиц 2. Библиографий 6.

Ереванский государственный медицинский институт

Поступило 19.XI 1969 г.

Полный текст статьи депонирован в ВИНИТИ.

ДИЗЧИЧИЬ UUZ ԳԻՏՈՒԹՅՈՒՆՆԵՐԻ ԱԿԱԴԵՄԻԱ: ՀԱՅԱՍՏԱՆԻ ԿԵՆՍԱԲԱՆԱԿԱՆ ՀԱՆԴԵՍ АКАДЕМИЯ НАУК АРМЯНСКОЙ ССР. БИОЛОГИЧЕСКИЙ ЖУРНАЛ АРМЕНИИ

т. XXIII, № 2, 1970

РЕФЕРАТ

УДК 616.1

м. Р. АРУТЮНЯН

МОРФО-ГИСТОХИМИЧЕСКИЕ ИЗМЕНЕНИЯ СЕРДЦА ПОСЛЕ УДАЛЕНИЯ ПРАВОГО ИЛИ ЛЕВОГО ЛЕГКОГО

Вопрос о морфо-гистохимических изменениях сердца при резекциях различных объемов легочной ткани недостаточно освещен. С целью изучения его у 28 кроликов удаляли правое легкое, что составляло 61% общего веса дышащей поверхности, а у 23—левое легкое (39%). Контролем служили 5 кроликов. Подопытных животных забивали через 1, 2, 4, 15, 60 и 180 дней после операции.

Микроскопическое исследование показало, что после правосторонней пневмонэктомии, когда удаляется больше половины дышащей поверхности, в раннем послеоперационном периоде в миокарде правого желудочка и межжелудочковой перегородке появляются микронекротические очаги с перифокальной воспалительной реакцией, жировая дистрофия отдельных мышечных волокон или их групп, уменьшение количества гликогена и увеличение РНП.

В ядрах мышечных волокон увеличивается количество и объем ядрышек, которые содержат много РНП (резкая пиронинофилия).

После левосторонней пневмонэктомии в сердечной мышце микронекрозы не развиваются, и указанные изменения слабо выражены.

Через 15 дней после правосторонней пневмонэктомии на месте микронекрозов появляется рубцевая соединительная ткань, количество гликогена и РНП приближается к норме. Объем и количество ядрышек уменьшаются и последние содержат меньше РНП, чем в более ранние сроки. Через 30 и более дней как после правосторонней, так и левосторонней пневмонэктомии обнаруживается гипертрофия правого желудочка сердца.

Полученные нами сравнительно умеренные изменения миокарда сердца после левосторонней и значительные — после правосторонней пневмонэктомии объясняются степенью гипертензии малого круга кровообращения и гипоксемией развивающейся после резекции легочной ткани.

Увеличение объема ядрышек в раннем послеоперационном периоде, т. е. до наступления гипертрофии мышечных волокон правого сердца, свидетельствует об активизации синтеза РНП, при этом увеличение чис-

ла ядрышек объясняется увеличением центров, где происходит сборка рибосом, необходимых для быстрого синтеза белка.

Когда завершается гипертрофия мышечных волокон, вероятно. устраняется необходимость интенсивного синтеза белков, вследствие чего ядрышки уменьшаются в объеме и в числе, количество РНП в них приближается к норме. Иллюстраций 3. Библиографий 10.

Ереванский государственный медицинский институт

Поступило 18.VII 1968 г.

Полный текст статьи депонирован в ВИНИТИ.

т. XXIII, № 2, 1970

наши юбиляры

СИМОН АКОПОВИЧ МИРЗОЯН

Исполнилось 60 лет со дня рождения и 40 лет научно-педагогической и общественной деятельности заслуженного деятеля науки, членакорреспондента Академии наук Армянской ССР, профессора С. А. Мирзояна.

С. А. Мирзоян родился в 1910 г. в Тбилиси, в семье ремесленника. После завершения учебы в Ереванском медицинском институте в 1931 г. он был оставлен при кафедре фармакологии. В 1936 г. Симон Акопович



назначается заведующим этой кафедрой, которой бессменно руководит до настоящего времени. В 1937 г. он защитил кандидатскую диссертацию, 1942 г.— докторскую, а в 1943 г. был утвержден в звании профессора. Основные направления всей научной деятельности проф. С. А. Мирзояна могут быть разделены на этапы.

Первый этап — изучение значения интероцептивных импульсов на функциональное состояние различных органов и систем и их роль в изменении реакции организма на введение фармакологических агентов.

Второй — охватывает период Великой Отечественной войны и послевоенные годы, когда создалась настоятельная необходимость изыскания заменителей ряда дефицитных лекарственных средств из растительных ресурсов республики. Итогом многолетних исследований лекар-

ственной флоры Армении явился выпуск сборника работ проф. С. А. Мирзояна и его сотрудников «Лекарственные растения Армении и их лечебные препараты» — выявление свыше 65 алкалоидосодержащих растений, выделение нового алкалоида арагацина и внедрение в медицинскую практику ряда лечебных препаратов.

Третий этап исследований связан с созданием в республике научноисследовательских Институтов тонкой органической химии и биохимии: АН Армянской ССР и охватывает проблемы изыскания новых синтетических лекарственных средств и изучения механизмов их действия.

Значительное место занимают поиски новых противоязвенных препаратов среди гомологических рядов некоторых классов химических соединений, приведших не только к созданию активного противоязвенного соединения, но и к выявлению определенных путей для дальнейших поисков указанных препаратов.

Важным разделом научной деятельности являются исследования, посвященные изучению действия вазоактивных аминокислот, и в первую очередь гамма-аминомасляной кислоты (ГАМК) и структурно близких к ней соединений, на мозговое кровообращение. Было установлено, что ГАМК усиливает кровоснабжение мозга; при этом впервые удалось выявить наличие ГАМК в тканях сосудов мозга человека и животных, а также получить прямые доказательства возможности образования ГАМК в стенке мозговых сосудов. Эти исследования легли в основу развиваемого проф. С. А. Мирзояном представления о роли вазоактивных аминокислот в регуляции мозгового кровообращения. Обращает на себя внимание, что испытания ГАМК в условиях клиники при нарушениях мозгового кровообращения дали весьма обнадеживающие результаты.

С ранних шагов научной деятельности проф. С. А. Мирзояна привлекали и другие природные источники лечебных средств, в частности минеральные воды «Арзни», «Джермук», «Анкаван», изучению которых он посвятил немало сил и энергии. Исследования его получили всестороннее и глубокое освещение в многотомном руководстве по основам курортологии и в ряде монографий и учебников по физиологии и фармакологии.

Перу проф. С. А. Мирзояна принадлежит свыше 130 научных трудов, опубликованных в советских и зарубежных периодических изданиях. Он подготовил 5 докторов и 20 кандидатов наук.

Большие заслуги проф. С. А. Мирзоян имеет и в развитии и совершенствовании учебно-педагогического процесса. Им проводится также большая общественная работа. Он является членом Правления Всесоюзного фармакологического общества, проблемной комиссии АМН СССР, редакционного Совета журнала «Фармакология и токсикология», редколлегии Докладов АН АрмССР, зам. редактора журнала «Экспериментальная и клиническая медицина» АН АрмССР, председателем центральной методической комиссии Ереванского медицинского института и др. Проф. С. А. Мирзоян является основателем и бессменным руководителем Армянского фармакологического общества и прилагает все усилия для бурного развития фармакологической науки в нашей республике.

В 1960 г. Симон Акопович был избран членом-корреспондентом АН Армянской ССР. Он награжден орденом «Знак почета» и медалями Советского Союза. Учитывая заслуги проф. С. А. Мирзояна в развитии советской фармакологии, Ученый совет Института фармакологии АМН СССР в 1969 г. наградил его памятной медалью основоположника отечественной фармакологии Н. П. Кравкова.

В день юбилея поздравляем дорогого Симона Акоповича Мирзояна и желаем ему крепкого здоровья, долгих лет плодотворной работы и дальнейших творческих успехов.

8 11 4 4 5 7 4 4 1 1 1 1 6 3 1 7 5

Հավունջյան Ձ. Ս., Գալստյան Ա. Շ. Հոզի ֆերմենտային ակտիվության
մեխանիկական կազմի միջև եղած կապի մասին
Բարայան Գ. Բ. Լեռնային մարգագետիններում արմատների զանգվածի քանակա
կան որոշման հարցի շուրջը
Հովակի մյան Ս. Ս., Ղարագյոզյան Կ. Գ. Ֆիբրինոգենի ֆոսֆոլիպիդները
նրանց փոփոխությունները ֆիբրինագոյացման ընթացջում
Հարությունյան է. Ա., Հով-Հաննիսյան Ա, Ս. Ամիակի առաջացում
տարբեր տեսակի կննդանիների երիկամային հյուսվածջներում
Ս ի մ ո ն յ ա ն Ա. Ա. Շնչառության և օքսիդացիոն ֆոսֆորիլացման ինտենսիվություն
Հավի սաղմի ուղեղի միտո ջոնդրիանհրում լ նցիտինի ազդեցության տակ
Φան ոս լան Գ. Հ. Որո ₂ ներկերի Հետ հիստոնների ու նրանց ֆրակցիաների փոխազ
դեցության սպեկտրաֆոտոմետրիկ Տետազոտությունը
Մելիը-Խաչատրյան Ձ. Հ., Աբրահամյան Ձ. Հ., Գասպարյան Մ. ք
Գլխարկավոր սնկերի պտղամարմինների ջրային էքստրակտի ազդեցությունը վիրա
բուժական Հիվանդների վերջային միկրոֆլորայի վրա , , , ,
Թուլյան Ա. Կ., Դեմ ուրյան Գ. Ս. Ցանջի խտության և պարարտացման ազ
դեցուիյունը աշնանացան ցորենի բիմիական կազմի վրա
Ռի խ տ եր Վ. Ա. Տախինների (Diptera, Tachinidae) նոր տեսակ Կովկասում .
Տոն ականյան Հ. Հ. Ուլտրաձայնի ազդեցությունը ամսաբողկի բույսերի աձման վրա
Բոյաջյան Հ. Կ., Փոստոյան Մ. Ռ., Մանասերյան Ռ. Վ. Ornithodo rus lahorensis Neum. 1908 տղերի ղերը դարաղի վիրուսի պահպանման և Հիվան
կենդանիներից առողջներին փոխանցվան գործում
Բո խ յա ն Մ. Վ. Ակնարկ Սովետական Միությունում վարսակի և գարու սեպտորիոզ
ների Հարուցիչների
Արև չատ յան Հ. Ս. Լնդերի և լեզվի լորձաթաղանթի վիճակը <mark>կենդանիների մո</mark> ւ
փորձնական դիաբերի ժամանակ
ՀԱՄԱՌՈՏ ԳԻՏԱԿԱՆ ՀԱՂՈՐԴՈՒՄՆԵՐ
Դանիելովա Լ. Թ., Շաջարյան Է. Գ., Ստեփանյան Է. <mark>Ն. Կենդանիներ</mark>
օրգաններում և Հյուսվածքներում միցերինի կոնցենտրացիայի որո շման եղանակ
2៣.ពុទ្ធព្
Փաշինյան Է. Ռ Միանսարյան Ի. Տ. Ոչ ցեղային լաբոր ատոր մկների պե
րիֆերիկ արչան որոշ ցուցանիշներ
Մուրադյան վ. Գ. Tanacetum և Xylanthemum Tzvel. ցեղերի ծավալների ճշզբը
տումը կարպոլոգո-անատոմիական Հատկանիշների Հիման վրա
Ակոպովա Ա. Լ., Տևր-Մինասովա Ն. Ն., Վարդա նյան Հ. Լ. Գլից ե
րինի տարբեր խտության լուծույթների և խորը սառեց ման ազդեցությունը լաթոր ա
ասը կենմանիների լատենա կյանջի երկարացման վր ա
տալոյան Վ. Ի. Առնետի տրիպանոսոմայի (Trypanosoma lewisi) զարգացում
ցածը ջերմաստիճաններում
ՌԵՖԵՐԱՏՆԵՐ
Շտուկկենը եր գ Յու. Մ., Մա. թևոս լան Ս. Տ. Բիոսութսաթահտների՝ հեղու
n

մասին՝ կախված հավա <u>լ</u>	տա^յութի անջատման արագության և նրանում չոր նյութի ջման ժամանակից և բույսերի զարգացման փուլերից իտերպենային լակտոնները Հայաստանի ֆլորայի բարդա-
ծաղկավորների մոտ	
•	վառմիցինի և ռադիացիայի Համատեղ ազդեցությունը ջլորո֊
ֆիլի պարունակության Ա.ա. գ. ն. II - II - II արևարու	վրա ցորենի ծիլերում գրաֆիկ եղանակով բույսերի մեջ միկրոտարրերի որոշման
գալուս Ե. Ե. Ծարդարող Հարցի շուրջը	չ,
	Ուղեղիկի հեռացման ազդեցությունն ուղեղի ածխաջրատա-
յին փոխանակության ո	
կամ աջ Թոքը հեռացն	
	ՄԵՐ ՀՈԲԵԼՑԱՐՆԵՐԸ
ID. C. 11. 0 C. 5	
Միրզոյան Սիմոն Հակոբի	
	COHEDWALHE
	СОДЕРЖАНИЕ
5	тян А. Ш. О связи между активностью ферментов
и механическим соста	
Овакимян С. С., Кара	количественного учета массы корней на горных лугах агезян К.Г. Фосфолипиды фибриногена и их изме-
	бринообразования
Арутюнян Л. А., Огаг различных видов жив	несян А. С. Образование аммиака в почечной ткани зотных
•	вность дыхания и окислительного фосфорилирования
	а куриного эмбриона под действием лецитина
· ·	ротометрическое исследование взаимодействия гисто-
	некоторыми красителями
=	. Г., Абрамян Дж. Г., Гаспарян М. Л. Влията плодовых тел шляпочных грибов на микрофлору
	та плодовых тел шляпочных триоов на микрофлору хирургических больных
	я н Г. С. Влияние нормы высева и удобрений на хи-
мический состав зерн	
Рихтер В. А. Новый для	фауны Қавказа вид мух-тахин (Diptera, Tachinidae) —
паразит мальвовой м	
	ие ультразвука на рост растений редиски
	оян С. Р., Манасерян Р. В. К вопросу о роли Lahorensis Neum. 1908 в сохранении и передаче виру-
	х животных здоровым
	дителей септориозов овса и ячменя в Советском Союзе
Аревшатян Г. С. Состо	яние слизистой десен и языка у животных при экспе-
риментальном диабет	re,
	Краткие научные сообщения
Паннолова и т п	
	карян Э. Г., Степанян Э. Н. К методике опре- органах и тканях животных
Пашинян Э. Р., Миа	нсарян И. Т. Некоторые показатели перифериче-
ской крови беспородн	ных лабораторных мышей
	ие объемов родов Tanacetum L. и Xylanthemum Tzvel.
	юго-ан а томических признаков Iинасова Н. Н., Вартанян А. Л. Действие раз-
	тинасова п. п., вартанян А. Л. деиствие раз- глицерина и глубокого охлаждения на продолжитель-
	ни лабораторных животных в с с с с

Хачоян В. И. Развитие крысиной трипаносомы (Tripanosoma lewisi) при низ- ких температурах	94
Рефераты	
Штуккенберг Ю. М., Матевосян С. Т. Изотопный анализ кислорода в биосубстратах Матинян И. Г. О скорости выделения и сухом веществе пасоки в зависимости от времени сбора и фаз развития растений Ревазова Л. В. Сесквитерпеновые лактоны в сложноцветных флоры Армении Айвазян С. А. Совместное влияние стрептомицина и радиации на количественное содержание хлорофилла в проростках пшеницы Кашун С. М. К вопросу спектрального определения микроэлементов в растениях Мартиросян В. А. Влияние удаления мозжечка на некоторые стороны углеводного обмена мозга Арутюнян М. Р. Морфо-гистохимические изменения сердца после удаления правого или левого легкого	97 99 101 103 105 106
Наши юбиляры	100
Мирзоян Симон Акопович	110
CONTENTS	
A vundjian E. S., Galstian A. Sh. Relationships between enzyme activity and textural soil fractions	3
Babayan G. B. A method for the quantitative determination of the root-mass in Alpine meadows	10
Ovakimian C. S., Karagozian K. G. The phospholipids of fibrinogen and their changes during fibrin formation	17
Harutyounian L. A., Hovhanessian A. S. Ammonia formation in the kidney tissue of various animals	22
Simonian A. A. The intensity of respiration and [oxydative phosphorylation of the chick-embryo in brain mitochondria under the influence of lecithin	30
Panosian G. A. Spectrophotometric investigation of the interaction of histones and their fractions with some dyes Melik-Kachatrian G. H., Abramian G. H., Gasparian M. L. The influence of aqueous extracts of the mushroom on the microflora from	3 6
surgical wounds	45
rasite of mallow moth	57 6 0
Boyajian G. K., Postoyan S. R., Manaserian R. V. The role of ticks ornithodorus lahorcusis Newn 1908 in the preservation and transmission of toot- and-mouth disease virus from the contamined to healthy animals	63
Arevshadian H. S. The state of the gingival and tongue mucous; membranes in animals during experimental diabetes	77
Short scientific reports	
Daniello va L. G., Shakarian E. G., Stepanian E. N. A method for the determination of mycerin in animal organs and tissues	82
Pashinian E. R., Miansarian I. T. Some indices of the peripheral blood of non-breeded laboratory mice	86
Muradian L. G. Determination of the extent of the genera Tanacetum and Xylanthemum on the basis of anatomical characteristics	89

Akopova A. L., Ter-Minasova H. H., Vartanian A. L. The influence of different concentrations of glycerol and deep freezing on the durability of latent life of laboratory animals	92
low temperature conditions	94
References	
Shtuckenberg I. M., Matevosian S. T. Isotopic analysis of oxygen in biological substrates	9 7
Matinian I. G. On the rate of exudation and exudate dry substance in relation to harvest period and plant development phases	99
Revazova L. V. Sesquiterpene lactones in the Compositaceae of Armenian flora	101
A y v a z i a n S. A. Joint action of streptomycin and irradiation on the chlorophyl level of wheat germinates	103
Kashun S. M. The spectral determination of microelements in plants	105 106
Harutyounian M. P. The morpho-histochemical changes of the heart after right or left pneumectomy	108
j u b i l e e	
Mirzoyan Symon Hakobi	109



Технический редактор Л. А. АЗИЗБЕКЯН

Адрес редакции: Ереван-19, ул. Барекамутян, 24, АН АрмССР. "Биологический журнал Арменин"

ВФ 03342. Изд. 3299. Заказ 66. Тираж 950. Подписано к печати 12/111 1970 г. Печ. л. 7,25. Бум. л. 3,63. Усл. печ. л. 9,93. Уч. изд. лист. 7,5. Формат бумаги 70× 1081/18.